



OFICINA ESPAÑOLA DE PATENTES Y MARCAS

ESPAÑA



11) Número de publicación: 2 610 146

51 Int. Cl.:

A61K 35/74 (2015.01) C12N 1/00 (2006.01) C12Q 1/02 (2006.01) G01N 33/50 (2006.01)

(12)

## TRADUCCIÓN DE PATENTE EUROPEA

T3

86 Fecha de presentación y número de la solicitud internacional: 03.06.2011 PCT/JP2011/063302

(87) Fecha y número de publicación internacional: 08.12.2011 WO11152566

Fecha de presentación y número de la solicitud europea: 03.06.2011 E 11728077 (6)
 Fecha y número de publicación de la concesión europea: 19.10.2016 EP 2575835

(54) Título: Composición para inducir la proliferación o acumulación de células T reguladoras

(30) Prioridad:

03.12.2010 WO PCT/JP2010/071746 04.06.2010 JP 2010129134

(45) Fecha de publicación y mención en BOPI de la traducción de la patente: 26.04.2017 (73) Titular/es:

THE UNIVERSITY OF TOKYO (100.0%) 3-1, Hongo 7-chome Bunkyo-Ku, Tokyo 113-8654, JP

(72) Inventor/es:

HONDA, KENYA; ATARASHI, KOJI; ITOH, KIKUJI y TANOUE, TAKESHI

(74) Agente/Representante:

LEHMANN NOVO, María Isabel

#### **DESCRIPCIÓN**

Composición para inducir la proliferación o acumulación de células T reguladoras

#### 5 Campo técnico

10

15

20

25

30

35

40

45

50

55

En este documento se describe una composición que tiene un efecto de inducir proliferación o acumulación T reguladoras, y que comprende, como ingrediente activo, bacterias que pertenecen al género *Clostridium*, una sustancia fisiológicamente activa derivada de la bacteria, esporas bacterianas o similares. La presente invención se refiere a composiciones para su uso en un método de tratamiento o prevención de una enfermedad seleccionada de enfermedad infecciosa, enfermedad autoinmunitaria o enfermedad alérgica en un individuo, comprendiendo la composición, como ingrediente activo, bacterias que comprenden bacterias que forman esporas que pertenecen a los grupos IV y XIVa de *Clostridium* en combinación, induciendo dicha combinación la proliferación o acumulación de células T reguladoras factor de transcripción Foxp3-positivas en dicho individuo.

#### Técnica anterior

Cientos de especies de microorganismos comensales están albergados en los tractos gastrointestinales de mamíferos, e interaccionan de forma íntima con los sistemas inmunitarios del hospedador. Los resultados de los investigadores usando animales libres de gérmenes (GF) han demostrado que los microorganismos comensales ejercen grandes influencias sobre el desarrollo de los sistemas inmunitarios de la mucosa tales como histogénesis de placas de Peyer (PP) y folículos linfoides aislados (ILF), secreción de péptidos antimicrobianos desde el epitelio, y acumulación de linfocitos únicos en tejidos de la mucosa, incluyendo los linfocitos únicos células plasmáticas productoras de inmunoglobulina A, linfocitos intraepiteliales, células T CD4-positivas productoras de IL-17 (Th 17) y células tipo NK productoras de IL-22 (documentos no de patente 1 a 7). Por consiguiente, la presencia de bacterias intestinales potencia las funciones protectoras de las membranas mucosas, proporcionando a los hospedadores respuestas inmunitarias robustas contra microbios patogénicos que invaden los organismos. Por otro lado, los sistemas inmunitarios de la mucosa mantienen la insensibilidad a los antígenos de la dieta y a los microbios inocuos (documento no de patente 3). Por esta razón, una anormalidad en la regulación de la intercomunicación entre las bacterias comensales y un sistema inmunitario (disbiosis intestinal) puede conducir a una respuesta inmunitaria demasiado robusta a antígenos ambientales, de modo que se cause enfermedad inflamatoria del intestino (IBD) (documentos no de patente 8 a 10).

Los resultados de los estudios recientes han demostrado que las bacterias comensales individuales controlan la diferenciación de sus células inmunitarias específicas en el sistema inmunitario de la mucosa. Por ejemplo, *Bacteroides fragilis*, que es una bacteria comensal en seres humanos, induce específicamente una respuesta sistémica de células Th1 y una respuesta de células T productoras de IL-10 en ratones, y desempeña un papel en la protección del hospedador frente a colitis, que de lo contrario estaría causada por un patógeno (documentos no de patente 3). Las bacterias filamentosas segmentadas, que son bacterias comensales intestinales en ratones, han demostrado inducir respuesta de células Th17 en la mucosa y de ese modo potenciar la resistencia contra infección de los tractos gastrointestinales del hospedador con un patógeno (documentos no de patente 11 a 13). Además, los ácidos grasos de cadena corta derivados de varias bacterias comensales se sabe que suprimen la inflamación intestinal (documento no de patente 14). Además, se presume que la presencia de algunas especies de microbiota intestinal ejerce una gran influencia sobre la diferenciación de las células T reguladoras (a partir de ahora en este documento mencionadas como "células Treg") que mantienen la homeostasis del sistema inmunitario.

Por ahora, las células T reguladoras que se han identificado como un subconjunto que suprime la inmunidad son células T CD4<sup>+</sup> en que se expresa un factor de transcripción Foxp3, y se sabe que desempeñan un papel importante en el mantenimiento de la homeostasis inmunológica (documentos no de patente 8, 9, 15 y 16). Además, se ha sabido que las células que expresan Foxp3 están presentes en una gran cantidad especialmente en el colon, y solamente células Treg presentes localmente en el colon expresan de forma constante IL-10, que es una citoquina inmunosupresora, a un alto nivel (documento no de patente 17). También se sabe que animales que tienen células CD4<sup>+</sup> Foxp3<sup>+</sup> de las que se retira específicamente IL-10 desarrollan enfermedad inflamatoria del intestino (documento no de patente 18).

Por consiguiente, si el mecanismo de la inducción de células Treg que producen IL-10 en el colon a un alto nivel se dilucida, pueden potenciarse la inmunosupresión, que a su vez puede aplicarse al tratamiento de enfermedades autoinmunitarias tales como enfermedad inflamatoria del intestino, así como al trasplante de órganos.

60 Sin embargo, los mecanismos del modo en que una gran cantidad de células Treg llegan a estar presentes en el colon y el modo en que las células Treg producen IL-10 en el colon a un alto nivel aún no están claros. Además, tampoco está claro aún las especies de bacterias que constituyen la flora bacteriana comensal intestinal que ejercen la influencia sobre la inducción de células T reguladoras.

#### 65 Lista de citas

2

#### Bibliografía no de patente

5

25

30

35

40

45

- [NPL 1] J. J. Cebra, "Am J Clin Nutr", mayo, 1999, 69, 1046S
- [NPL 2] A. J. Macpherson, N. L. Harris, "Nat Rev Immunol", junio de 2004, 4, 478 [NPL 3] J. L. Round, S. K. Mazmanian, "Nat Rev Immunol", mayo de 2009, 9, 313 [NPL 4] D. Bouskra et al., "Nature", 27 de november de 2008, 456, 507 [NPL 5] K. Atarashi et al., "Nature", 9 de octubre de 2008, 455, 808

- NPL 6] Ivanov, II et al., "Cell Host Microbe", 16 de octubre de 2008, 4, 337
- [NPL 7] S. L. Sanos et al., "Nat Immunol", enero de 2009, 10, 83
- [NPL 8] M. A. Curotto de Lafaille, J. J. Lafaille, "Immunity", mayo de 2009, 30, 626 [NPL 9] M. J. Barnes, F. Powrie, "Immunity", 18 de septiembre de 2009, 31, 401 10

  - NPL 10] W. S. Garrett et al., "Cell", 5 de octubre de 2007, 131, 33
  - [NPL 11] Ivanov, II et al., "Cell", 30 de octubre de 2009, 139, 485.
  - [NPL 12] V. Gaboriau-Routhiau et al., "Immunity", 16 de octubre de 2009, 31, 677
- 15 [NPL 13] N. H. Salzman et al., "Nat Immunol", 11, 76.
  - [NPL 14] K. M. Maslowski et al., "Nature", 29 de octubre de 2009, 461, 1282 [NPL 15] L. F. Lu, A. Rudensky, "Genes Dev", 1 de junio de 2009, 23, 1270

  - [NPL 16] S. Sakaguchi, T. Yamaguchi, T. Nomura, M. Ono, "Cell", 30 de mayo de 2008, 133, 775
  - [NPL 17] C. L. Maynard et al., "Nat Immunol", septiembre de 2007, 8, 931
- [NPL 18] Y. P. Rubtsov et al., "Immunity", abril de 2008, 28, 546 20
  - V. Gaboriau-Routhiau et al., "Immunity", 16 de octubre de 2009, 31, 677 describe bacterias filamentosas segmentadas (SFB) que no pertenecen al género Clostridium y, de hecho, están filogenéticamente alejadas del mismo.
  - SOKOL HARRY ET AL: "Faecalibacterium prausnitzii is an anti-inflammatory commensal bacterium identified by gut microbiota analysis of Crohn disease patients", PROCEEDINGS OF THE NATIONAL ACADEMY OF SCIENCES, NATIONAL ACADEMY OF SCIENCES, WASHINGTON, DC; EE. UU., vol. 105, n.º 43, 28 de octubre de 2008 (2008-10-28), páginas 16731-16736, propone Faecalibacterium prausnitzii (que pertenece al grupo IV de Clostridium) como agente probiótico candidato en el tratamiento de enfermedad de Crohn (CD).
  - El documento DE 10 2006 062250 A1 (SAUR-BROSCH ROLAND [DE]) describe el uso de una composición que comprende minerales y/o vitaminas y opcionalmente bacterias acetogénicas y/o butirogénicas para la administración oral o rectal para el tratamiento o la prevención del malestar abdominal que está acompañado por una actividad metabólica reductoramente acetogénica.
  - ITOH K ET AL: "Characterization of clostridia isolated from faeces of limited flora mice and their effect on caecal size when associated with germ-free mice." LABORATORY ANIMALS APR 1985 vol. 19, n.º 2, abril de 1985 (1985-04), páginas 111-118 describe la caracterización de 115 cepas de clostridios acumulados a partir de 3 aislados diferentes de las heces de un ratón de flora limitada (LF) producido por inoculación de ratones libres de gérmenes con heces tratadas con cloroformo de ratones convencionales, y se estudió el efecto sobre el tamaño del ciego cuando se asocia con ratones libres de gérmenes.

Sumario de la invención

Problemas técnicos

Solución al problema

- 50 Los presentes inventores han descubierto que una fracción tratada con cloroformo y una fracción formadora de esporas de una muestra fecal obtenida de un mamífero induce acumulación de células T reguladoras (células Treg) en el colon. Además, los presentes inventores han descubierto que bacterias que pertenecen al género Clostridium inducen proliferación o acumulación de células T reguladoras en el colon. Los presentes inventores también han descubierto que las células T reguladoras inducidas por estas bacterias suprimen la proliferación de células T 55 efectoras. Además, los presentes inventores también han descubierto que la colonización de bacterias que pertenecen al género Clostridium y la proliferación o la acumulación resultante de células Treg regulan las respuestas inmunitarias locales y sistémicas.
- A partir de estos hallazgos, los presentes inventores han descubierto que el uso de bacterias que pertenecen al 60 género Clostridium, esporas de las mismas o una sustancia fisiológicamente activa derivada de las mismas hace posible inducir la proliferación o la acumulación de células T reguladoras (células Treg), y además suprimir las funciones inmunitarias.
- En un aspecto, la presente invención proporciona una composición para su uso en un método de tratamiento o prevención de una enfermedad seleccionada de enfermedad infecciosa, enfermedad autoinmunitaria o enfermedad 65 alérgica en un individuo, comprendiendo la composición, como ingrediente activo, bacterias que comprenden

bacterias formadoras de esporas que pertenecen a los grupos IV y XIVa de *Clostridium* en combinación, induciendo dicha combinación la proliferación o la acumulación de células T reguladoras factor de transcripción Foxp3-positivas en dicho individuo.

5 Otros aspectos de la invención son como se definen en las reivindicaciones adjuntas a la misma.

#### Efectos ventajosos

20

25

35

60

La composición descrita en este documento sirve como excelente composición para inducir la proliferación o la acumulación de células T reguladoras (células Treg). La inmunidad en un organismo vivo puede suprimirse a través de la administración de la composición de este documento descrita como un producto farmacéutico o a través de ingestión de la composición como un alimento o una bebida. Por consiguiente, la composición descrita en este documento puede usarse, por ejemplo, para prevenir o tratar enfermedades autoinmunitarias o enfermedades alérgicas, así como para suprimir el rechazo inmunológico en trasplante de órganos o similares. Además, si un alimento o una bebida tal como un alimento saludable comprenden la composición de la presente invención, los individuos sanos pueden ingerir la composición fácilmente y de forma rutinaria. Como resultado, es posible inducir la proliferación o la acumulación de células T reguladoras y de ese modo mejorar las funciones inmunitarias.

Breve descripción de los dibujos

- [Fig. 1] La Fig. 1 es un diagrama esquemático que muestra un método de producción de ratón II10 venus.
- [Fig. 2] La Fig. 2 es un diagrama que muestra los resultados de transferencia de Southern realizada para análisis en cuanto así los ratones <u>II10</u> venus tienen o no un alelo <u>II10</u> venus.
- [Fig. 3] La Fig. 3 es un diagrama de puntos FACS que muestra los resultados obtenidos cuando se clasificaron células Venus-positivas y células Venus-negativas de los ratones II10 venus.
- [Fig. 4] La Fig. 4 es un gráfico que muestra los resultados obtenidos cuando se analizaron las cantidades de ARNm de IL-10 expresadas en células Venus-positivas y en células Venus-negativas de los ratones <u>II10</u> por RT-PCR a tiempo real.
  - [Fig. 5] La Fig. 5 es un gráfico que muestra el cambio en la relación de células Foxp3<sup>+</sup> en linfocitos CD4<sup>+</sup> de ratones SPF.
  - [Fig. 6] La Fig. 6 muestra diagramas de puntos FACS que muestran los resultados de análisis de las relaciones de células Foxp3<sup>+</sup> en linfocitos CD4<sup>+</sup> aislados del intestino delgado, el colon, y los ganglios linfáticos periféricos de ratones GF y de ratones SPF.
- 40 [Fig. 7] La Fig. 7 es un gráfico que muestra los resultados de análisis de las relaciones de células Foxp3<sup>+</sup> en linfocitos CD4<sup>+</sup> aislados del intestino delgado, del colon y de los ganglios linfáticos periféricos de ratones GF y de ratones SPF.
- [Fig. 8] La Fig. 8 muestra gráficos que muestran los resultados de análisis de las cantidades de células CD4<sup>+</sup> Foxp3<sup>+</sup> aisladas del intestino delgado, del colon y de los ganglios linfáticos periféricos de ratones GF y de ratones SPF.
  - [Fig. 9] La Fig. 9 es un diagrama trazado que muestra los resultados de los análisis de las relaciones de células Venus<sup>†</sup> en células CD4<sup>†</sup> en diversos tejidos de ratones SPF tratados con antibióticos.
- [Fig. 10] La Fig. 10 muestra diagramas de puntos FACS que muestran resultados de los análisis de la relación de células Foxp3<sup>+</sup> en linfocitos CD4<sup>+</sup> aislados de la lamina propria del colon de ratones GF a los que se administró una suspensión fecal de ratones SPF.
- [Fig. 11] La Fig. 11 es un gráfico que muestra los resultados de análisis de las relaciones de células Foxp3<sup>+</sup> en linfocitos CD4<sup>+</sup> aislados de la lamina propria del colon y de la lamina propria del intestino delgado de ratones GF a los que se administró una suspensión fecal de ratones SPF.
  - [Fig. 12] La Fig. 12 es un gráfico que muestra los resultados de los análisis de la relación de células Foxp3<sup>+</sup> en linfocitos CD4<sup>+</sup> aislados de la lamina propria de ratones deficientes en ILF, PP y parches colónicos.
  - [Fig. 13] La Fig. 13 muestra diagramas de puntos FACS que muestran los resultados de los análisis de las relaciones de células Foxp3<sup>+</sup> en linfocitos CD4<sup>+</sup> aislados de la lamina propria del colon de ratones GF a los que se administraron bacterias comensales específicas.
- [Fig. 14] La Fig. 14 muestra gráficos que muestran los resultados de los análisis de las relaciones de células Foxp3<sup>+</sup> en linfocitos CD4<sup>+</sup> aislados de la lamina propria del colon de ratones GF a los que se administraron bacterias

comensales específicas.

5

10

20

35

50

55

- [Fig. 15] La Fig. 15 es un gráfico que muestra los resultados de análisis de las relaciones de células IFN-γ<sup>+</sup> en linfocitos CD4<sup>+</sup> aislados de la lamina propria del colon de ratones en que se colonizaron bacterias comensales específicas.
- [Fig. 16] La Fig. 16 es un gráfico que muestra los resultados de los análisis de las relaciones de células IL-17<sup>+</sup> en linfocitos CD4<sup>+</sup> aislados de la lamina propria del colon de ratones en que se colonizaron bacterias comensales específicas.
- [Fig. 17] La Fig. 17 es un gráfico que muestra los resultados de los análisis de las relaciones de células Foxp3<sup>+</sup> en linfocitos CD4<sup>+</sup> aislados del colon de tipos de ratones SPF que son cada uno deficientes en factor asociado a receptor de reconocimiento de patrones moleculares asociados a patógenos.
- 15 [Fig. 18] La Fig. 18 es un gráfico que muestra los resultados de los análisis de las relaciones de células Foxp3<sup>+</sup> en linfocitos CD4<sup>+</sup> aislados de la lamina propria del colon de ratones Myd88<sup>-/-</sup> en que se colonizó *Clostridium*.
  - [Fig. 19] La Fig. 19 muestra diagramas de puntos FACS que muestran los resultados de los análisis de las relaciones de células Venus<sup>+</sup> en linfocitos aislados de diversos tejidos de ratones <u>II10</u> venus.
  - [Fig. 20] La Fig. 20 es un diagrama de puntos FACS que muestra los resultados de los análisis de la expresión de una cadena  $\beta$  del receptor de células T sobre superficies celulares de linfocitos aislados de la lamina propria del colon de ratones  $\underline{\text{II10}}^{\text{venus}}$ .
- 25 [Fig. 21] La Fig. 21 muestra diagramas de transferencia puntual FACS que muestran los resultados de los análisis de la expresión de IL-17, IL-4 e IFN-γ en linfocitos aislados de la lamina propria del colon de ratones II10 venus.
- [Fig. 22] La Fig. 22 muestra gráficos que muestran los resultados de los análisis de las cantidades de ARNm de IL-10, CTLA4, Foxp3 y GITR expresados en células de bazo Foxp3 CD4, células de bazo Foxp3 CD4, células de bazo Foxp3 CD4, células Venus de la lamina propria del colon y células Venus de la lamina propria del intestino delgado.
  - [Fig. 23] La Fig. 23 muestra diagramas de puntos FACS que muestran los resultados de los análisis de la expresión de CD4, Foxp3 y Venus en la lamina propria del intestino delgado y la lamina propria del colon de ratones GF  $\underline{\text{II10}}^{\text{venus}}$  y de ratones SPF  $\underline{\text{II10}}^{\text{venus}}$ .
  - [Fig. 24] La Fig. 24 muestra diagramas de puntos FACS que muestran los resultados de los análisis de la expresión de Venus y de Foxp3 de células CD4 en diversos tejidos de ratones SPF <u>II10</u> venus.
- [Fig. 25] La Fig. 25 muestra diagramas de puntos FACS que muestran los resultados de los análisis de la expresión de Foxp3 y de Venus en ratones <u>II10</u><sup>venus</sup> en que se colonizaron bacterias comensales específicas.
  - [Fig. 26] La Fig. 26 es un gráfico que muestra los resultados de los análisis de la expresión de Foxp3 y/o Venus de células CD4<sup>+</sup> en el intestino delgado de ratones <u>II10</u><sup>venus</sup> en que se colonizaron bacterias comensales específicas.
- [Fig. 27] La Fig. 27 es un gráfico que muestra los resultados de los análisis de la expresión de Foxp3 y/o de Venus de células CD4<sup>+</sup> en el colon de ratones <u>II10</u><sup>venus</sup> en que se colonizaron bacterias comensales específicas.
  - [Fig. 28] La Fig. 28 es un diagrama trazado que muestra los resultados de los análisis de las relaciones de células Venus<sup>+</sup> en células CD4<sup>+</sup> aisladas de diversos tejidos de ratones <u>II10</u><sup>venus</sup> tratados con antibióticos.
  - [Fig. 29] La Fig. 29 es un gráfico que muestra los resultados de los análisis de las funciones inmunorreguladoras de células CD4<sup>†</sup>Venus<sup>†</sup> de la lamina propria del colon de ratones GF <u>II10</u><sup>venus</sup> en que se colonizó el género *Clostridium*, células CD4<sup>†</sup>Venus<sup>†</sup> de la lamina propria del colon de ratones SPF <u>II10</u><sup>venus</sup> y células CD4<sup>†</sup>GFP<sup>†</sup> del bazo de ratones indicadores Foxp3<sup>eGFP</sup>.
  - [Fig. 30] La Fig. 30 es un gráfico que muestra los resultados obtenidos cuando se trataron ratones SPF B6 con polimixina B o con vancomicina durante 4 semanas, y después se analizaron para la relación de células Foxp3<sup>+</sup> en el grupo de células CD4<sup>+</sup>.
- [Fig. 31] La Fig. 31 es un gráfico que muestra los resultados obtenidos cuando se administraron por vía oral heces tratadas con cloroformo derivadas de ratones SPF a ratones GF, y después se analizó la relación de células Foxp3<sup>+</sup> en el grupo de células CD4<sup>+</sup>.
- [Fig. 32] La Fig. 32 es un gráfico que muestra los resultados generales del análisis de citometría de flujo sobre la expresión de Helios en linfocitos LP en los timos o en los cólones de ratones SPF, en ratones GF, en ratones colonizados por *Lactobacillus* o en ratones colonizados por *Clostridium*.

[Fig. 33] La Fig. 33 muestra diagramas trazados que muestran resultados representativos del análisis de citometría de flujo sobre la expresión de CD4, la expresión de Foxp3 y la expresión de Helios en los linfocitos LP en los timos o en los cólones de los ratones SPF, los ratones GF, los ratones colonizados por *Lactobacillus* o los ratones colonizados por *Clostridium*.

5

10

25

30

35

40

45

55

60

65

[Fig. 34] La Fig. 34 es un gráfico que muestra los resultados obtenidos cuando los cólones completos obtenidos de ratones GF, de ratones colonizados por *Lactobacillus* o de ratones colonizados por *Clostridium* se cultivaban, y se analizaron los sobrenadantes de cultivo de los mismos para la concentración de TGF-β1 por ELISA.

[Fig. 35] La Fig. 35 es un gráfico que muestra los resultados obtenidos cuando las células epiteliales intestinales (IEC) obtenidas de ratones GF o de ratones colonizados por *Clostridium* se cultivaban, y se analizaron los sobrenadantes de cultivo de las mismas para la concentración de TGF-β1 por ELISA.

15 [Fig. 36] La Fig. 36 es un gráfico que muestra los resultados obtenidos cuando se cultivaron células T CD4<sup>+</sup> esplénicas junto con un anticuerpo anti-CD3 y con un sobrenadante de cultivo de IEC obtenidas de ratones GF o de ratones colonizados con 46 cepas bacterianas del género *Clostridium* (Clost.) en presencia o en ausencia de un anticuerpo anti-TGF-β, y se recogieron las células T en el día 5 del cultivo y se analizaron para la expresión de Foxp3 por RT-PCR a tiempo real.

[Fig. 37] La Fig. 37 es un gráfico que muestra los resultados obtenidos cuando se inocularon por vía oral ratones C57BL/6 GF con 46 cepas bacterianas del género *Clostridium* (Clost.) o con tres cepas bacterianas del género *Lactobacillus* (Lacto.), y se recogieron IEC tres semanas después de la inoculación y se analizaron para el nivel de expresión relativa del ARNm del gen MMP2 por RT-PCR a tiempo real.

[Fig. 38] La Fig. 38 es un gráfico que muestra los resultados obtenidos cuando se inocularon por vía oral ratones C57BL/6 GF con 46 cepas bacterianas del género *Clostridium* (Clost.) o con tres cepas bacterianas del género *Lactobacillus* (Lacto.), y se recogieron IEC tres semanas después de la inoculación y se analizaron para el nivel de expresión relativa del ARNm del gen MMP9 por RT-PCR a tiempo real.

[Fig. 39] La Fig. 39 es un gráfico que muestra los resultados obtenidos cuando se inocularon por vía oral ratones C57BL/6 GF con 46 cepas bacterianas del género *Clostridium* (Clost.) o con tres cepas bacterianas del género *Lactobacillus* (Lacto.), y se recogieron IEC tres semanas después de la inoculación y se analizaron para el nivel de expresión relativa del ARNm del gen MMP13 por RT-PCR a tiempo real.

[Fig. 40] La Fig. 40 es un gráfico que muestra los resultados obtenidos cuando se inocularon por vía oral ratones C57BL/6 GF con 46 cepas bacterianas del género *Clostridium* (Clost.) o con tres cepas bacterianas del género *Lactobacillus* (Lacto.), y se recogieron IEC tres semanas después de la inoculación y se analizaron para el nivel de expresión relativa del ARNm del gen IDO por RT-PCR a tiempo real.

[Fig. 41] La Fig. 41 es un gráfico a que muestra los resultados obtenidos cuando se trataron ratones de control (SPF) y ratones a los que se había administrado *Clostridium* (SPF+Clost.) con DSS al 2 %, se observaron y se midieron para la pérdida de peso corporal, para la dureza de las deposiciones y para la hemorragia durante seis días, y después se evaluaron numéricamente.

[Fig. 42] La Fig. 42 es una fotografía que muestra el estado de los cólones recogidos en el día 6 después de que los ratones de control (SPF) y los ratones a los que se administró *Clostridium* (SPF+Clost.) se trataran con DSS al 2 %.

[Fig. 43] La Fig. 43 muestra fotomicrografías que muestran los resultados obtenidos cuando los ratones de control (SPF) o los ratones a los que administró *Clostridium* (SPF+Clost.) se trataron con DSS al 2 %, y los cólones de los mismos se recogieron en el día 6 y se analizaron histológicamente por tinción con HE.

[Fig. 44] La Fig. 44 es un gráfico que muestra los resultados obtenidos cuando los ratones de control (SPF) y los ratones a los que se administró *Clostridium* (SPF+Clost.) se sensibilizaron con oxazolona, y posteriormente se trató el interior de cada recto con una solución de oxazolona al 1 %/etanol al 50 %, y se midió la pérdida de peso corporal.

[Fig. 45] La Fig. 45 muestra fotomicrografías que muestran los resultados obtenidos cuando los ratones de control (SPF) y los ratones a los que se administró *Clostridium* (SPF+Clost.) se sensibilizaron con oxazolona, y posteriormente se trató el interior de cada recto con una solución de oxazolona al 1 %/etanol al 50 %, y los cólones obtenidos por el tratamiento se analizaron histológicamente por tinción con HE.

[Fig. 46] La Fig. 46 es un gráfico que muestra los resultados obtenidos cuando los ratones de control (SPF) y los ratones a los que se administró *Clostridium* (SPF+Clost.) se inmunizaron administrando ovalbúmina absorbida en alumbre (OVA) dos veces a un intervalo de 2 semanas, y se recogieron los sueros de los mismos y se analizaron para la concentración de IgE específica para OVA en estos sueros por ELISA.

[Fig. 47] La Fig. 47 es un gráfico que muestra los resultados obtenidos cuando los ratones de control (SPF) y los ratones a los que se administró *Clostridium* (SPF+Clost.) se inmunizaron administrando OVA absorbida en alumbre dos veces a un intervalo de 2 semanas, y se recogieron las células esplénicas y se analizaron para la producción de IL-4 de estas células esplénicas por re-estimulación de OVA *in vitro*.

5

[Fig. 48] La Fig. 48 es un gráfico que muestra los resultados obtenidos cuando los ratones de control (SPF) y los ratones a los que se administró *Clostridium* (SPF+Clost.) se inmunizaron administrando OVA absorbida en alumbre dos veces a un intervalo de 2 semanas, y se recogieron las células esplénicas y se analizaron para la producción de IL-10 de estas células esplénicas por re-estimulación de OVA *in vitro*.

10

35

40

45

50

- [Fig. 49] La Fig. 49 es un árbol filogenético construido por el método de unión de vecinos con las secuencias resultantes de las 41 cepas de *Clostridium* y aquellas de bacterias conocidas obtenidas de la base de datos GenBank usando el software Mega.
- 15 [Fig. 50] La Fig. 50 son histogramas que muestran la expresión de Foxp3 en células CD4 sincronizadas de ratones GF (ratón n.º 1 y n.º 2 libres de gérmenes) o de ratones GF colonizados con tres cepas de *Clostridium* pertenecientes al grupo IV (3 cepas de Clost. ratón n.º 1 y n.º 2).
- [Fig. 51] La Fig. 51 son histogramas que muestran la expresión de Foxp3 por linfocitos CD4 positivos de ratones GF (GF) o de ratones GF alimentados por sonda con deposiciones humanas tratadas con cloroformo (GF+Cloro.).
  - [Fig. 52] La Fig. 52 es un gráfico que muestra la expresión de Foxp3 por linfocitos CD4 positivos de ratones GF (GF) o de ratones GF alimentados por sonda con deposición humana tratada con cloroformo (GF+Cloro.).
- [Fig. 53] La Fig. 53 es un gráfico que muestra las cantidades de *Clostridium* y *Bacteroides* en heces de ratones alimentados por sonda con deposición humana tratada con cloroformo.

Descripción de realizaciones

30 "Células T reguladoras" significa células T CD4 positivas factor Foxp3-positivas.

El significado de "induce la proliferación o la acumulación de células T reguladoras" en la presente invención incluye un efecto de inducir la diferenciación de células T inmaduras en células T reguladoras, cuya diferenciación conduce a la proliferación o a la acumulación de células T reguladoras. Además, el significado de "induce la proliferación o la acumulación de células T reguladoras" en la presente invención incluye efectos in vivo, efectos in vitro y efectos ex vivo. Por consiguiente, se incluyen todos los siguientes efectos: un efecto de inducir proliferación o acumulación in vivo de células T reguladoras a través de la administración o la ingestión de las bacterias que pertenecen al género Clostridium o de la sustancia fisiológicamente activa o similares obtenida de las bacterias; un efecto de inducción de la proliferación o de la acumulación de células T reguladoras cultivadas causando que las bacterias pertenecientes al género Clostridium o de la sustancia fisiológicamente activa o similares obtenida de las bacterias actúe sobre las células T reguladoras cultivadas; y un efecto de inducción de la proliferación o la acumulación de células T reguladoras que se recogen de un organismo vivo y que se pretenden introducir posteriormente en un organismo vivo, tal como el organismo del que se obtuvieron u otro organismo, causando que las bacterias pertenecientes al género Clostridium o la sustancia fisiológicamente activa o similares obtenida de las bacterias actúen sobre las células T reguladoras. El efecto de inducción de la proliferación o la acumulación de células T reguladoras puede evaluarse, por ejemplo, del siguiente modo. Específicamente, las bacterias pertenecientes al género Clostridium o la sustancia fisiológicamente activa o similares obtenida de las bacterias se administra por vía oral a un animal experimental tal como un ratón libre de gérmenes, después las células CD4 positivas en el colon se aíslan, y se mide la relación de células T reguladoras contenidas en las células CD4 positivas por citometría de flujo (remítase al Ejemplo 7).

Las células T reguladoras de las que se induce la proliferación o la acumulación por la composición de la presente invención son células T reguladoras factor de transcripción Foxp3-positivas.

Las "bacterias pertenecientes al género *Clostridium*", que son el ingrediente activo en la composición de la presente invención, son como se definen en las reivindicaciones adjuntas a la misma.

Pueden usarse dos o más cepas de las bacterias juntas para la composición de la presente invención. El uso de múltiples cepas de bacterias pertenecientes al grupo XIVa o al grupo IV en combinación puede conseguir un excelente efecto sobre las células T reguladoras. Además de las bacterias pertenecientes a estos grupos, también pueden usarse bacterias pertenecientes a otros grupos (por ejemplo, bacterias pertenecientes al grupo III) en combinación. Si se usa más de una cepa de bacterias (por ejemplo, una o más cepas pertenecientes al grupo XIVa, una o más cepas pertenecientes al grupo IV, uno o más cepas pertenecientes a un grupo diferente al grupo XIVa o al grupo IV, tal como una o más cepas pertenecientes al grupo III), el tipo y la cantidad de cepas usadas puede variar ampliamente. El tipo y la cantidad a usarse puede determinarse basándose en una diversidad de factores (por ejemplo, el efecto deseado, tal como la inducción o la inhibición de la proliferación o la acumulación de células T

reguladoras; la enfermedad o la afección a tratarse, prevenirse o reducirse en su gravedad; la edad o el género del destinatario). Las cepas pueden estar presentes en una única composición, en cuyo caso se consumirán o ingerirán juntas, o pueden estar presentes en más de una composición (por ejemplo, cada una puede estar en una composición diferente), en cuyo caso pueden consumirse individualmente o las composiciones pueden combinarse y la combinación resultante (composiciones combinadas) consumirse o ingerirse. Puede administrarse cualquier cantidad o combinación de cepas que demuestre ser eficaz (por ejemplo, cualquier cantidad de una a 200, tal como 1 a 100, 1 a 50, 1 a 40, 1 a 30, 1 a 20, 1 a 10, 1 a 5 y cualquier cantidad entre las mismas). En ciertas realizaciones de la presente invención, se usa una combinación de algunas o de las 46 cepas descritas en el documento (Itoh, K., y Mitsuoka, T. Characterization of clostridia isolated from faeces of limited flora mice and their effect on caecal size when associated with germ-free mice. Lab. Animals 19: 111-118 (1985)). Por ejemplo, puede usarse al menos una, dos o más, tres, tres o más, cuatro, cuatro o más, cinco, cinco o más, seis, seis o más o cualquier otra cantidad de las 46 cepas descritas, incluyendo 46 cepas. Pueden usarse en combinación entre sí en combinación con cepas no descritas en la referencia citada (por ejemplo, en combinación con una o más cepas pertenecientes al grupo III).

10

25

30

Obsérvese que, el grupo de "bacterias pertenecientes al género *Clostridium*" puede identificarse, por ejemplo, del siguiente modo. Específicamente, las bacterias pertenecientes al género *Clostridium* se clasifican por PCR usando un conjunto de cebadores que consiste en las SEQ ID NO 64 y 65 (para *Clostridium spp.* perteneciente al grupo XIVa) o un conjunto de cebadores que consiste en las SEQ ID NO 66 y 67 (para *Clostridium spp.* perteneciente al grupo IV) (remítase al Ejemplo 18). Además, las bacterias pertenecientes al género *Clostridium* se clasifican secuenciando el gen de ARNr 16S amplificado usando un conjunto de cebadores que consiste en las SEQ ID NO 19 y 20 (remítase al Ejemplo 7).

Pueden usarse células viables de las bacterias pertenecientes al género *Clostridium* para la composición de la presente invención, y también pueden usarse células inactivadas de las mismas para la composición. Además, desde el punto de vista de la estabilidad al calor, resistencia a antibióticos y similares, y el largo periodo de almacenamiento, las bacterias pertenecientes al género *Clostridium* están preferiblemente en forma de esporas.

El significado de la "sustancia fisiológicamente activa obtenida de bacterias pertenecientes al género *Clostridium*" como se usa en este documento, incluye sustancias contenidas en las bacterias, productos de secreción de las bacterias y metabolitos de las bacterias. Dicha sustancia fisiológicamente activa puede identificarse purificando un componente activo de las bacterias, un sobrenadante de cultivo de las mismas o contenidos de tracto intestinal en el tracto intestinal de un ratón en que se colonizaron solamente bacterias pertenecientes al género *Clostridium* por un método de purificación ya conocido.

- 35 El ingrediente activo "fracción formadora de esporas de una muestra fecal obtenida de un mamífero" en la composición de la presente invención no está particularmente limitado, siempre que la fracción incluya bacterias formadoras de esporas presentes en heces de un mamífero, y tenga el efecto de inducir la proliferación o la acumulación de células T reguladoras.
- 40 El ingrediente activo "fracción tratada con cloroformo de una muestra fecal obtenida de un mamífero" en la composición de la presente invención no está particularmente limitado, siempre que la fracción se obtenga tratado las heces de un mamífero con cloroformo (por ejemplo, cloroformo al 3 %), y tenga el efecto de inducir la proliferación o la acumulación de células T reguladoras.
- Obsérvese que el "mamífero" en la presente invención no está particularmente limitado, y ejemplos del mismo incluyen seres humanos, ratones, ratas, ganado vacuno, caballos, cerdos, ovejas, monos, perros y gatos.

En cambio, cuando la "fracción formadora de esporas de una muestra fecal obtenida de un mamífero" o la "fracción tratada con cloroformo de una muestra fecal obtenida de un mamífero" se cultiva en un medio, se liberan sustancias contenidas en las bacterias, productos de secreción de las bacterias, metabolitos de las bacterias desde las bacterias y similares contenidas en la fracción. El significado del ingrediente activo "sobrenadante de cultivo de la fracción" en la composición descrita en este documento incluye dichas sustancias, productos de secreción y metabolitos. El sobrenadante de cultivo no está particularmente limitado, siempre que el sobrenadante de cultivo tenga el efecto de inducir la proliferación o la acumulación de células T reguladoras. Ejemplos del sobrenadante de cultivo incluyen una fracción proteica del sobrenadante de cultivo, una fracción de polisacárido del sobrenadante de cultivo, una fracción lipídica del sobrenadante de cultivo y una fracción de metabolito de bajo peso molecular del sobrenadante de cultivo.

La composición descrita en este documento puede estar en forma de una composición farmacéutica, de un alimento o una bebida (que también puede ser un pienso animal) o de un reactivo usado para un experimento de modelo animal, teniendo la composición farmacéutica, el alimento o la bebida y el reactivo el efecto de inducir la proliferación o la acumulación de células T reguladoras. Un ejemplo de la presente invención reveló que las células T reguladoras (células Treg) inducidas por bacterias o similares pertenecientes al género *Clostridium* suprimían la proliferación de células T efectoras. Por consiguiente, la composición de la presente invención puede usarse adecuadamente como una composición que tiene un efecto inmunosupresor. El efecto inmunosupresor puede evaluarse, por ejemplo, del siguiente modo. Específicamente, se causa que las células T reguladoras aisladas de un animal experimental, tal

como un ratón, al que se administra por vía oral la composición de la presente invención, actúen sobre las células T efectoras (células CD4<sup>+</sup>CD25<sup>-</sup>) aisladas del bazo, y después se mide la capacidad de proliferación de las mismas usando la cantidad de ingesta de [<sup>3</sup>H]-timidina como un índice (remítase al Ejemplo 14).

La composición de la presente invención puede usarse, por ejemplo, como una composición farmacéutica para prevenir o tratar una enfermedad autoinmunitaria tal como enfermedad crónica inflamatoria del intestino, lupus sistémico eritematoso, artritis reumatoide, esclerosis múltiple o enfermedad de Hashimoto, o una enfermedad alérgica tal como polinosis o asma; una composición farmacéutica para suprimir el rechazo en trasplante de órganos o similares; un alimento o bebida para mejorar las funciones inmunitarias; o un reactivo para suprimir la proliferación o función de las células T efectoras.

15

20

25

30

35

40

45

50

55

Ejemplos más específicos de enfermedades diana de la composición de la presente invención incluyen enfermedades autoinmunitarias, enfermedades alérgicas y rechazos en trasplante de órganos y similares, tales como enfermedad inflamatoria del intestino (IBD), colitis ulcerosa, enfermedad de Crohn, esprue, artritis autoinmunitaria, artritis reumatoide, diabetes de tipo I, esclerosis múltiple, enfermedad de injerto contra hospedador después de trasplante de médula ósea, osteoartritis, artritis crónica juvenil, artritis de Lyme, artritis psoriásica, artritis reactiva, espondiloartropatía, lupus sistémico eritematoso, diabetes mellitus insulinodependiente, tiroiditis, asma, psoriasis, dermatitis, esclerodermia, dermatitis atópica, enfermedad de injerto contra hospedador, enfermedad inmunitaria aguda o crónica asociada con trasplante de órganos, sarcoidosis, aterosclerosis, coagulación intravascular diseminada, enfermedad de Kawasaki, enfermedad de Grave, síndrome nefrótico, síndrome de fatiga crónica, granulomatosis de Wegener, púrpura de Henoch-Schoenlejn, vasculitis microscópica de los riñones, hepatitis activa crónica, uveítis, choque séptico, síndrome de choque tóxico, síndrome de sepsis, caquexia, síndrome de inmunodeficiencia adquirida, mielitis transversal aguda, corea de Huntington, enfermedad de Parkinson, enfermedad de Alzheimer, apoplejía, cirrosis biliar primaria, anemia hemolítica, síndrome de deficiencia poliglandular de tipo I y síndrome de deficiencia poliglandular de tipo II, síndrome de Schmidt, síndrome de dificultad respiratoria en el adulto (agudo), alopecia, alopecia areata, artropatía seronegativa, artropatía, enfermedad de Reiter, artropatía psoriásica, artropatía asociada con *Chlamydia*, *Yersinia* y *Salmonella*, espondiloartropatía, enfermedad ateromatosa/arteriosclerosis, alergia atópica, alergias a alimentos, enfermedad ampollar autoinmunitaria, pénfigo vulgar, pénfigo foliáceo, penfigoide, enfermedad de IgA lineal, anemia hemolítica autoinmunitaria, anemia hemolítica Combs positiva, anemia perniciosa adquirida, anemia perniciosa juvenil, encefalitis miálgica/enfermedad de Royal Free, candidiasis mucocutánea crónica, arteritis de gigantocitos, hepatitis esclerosante primaria, hepatitis autoinmunitaria criptogénica, síndrome de enfermedad de inmunodeficiencia adquirida, enfermedades relacionadas con inmunodeficiencia adquirida, hepatitis C, inmunodeficiencia común variada (hipogammaglobulinemia común variable), cardiomiopatía dilatada, enfermedad pulmonar fibrótica, alveolitis fibrosante criptogénica, enfermedad pulmonar intersticial posinflamatoria, pneumonitis intersticial, enfermedad del tejido conectivo asociada a enfermedad pulmonar intersticial, enfermedad mixta del tejido conectivo asociada a enfermedad pulmonar, esclerosis sistémica asociada a enfermedad pulmonar intersticial, artritis reumatoide asociada a enfermedad pulmonar intersticial, lupus sistémico eritematoso asociado a enfermedad pulmonar, dermatomiositis/polimiositis asociada a enfermedad pulmonar, enfermedad de Sjogren asociada a enfermedad pulmonar, espondilitis anquilosante asociada a enfermedad pulmonar, enfermedad pulmonar vasculítica difusa, hemosiderosis asociada a enfermedad pulmonar, enfermedad pulmonar intersticial inducida por fármacos, fibrosis por radiación, bronquiolitis obliterante, pneumonía eosinofílica crónica, enfermedad pulmonar de infiltración linfocítica, enfermedad pulmonar intersticial posinfecciosa, artritis gotosa, hepatitis autoinmunitaria, hepatitis autoinmunitaria de tipo 1 (hepatitis autoinmunitaria clásica o lúpica), hepatitis autoinmunitaria de tipo 2 (hepatitis con anticuerpos anti-LKM), hipoglucemia de mediación autoinmunitaria, resistencia a la insulina de tipo B con acantosis nigricans, hipoparatiroidismo, enfermedad inmunitaria aguda asociada con trasplante de órganos, enfermedad inmunitaria crónica asociada con trasplante de órganos, osteoartrosis, colangitis esclerosante primaria, leucopenia idiopática, neutropenia autoinmunitaria, enfermedad renal NOS, glomerulonefritis, vasculitis microscópica de los riñones, lupus discoide eritematoso, infertilidad masculina idiopática o NOS, autoinmunidad al esperma, esclerosis múltiple (todos los subtipos), diabetes mellitus insulinodependiente, oftalmia simpática, hipertensión pulmonar secundaria a enfermedad del tejido conectivo, síndrome de Goodpasture, manifestación pulmonar de poliarteritis nodosa, fiebre reumática aguda, espondilitis reumatoide, enfermedad de Still, esclerosis sistémica, enfermedad de Takayasu/arteritis, trombocitopenia autoinmunitaria, trombocitopenia idiopática, enfermedad autoinmunitaria de tiroides, hipertiroidismo, hipotiroidismo autoinmunitario bocioso (enfermedad de Hashimoto), hipotiroidismo autoinmunitario atrófico, mixoedema primario, uveítis facógena, vasculitis primaria, vitíligo, rinitis alérgica (alergias al polen), anafilaxis, alergias a mascotas, alergias al látex, alergias a fármacos, rinoconjuntivitis alérgica, esofagitis eosinofílica, síndrome hipereosinofílico, gastroenteritis eosinofílica, lupus eritematoso cutáneo, esofagitis eosinofílica, síndrome hipereosinofílico y gastroenteritis eosinofílica.

La composición de la presente invención también puede usarse como una composición farmacéutica para prevenir o tratar enfermedades infecciosas en un individuo cuya resistencia a las enfermedades infecciosas está alterada a causa de daños debido a inflamación excesiva causada por la inmunidad.

Ejemplos de patógenos infecciosos que alteran el mantenimiento o recuperación de la homeostasis de un hospedador, y que finalmente logran dicho daño al tejido inmunopatológico incluyen Salmonella, Shigella, Clostridium difficile, Mycobacterium (que causa la enfermedad tuberculosis), protozoos (que causan la enfermedad

malaria), nematodos filarias (que causan la enfermedad filariasis), *Schistosoma* (que causa la enfermedad esquistosomiasis), *Toxoplasma* (que causa la enfermedad toxoplasmosis), *Leishmania* (que causa la enfermedad leishmaniasis), HCV y HBV (que causan la enfermedad hepatitis C y hepatitis B) y virus del herpes simple (que causan la enfermedad herpes).

5

10

Pueden formularse preparaciones farmacéuticas a partir de la composición de la presente invención por métodos ya conocidos de formulación de fármacos. Por ejemplo, la composición de la presente invención puede usarse por vía oral o por vía parenteral en las formas de cápsulas, comprimidos, píldoras, líquidos, polvos, gránulos, gránulos finos, preparaciones recubiertas con película, gránulos, trociscos, preparaciones sublinguales, masticables, preparaciones bucales, pastas, jarabes, suspensiones, elixires, emulsiones, linimentos, pomadas, emplastes, cataplasmas, sistemas de absorción transdérmica, lociones, inhalaciones, aerosoles, inyecciones, supositorios y similares.

15

Para formular estas preparaciones, la composición de la presente invención puede usarse en combinación apropiada con vehículos farmacológicamente aceptables o aceptables para un alimento o bebida, específicamente, con agua estéril, solución salina fisiológica, aceite vegetal, disolvente, un material de base, un emulsionante, un agente de suspensión, un tensioactivo, un estabilizante, un agente aromatizante, un aromático, un excipiente, un vehículo, un conservante, un aglutinante, un diluyente, un agente de ajuste de la tonicidad, un agente calmante, un agente de recubrimiento, un lubricante, un colorante, un edulcorante, un agente espesante, un agente aromatizante, un solubilizante, otros aditivos o similares.

20

Por ahora, para formular una preparación farmacéuticamente de la misma y, particularmente, para formular una preparación farmacéutica para administración oral, es preferible usar en combinación una composición que posibilite un suministro eficaz de la composición de la presente invención al colon, desde el punto de vista de una inducción más eficaz de la proliferación o acumulación de células T reguladoras en el colon.

25

Dicha composición o método que posibilita el suministro al colon no está particularmente limitado, y pueden emplearse composiciones y métodos conocidos según lo apropiado. Ejemplos de los mismos incluyen composiciones sensibles al pH, más específicamente, polímeros entéricos que liberan sus contenidos cuando el pH se vuelve alcalino después del paso de los polímeros entéricos a través del estómago. Cuando se usa una composición sensible al pH para formular la preparación farmacéutica, la composición sensible al pH es preferiblemente un polímero cuyo umbral de pH de descomposición de la composición es de 6,8 a 7,5. Dicho intervalo de valores numéricos es un intervalo donde el pH se desplaza hacia el lado alcalino en una parte distal del estómago y, por tanto, es un intervalo adecuado para su uso en el suministro al colon.

30

35

40

Además, otro ejemplo de la composición que posibilita el suministro al colon se una composición que asegura el suministro al colon retardando la liberación de los contenidos en aproximadamente 3 a 5 horas, que corresponde al tiempo de tránsito del intestino delgado. En un ejemplo de formulación de una preparación farmacéutica usando la composición para retardar la liberación, se usa un hidrogel como revestimiento. El hidrogel se hidrata y se hincha tras el contacto con el fluido gastrointestinal, de modo que los contenidos se liberan de forma eficaz. Además, las unidades de dosificación de liberación retardada incluyen composiciones que contienen fármaco que tienen un material que recubre o recubre selectivamente un fármaco. Ejemplos de dicho material de recubrimiento selectivo incluyen polímeros degradables *in vivo*, polímeros gradualmente hidrolizables, polímeros gradualmente solubles en agua y/o polímeros degradables por enzimas. El material de recubrimiento preferido para retardar de forma eficaz la liberación no está particularmente limitado, y ejemplos del mismo incluyen polímeros basados en celulosa tales como hidroxipropil celulosa, polímeros y copolímeros de ácido acrílico tales como polímeros y copolímeros de ácido

45

50

Ejemplos de la composición que posibilita el suministro al colon incluyen adicionalmente composiciones bioadhesivas que se adhieren específicamente a la membrana mucosa del colon (por ejemplo, un polímero descrito en la memoria descriptiva de la patente de Estados Unidos n.º 6.368.586) y composiciones en que se incorpora un inhibidor de proteasa para proteger particularmente a una preparación biofarmacéutica, en los tractos gastrointestinales, de la descomposición debido a una actividad de una proteasa.

metacrílico, y polímero y copolímeros de vinilo tales como polivinilpirrolidona.

55

Un ejemplo de un sistema que posibilita el suministro al colon es un sistema de suministro de una composición al colon por cambio de presión de tal modo que los contenidos se liberan utilizando el cambio de presión causado por la generación de gas en la fermentación bacteriana en una parte distal del estómago. Dicho sistema no está particularmente limitado, y un ejemplo más específico del mismo es una cápsula que tiene contenidos dispersados en una base de supositorio y que está recubierta con un polímero hidrófobo (por ejemplo, etil celulosa).

60

Otro ejemplo del sistema que posibilita el suministro al colon es un sistema de suministro de una composición al colon, descomponiéndose el sistema específicamente por una enzima (por ejemplo, una carbohidrato hidrolasa o una carbohidrato reductasa) presente en el colon. Dicho sistema no está particularmente limitado, y ejemplos más específicos del mismo incluyen sistemas que usan componentes alimenticios tales como polisacáridos no de almidón, amilosa, goma xantana y azopolímeros.

65

Cuando se usa como una composición farmacéutica, la composición de la presente invención puede usarse en

combinación con una composición farmacéutica ya conocida para su uso en inmunosupresión. Dicha composición farmacéutica conocida no está particularmente limitada, y puede ser al menos una composición terapéutica seleccionada del grupo que consiste en corticosteroides, mesalazina, mesalamina, sulfasalazina, derivados de sulfasalazina, fármacos inmunosupresores, ciclosporina A, mercaptopurina, azatiopurina, prednisona, metotrexato, antihistaminas, glucocorticoides, epinefrina, teofilina, cromolina de sodio, anti-leucotrienos, fármacos anti-colinérgicos para la rinitis, descongestivos anti-colinérgicos, estabilizantes de mastocitos, anticuerpos monoclonales anti-IgE, vacunas (preferiblemente vacunas usadas para vacunación donde la cantidad del alérgeno se aumenta gradualmente) y combinaciones de los mismos. Es preferible usar estas composiciones terapéuticas en combinación con la composición descrita en este documento.

10

15

20

25

30

45

5

Cuando la composición descrita en este documento se usa como un alimento o bebida, el alimento o bebida puede ser, por ejemplo, un alimento saludable, un alimento funcional, un alimento para uso saludable específico, un suplemento dietético, un alimento para pacientes o un pienso para animales. El alimento o bebida descrito en este documento puede ingerirse en las formas de las composiciones como se ha descrito anteriormente, y también puede ingerirse en las formas de diversos alimentos y bebidas. Ejemplos específicos de los alimentos y bebidas incluyen diversas bebidas tales como zumos, bebidas refrescantes, bebidas de té, preparaciones para beber, bebidas gelatinosas y bebidas funcionales; bebidas alcohólicas tales como cervezas; alimentos que contienen carbohidratos tales como productos alimenticios de arroz, fideos, panes y pastas; productos de pasta tales como embutidos de pescado, salchichas, productos de pasta de marisco; productos en bolsas sin refrigeración tales como curry, alimentos aderezados con salsas almidonadas espesas y sopas chinas; sopas; productos lácteos tales como leche, bebidas lácteas, helados, quesos y yogures; productos fermentados tales como pastas de soja fermentada, yogures, bebidas fermentadas y adobos; productos de alubias; diversos productos de confitería tales como productos occidentales de confitería incluyendo panecillos, galletas y similares, productos japoneses de confitería incluyendo bollos de mermelada de judías al vapor, gelatinas blandas de judía adzuki, y similares, caramelos, chicles, gominolas, postres fríos tales como gelatinas, flanes y postres congelados; alimentos instantáneos tales como sopas instantáneas y sopas de soja instantáneas; alimentos para microondas; y similares. Además, los ejemplos también incluyen alimentos y bebidas saludables preparados en formas de polvos, gránulos, comprimidos, cápsulas, líquidos, pastas y gelatinas. La composición descrita en este documento puede usarse para animales incluyendo seres humanos. Los animales, diferentes a los seres humanos, no están particularmente limitados, y la composición puede usarse para diversos animales de ganadería, aves de corral, mascotas, animales experimentales y similares. Ejemplos específicos de los animales incluyen cerdos, ganado vacuno, caballos, ovejas, cabras, pollos, patos salvajes, avestruces, patos domésticos, perros, gatos, conejos, hámsteres, ratones, ratas, monos y similares, pero los animales no están limitados a los mismos.

Sin el deseo de limitarse a teoría alguna, los individuos en que la abundancia relativa de bacterias pertenecientes al grupo *Firmicutes* (el grupo al que pertenecen los grupos IV y XIVa de *Clostridium*) tienen mayor ganancia de peso corporal que individuos en que la abundancia relativa de bacterias pertenecientes al grupo *Bacteroidetes* es grande. Por consiguiente, la composición descrita en este documento es capaz de condiciones la absorción de nutrientes y mejorar la eficacia de la alimentación. Desde dicho punto de vista, la composición descrita en este documento puede usarse para promover la ganancia de peso corporal, o para un pienso para animales bueno en la eficacia de alimentación.

Además, la adición de la composición descrita en este documento a un pienso para animales sin antibiótico hace posible aumentar el peso corporal de un sujeto que ingiere el pienso para animales hasta un nivel igual a o mayor que lo conseguido por piensos para animales que contienen antibiótico, y también hace posible reducir las bacterias patogénicas en el estómago hasta un nivel igual a lo conseguido por piensos para animales típicos que contienen antibiótico. Por consiguiente, la composición descrita en este documento puede usarse para un pienso para animales que no necesita la adición de antibióticos.

- Además, a diferencia de las bacterias convencionales (*Lactobacillus* y *Bifidobacteria*) en uso comercial que no son fáciles de incorporar en la producción de ganadería, la composición de la presente invención en forma de esporas puede granularse, pulverizarse o mezclarse fácilmente con un pienso para animales, y también puede añadirse al agua para beber.
- El suministro de dicho pienso para animales usando la composición descrita en este documento no está particularmente limitado, y el pienso para animales puede suministrarse a un sujeto a intervalos regulares de un modo selectivo, o puede suministrarse durante un cierto periodo (por ejemplo, en su nacimiento, durante el destete o cuando el sujeto a alimentar se reubica o traslada).
- Además, desde el punto de vista descrito anteriormente, la composición descrita en este documento puede usarse para seres humanos malnutridos. En otras palabras, también cuando el sujeto que ingiere la composición es un ser humano, la composición descrita en este documento puede usarse para promover la ganancia de peso corporal, y potenciar la absorción de energía desde los alimentos.
- El alimento o bebida puede fabricarse por una técnica de fabricación que es bien conocida en el campo técnico. Al alimento o bebida, se le puede añadir uno o más componentes (por ejemplo, un nutriente) que son eficaces para la

mejora de una función inmunitaria por el efecto inmunosupresor. Además, el alimento o bebida puede combinarse con otro componente u otro alimento funcional que muestra una función diferente de la función de la mejora de una función inmunitaria para servir de ese modo como un alimento o bebida multifuncional.

Además, la composición descrita en este documento puede incorporarse en alimentos que requieren una etapa de procesamiento que puede destruir las cepas probióticas habituales. Específicamente, las cepas probióticas más útiles de forma comercial no pueden incorporarse en alimentos que tienen que procesarse por uno cualquiera de un tratamiento térmico, almacenamiento a largo plazo, un tratamiento de congelación, un tratamiento de acción mecánica y un tratamiento de alta presión (por ejemplo, formación por extrusión o formación con rodillo). Por otro lado, a causa de la naturaleza ventajosa de la formación de esporas, la composición de la presente invención puede incorporarse fácilmente en dichos alimentos procesados.

Por ejemplo, las composiciones en forma de esporas pueden sobrevivir en un alimento seco, y pueden permanecer vivas incluso después de haberse ingerido. Asimismo, la composición descrita en este documento puede resistir procesos de esterilización a baja temperatura, típicamente procesos a una temperatura en un intervalo de 70°C hasta el punto de ebullición, ambos inclusive. Por tanto, la composición descrita en este documento puede incorporarse en todos los tipos de productos lácteos. Además, la composición descrita en este documento puede resistir el almacenamiento a largo plazo de muchos años; el procesamiento a alta temperatura tal como cocción y hervido; el procesamiento a baja temperatura tal como congelación y almacenamiento en frío; y tratamientos a alta presión tales como formación por extrusión y formación con rodillo.

Los alimentos que tienen que procesarse en dichas condiciones severas no están particularmente limitados, y ejemplos de los mismos incluyen alimentos que tienen que procesarse en un horno microondas para ser comestibles (por ejemplo, harina de avena), alimentos que tienen que cocerse para ser comestibles (por ejemplo, muffin), alimentos que tienen que someterse a un tratamiento de esterilización a alta temperatura durante un corto periodo de tiempo para ser comestibles (por ejemplo, leche), y alimentos que tienen que calentarse para poder beberse (por ejemplo, té caliente).

Cuando la composición se administra o ingiere, la cantidad de la misma para la administración o ingestión se selecciona según lo apropiado dependiendo de la edad, peso corporal, síntomas, condiciones de salud, de un sujeto, el tipo de la composición (un producto farmacéutico, un alimento o bebida, o similares) y similares. Por ejemplo, la cantidad por administración o ingestión es generalmente de 0,01 mg/kg de peso corporal a 100 mg/kg de peso corporal, y preferiblemente de 1 mg/kg de peso corporal a 10 mg/kg de peso corporal.

También se describe en este documento un producto de la composición (un producto farmacéutico, un alimento o bebida, o un reactivo) o un manual del mismo que puede proporcionarse con una nota que indique que el producto puede usarse para suprimir la inmunidad (incluyendo una nota que indique que el producto tiene un efecto inmunosupresor, y una nota que indique que el producto tiene un efecto de supresión de la proliferación o función de células T efectoras). Aquí, la "aportación al producto o el manual del mismo de una nota" significa que la nota se proporciona en un cuerpo principal, un recipiente, un envase o similar del producto, o la nota se proporciona a un manual, un prospecto, un folleto u otro material impreso, que describe información sobre el producto.

Método para inducir la proliferación o acumulación de células T reguladoras

15

20

25

55

60

Como se ha descrito anteriormente, y como se mostrará en los Ejemplos, la administración de la composición descrita en este documento a un individuo hace posible inducir la proliferación o acumulación de células T reguladoras en el individuo.

Obsérvese que el término "individuo", como se usa en este documento, no está particularmente limitado, y ejemplos del mismo incluyen seres humanos, diversos tipos de ganado, aves de corral, mascotas, animales experimentales y similares. El "individuo" puede estar en un estado saludable o un estado patológico.

Además, como se mostrará en el Ejemplo 5 a describirse posteriormente, las bacterias comensales Gram-positivas desempeñan papeles principales en la proliferación o acumulación de células T reguladoras.

Como se usa en este documento, la expresión "antibiótico contra bacterias Gram-negativas" no está particularmente limitada, y ejemplos de la misma incluyen antibióticos aminoglucosídicos (amikacina, gentamicina, kanamicina, neomicina, netilmicina, tobramicina y paromomicina), antibióticos de cefalosporina (cefaclor, cefamandol, cefoxitina, cefprozil, cefuroxima, cefixima, cefdinir, cefditoreno, cefoperazona, cefotaxima, ceftazidima, ceftibuteno, ceftizoxima, ceftriaxona y cefoxotina), sulfonamidas, ampicilina y estreptomicina. Sin el deseo de limitarse a teoría alguna, el "antibiótico contra bacterias Gram-negativas" de acuerdo con la presente invención es preferiblemente uno que reduce las bacterias Gram-negativas, y contribuye a la colonización de bacterias Gram-positivas.

Además, una composición prebiótica tal como piel de almendra, inulina, oligofructosa, rafinosa, lactulosa, pectina, hemicelulosa (tal como xiloglucano y alfa-glucanos), amilopectina y almidón resistente que no se descomponen en el tracto gastrointestinal superior y promueven el crecimiento de microbios intestinales en el tracto intestinal, así como

factores de crecimiento tales como acetil-Co A, biotina, melazas de remolacha y extractos de levadura, contribuye a la proliferación de bacterias pertenecientes al género *Clostridium*.

El "antibiótico contra bacterias Gram-negativas" descrito anteriormente y la "composición prebiótica o factor de crecimiento" descrito anteriormente pueden usarse en combinación. Dicho uso combinado no está particularmente limitado, y ejemplos del uso combinado son los siguientes: el "antibiótico contra bacterias Gram-negativas" se administra a un individuo por anticipado, y después se administra la composición de la presente invención; el "antibiótico contra bacterias Gram-negativas" y la composición de la presente invención se administran simultáneamente a un individuo; la "composición prebiótica o factor de crecimiento" se administra a un individuo por anticipado y después se administra la composición de la presente invención; la "composición prebiótica o factor de crecimiento" y la composición de la presente invención se administran simultáneamente a un individuo; la composición de la presente invención, el "antibiótico contra bacterias Gram-negativas" y la "composición prebiótica o factor de crecimiento" se administran a un individuo simultáneamente o individualmente en cualquier momento apropiado.

5

10

15

55

60

65

Además, puede administrarse una composición terapéutica a un individuo junto con al menos una sustancia seleccionada del grupo que consiste en la composición de la presente invención, el "antibiótico contra bacterias Gram-negativas" y la "composición prebiótica o factor de crecimiento".

Dicha composición terapéutica no está particularmente limitada, y puede ser al menos una composición terapéutica seleccionada del grupo que consiste en corticosteroides, mesalazina, mesalamina, sulfasalazina, derivados de sulfasalazina, fármacos inmunosupresores, ciclosporina A, mercaptopurina, azatiopurina, prednisona, metotrexato, antihistaminas, glucocorticoides, epinefrina, teofilina, cromolina de sodio, anti-leucotrienos, fármacos anticolinérgicos para la rinitis, descongestivos anti-colinérgicos, estabilizantes de mastocitos, anticuerpos monoclonales anti-lgE, vacunas (preferiblemente, vacunas usadas para vacunación donde la cantidad de un alérgeno se aumenta gradualmente) y combinaciones de los mismos. Es preferible usar estas composiciones terapéuticas en combinación con la sustancia descrita anteriormente.

Además, no hay ninguna limitación particular impuesta sobre el uso combinado de la composición terapéutica con al menos una sustancia seleccionada del grupo que consiste en la composición descrita en este documento, el "antibiótico contra bacterias Gram-negativas" y la "composición prebiótica o factor de crecimiento". Por ejemplo, la "una sustancia" y la composición terapéutica se administran por vía oral o parenteral a un individuo simultáneamente o individualmente en cualquier momento apropiado.

Además, en el "método para inducir la proliferación o acumulación de células T reguladoras" descrito anteriormente, si la administración de la composición descrita en este documento o similar realmente induce o no la proliferación o acumulación de células T reguladoras puede determinarse usando, como un índice, el aumento o refuerzo de al menos uno seleccionado del grupo que consiste en la cantidad de células T reguladoras, la relación de células T reguladoras en el grupo de células T del colon, una función de las células T reguladoras y la expresión de un marcador de células T reguladoras. Es preferible usar una medición seleccionada del grupo que consiste en la promoción de la expresión de IL-10, la promoción de la expresión de CTLA4, la promoción de la expresión de IDO y la supresión de la expresión de IL-4, como el índice de la inducción de la proliferación o acumulación de células T reguladoras.

Obsérvese que los ejemplos de un método para detectar dicha expresión incluyen la transferencia de Northern, la RT-PCR y la transferencia dot blot para la detección de expresión génica al nivel de transcripción; y el ELISA, el radioinmunoensayo, la inmunotransferencia, la inmunoprecipitación y la citometría de flujo para la detección de la expresión génica al nivel de traducción.

Por ahora, una muestra usada para medir dicho índice no está particularmente limitada, y ejemplos de la misma incluyen sangre extraída como muestra de un individuo y trozos de tejido obtenidos en una biopsia.

Método para predecir la respuesta del individuo a la composición de la presente invención y/o pronóstico del individuo

En este documento se describe un método en que se determina la cantidad absoluta o la relación de bacterias pertenecientes al género *Clostridium* en la microbiota de un individuo y, cuando la relación o el valor absoluto de las bacterias pertenecientes al género *Clostridium* está reducido en comparación con un valor basal obtenido realizando una determinación similar en un individuo en un estado saludable típico, se determina que el individuo es posiblemente sensible a la composición descrita en este documento.

En este documento se contempla un método para predecir la respuesta de un sujeto a una sustancia y/o se proporciona el pronóstico del sujeto. El método comprende medir el porcentaje o cantidades absolutas de los grupos IV y XIV de *Clostridium* en la microbiota del sujeto y compararlas con un valor basal de las mismas mediciones en un sujeto sano prototipo, donde una cantidad absoluta o nivel porcentual disminuido de los grupos IV y/o XIV de *Clostridium* indica que el sujeto puede responder favorablemente a las composiciones descritas en este documento.

El método puede comprender adicionalmente medir la composición de la microbiota del sujeto después de la administración de la sustancia, donde un aumento en el porcentaje o cantidad absoluta de *Clostridium* spp. Perteneciente a los grupos IV, XIV después de la administración de las composiciones de la presente invención respecto a antes de la administración es un indicador positivo de inmunosupresión (o inmunorregulación) potenciada. La medición de la composición de la microbiota del sujeto puede hacerse con técnicas conocidas en la técnica, tales como secuenciación del ARNr 16s.

Obsérvese que, en estos métodos, la sustancia es al menos una sustancia seleccionada del grupo que consiste en los siguientes (a) a (e):

- (a) bacterias pertenecientes al género Clostridium o una sustancia fisiológicamente activa derivada de las bacterias;
- (b) una fracción que forma esporas de una muestra fecal obtenida de un mamífero o un sobrenadante de cultivo de la fracción:
- (c) una fracción tratada con cloroformo de una muestra fecal obtenida de un mamífero o un sobrenadante de cultivo de la fracción;
  - (d) un antibiótico contra bacterias Gram-negativas; y

10

15

20

30

35

40

45

50

60

65

(e) al menos una sustancia seleccionada del grupo que consiste en piel de almendra, inulina, oligofructosa, rafinosa, lactulosa, pectina, hemicelulosa (tal como xiloglucano y alfa-glucanos), amilopectina, acetil-Co A, biotina, melazas de remolacha, extractos de levadura y almidón resistente.

Método para inhibir la proliferación o acumulación de células T reguladoras

Como se mostrará en el Ejemplo 5 a describirse posteriormente, las bacterias comensales Gram-positivas tienen papeles principales en la proliferación o acumulación de células T reguladoras. Por consiguiente, en este documento se describe un método para inhibir la proliferación o acumulación de células T reguladoras en un individuo, comprendiendo el método una etapa de administrar un antibiótico contra bacterias Gram-positivas al individuo.

Como se usa en este documento, la expresión "antibiótico contra bacterias Gram-positivas" no está particularmente limitado, y ejemplos de los mismos incluyen antibióticos de cefalosporina (cefalexina, cefuroxima, cefadroxil, cefazolina, cefalotina, cefaclor, cefamandol, cefoxitina, cefprozil y ceftobiprol); antibióticos de fluoroquinolona (cipro, Levaquin, floxina, tequina, avelox y norflox); antibióticos de tetraciclina (tetraciclina, minociclina, oxitetraciclina y doxiciclina); antibióticos de penicilina (amoxicilina, ampicilina, penicilina V, dicloxacilina, carbenicilina, vancomicina y meticilina); y antibióticos de carbapenem (ertapenem, doripenem, imipenem/cilastatina y meropenem).

Como se ha descrito anteriormente, el término "individuo", como se usa en este documento no está particularmente limitado, y ejemplos del mismo incluyen seres humanos, diversos tipos de ganado, aves de corral, mascotas, animales experimentales y similares. El "individuo" puede estar en un estado saludable o un estado patológico. Dicho estado patológico no está particularmente limitado, y ejemplos del mismo incluyen estado de estar sometido a inmunoterapia para el cáncer y de padecer una enfermedad infecciosa.

Además, como otro modo del "método para inhibir la proliferación o acumulación de células T reguladoras" descrito en este documento, está un método para inhibir la proliferación o acumulación de células T reguladoras en un individuo, comprendiendo el método una etapa de administrar al individuo uno cualquiera de un anticuerpo, un fragmento de anticuerpo y un péptido, que son contra un antígeno que es al menos una sustancia seleccionada del grupo que consiste en los siguientes (a) a (c):

- (a) bacterias pertenecientes al género Clostridium o una sustancia fisiológicamente activa derivada de las bacterias;
- (b) una fracción que forma esporas de una muestra fecal obtenida de un mamífero o un sobrenadante de cultivo de la fracción; y
- (c) una fracción tratada con cloroformo de una muestra fecal obtenida de un mamífero o un sobrenadante de cultivo de la fracción.

Composición de vacuna y método para tratar o prevenir enfermedad infecciosa o enfermedad autoinmunitaria usando la composición de vacuna

Como se ha descrito anteriormente, y como se mostrará en el Ejemplo 15 a describirse posteriormente, la inducción de células Treg en el colon por *Clostridium* tiene un papel importante en las respuestas inmunitarias locales y sistémicas. Por consiguiente, también se describe en este documento una "composición de vacuna que comprende al menos una sustancia seleccionada del grupo que consiste en los siguientes (a) a (c): (a) bacterias pertenecientes al género *Clostridium*; (b) una espora de bacterias en una fracción que forma esporas de una muestra fecal obtenida de un mamífero; y (c) bacterias en una fracción tratada con cloroformo de una muestra fecal obtenida de un mamífero" y un "método para tratar, ayudar a tratar, reducir la gravedad de o prevenir al menos una enfermedad seleccionada de enfermedades infecciosas y enfermedades autoinmunitarias en un individual, comprendiendo el método administrar la composición de vacuna al individuo".

Obsérvese que dichas "enfermedades autoinmunitarias" no están particularmente limitadas, y ejemplos de las mismas incluyen las descritas como los "ejemplos específicos de enfermedades diana" en <composición que tiene efecto de inducción de la proliferación o acumulación de células T reguladoras>. Las "enfermedades infecciosas" tampoco están particularmente limitadas, y ejemplos de las mismas incluyen enfermedades infecciosas asociadas con "patógenos infecciosos" descritos como el "ejemplo de patógenos infecciosos" en <composición que tiene efecto de inducción de la proliferación o acumulación de células T reguladoras>.

Método para seleccionar un compuesto que tiene actividad de promover la proliferación o acumulación de células T reguladoras

10

15

20

25

30

5

En este documento también se describe un método para seleccionar un compuesto que tiene una actividad de promover la proliferación o acumulación de células T reguladoras, comprendiendo el método:

- (1) preparar una sustancia de ensayo de al menos una sustancia seleccionada del grupo que consiste en los siguientes (a) a (c):
- (a) bacterias pertenecientes al género Clostridium o una sustancia fisiológicamente activa derivada de las bacterias:
- (b) una fracción que forma esporas de una muestra fecal obtenida de un mamífero o un sobrenadante de cultivo de la fracción; y
- (c) una fracción tratada con cloroformo de una muestra fecal obtenida de un mamífero o un sobrenadante de cultivo de la fracción.
- (2) preparar mamíferos no humanos en que tiene que expresarse un gen indicador bajo el control de la expresión del gen de IL-10;
  - (3) poner la sustancia de ensayo en contacto con el mamífero no humano;
- (4) después del contacto con la sustancia de ensayo, detectar células que expresan el gen indicador en un grupo de células CD4<sup>+</sup> Foxp3<sup>+</sup> del mamífero no humano, y determinar la cantidad de células en el grupo de células CD4<sup>+</sup> Foxp3<sup>+</sup> que expresan el gen indicador o una relación de células en el grupo de células CD4<sup>+</sup> Foxp3<sup>+</sup> que expresan el gen indicador;
- (5) detectar células que expresan el gen indicador en un grupo de células CD4<sup>+</sup> Foxp3<sup>+</sup> del mamífero no humano que no se ha puesto en contacto con la sustancia de ensayo, y determinar la cantidad de células en el grupo de células CD4<sup>+</sup> Foxp3<sup>+</sup> que expresan el gen indicador o una relación de células en el grupo de células CD4<sup>+</sup> Foxp3<sup>+</sup> que expresan el gen indicador; y
- (6) comparar las cantidades absolutas o las relaciones determinadas en la etapa (4) con la cantidad o la relación determinada en (5), y determinar, cuando la cantidad o la relación determinada en (4) es mayor de la determinada en (5), que la sustancia de ensayo es un compuesto que promueve la proliferación o acumulación de células Treg.

35

40

45

La expresión "sustancia de ensayo", como se usa en este documento, no está particularmente limitada, siempre que la sustancia de ensayo se una sustancia preparada a partir de al menos una sustancia seleccionada del grupo que consiste en las sustancias (a) a (c). Ejemplos de la sustancia de ensayo incluyen proteínas, polisacáridos, lípidos y ácidos nucleicos que se obtienen de al menos una sustancia seleccionada del grupo que consiste en las sustancias (a) a (c) descritas anteriormente.

La expresión "mamífero no humano en que tiene que expresarse un gen indicador bajo el control de la expresión del gen de IL-10", como se usa en este documento, no está particularmente limitada, siempre que el mamífero no humano sea un mamífero no humano que tenga un gen indicador cuya expresión está controlada por una región de control de la expresión del gen de IL-10 (por ejemplo, un promotor o un potenciador). Ejemplos de dicho gen indicador incluyen genes que codifican proteínas fluorescentes (por ejemplo, GFP) y genes que codifican luciferasa.

Como "mamífero no humano en que tiene que expresarse un gen indicador bajo el control de la expresión del gen de IL-10" de acuerdo con la presente invención, puede usarse preferiblemente un ratón <u>II10</u> venus a mostrarse posteriormente en los Ejemplos.

50

60

65

El término "contacto", como se usa en este documento, no está particularmente limitado, y ejemplos del mismo incluyen administración de la sustancia de ensayo al mamífero no humano por vía oral o parenteral (por ejemplo, inyección intraperitoneal o inyección intravenosa).

55 En este documento también se describe un mamífero no humano que se usa para el método, y en que el gen indicador tiene que expresarse bajo el control de la expresión del gen de IL-10.

Además, en este documento también se describe un método para aislar, de una muestra de bacterias pertenecientes al género *Clostridium*, un compuesto que tiene una actividad de promover la proliferación o acumulación de células T reguladoras, comprendiendo el método las siguientes etapas (1) a (3):

- (1) preparar un ADN genómico de la muestra de bacterias pertenecientes al género Clostridium;
- (2) insertar el ADN genómico en un sistema de clonación, y preparar una genoteca derivada de la muestra de bacterias pertenecientes al género *Clostridium*; y
- (3) aislar un compuesto que tiene una actividad de promover la proliferación o acumulación de células T reguladoras, mediante el uso de la genoteca obtenida en la etapa (2).

En dichas etapas, los métodos para la preparación y el aislamiento no están particularmente limitados, y pueden usarse técnicas conocidas para un sistema *in vitro* o *in vivo* según lo apropiado. Además, el compuesto aislado por este método no está particularmente limitado, y ejemplos del mismo incluyen ácidos nucleicos (por ejemplo, un ADN, un ARNm y un ARNr) derivado de bacterias pertenecientes al género *Clostridium*, así como polipéptidos y proteínas derivadas de las bacterias pertenecientes al género *Clostridium*.

En este documento también se describe un método para determinar la composición de la microbiota en un individuo, donde el aumento en la relación o la cantidad absoluta de bacterias pertenecientes al género *Clostridium* después de la administración de la composición descrita en este documento al individuo con respecto a la relación o la cantidad absoluta antes de la administración se usa como un índice de inmunosupresión aumentada. En dicho método, el método para determinar la composición de la microbiota no está particularmente limitado, y pueden usarse técnicas conocidas (por ejemplo, secuenciación de ARNr 16S) según lo apropiado.

En este documento también se describe un método para medir la diferenciación de células Treg, donde el aumento en la diferenciación de células Treg en un individuo después de la administración de la composición descrita en este documento al individual con respecto a antes de la administración se usa como un índice de inmunosupresión (o inmunorregulación) aumentada.

Además, la composición descrita en este documento también puede administrarse a un individuo en tratamiento con antibiótico. La cronología de la administración no está particularmente limitada, y la composición puede administrarse antes o simultáneamente con el tratamiento antibiótico, por ejemplo. Por ahora, la composición se administra preferiblemente en forma de espora desde el punto de vista de la resistencia a antibióticos.

Además, en un modo preferido de dicha administración, la composición descrita en este documento se administra después o simultáneamente con la administración de un antibiótico contra bacterias Gram-positivas, por ejemplo. Obsérvese que dicho "antibiótico contra bacterias Gram-positivas" no está particularmente limitado, y ejemplos del mismo incluyen antibióticos de cefalosporina (cefalexina, cefuroxima, cefadroxil, cefazolina, cefalotina, cefaclor, cefamandol, cefoxitina, cefprozil y ceftobiprol); antibióticos de fluoroquinolona (cipro, Levaquin, floxina, tequina, avelox y norflox); antibióticos de tetraciclina (tetraciclina, minociclina, oxitetraciclina y doxiciclina); antibióticos de penicilina (amoxicilina, ampicilina, penicilina V, dicloxacilina, carbenicilina, vancomicina y meticilina); y antibióticos de carbapenem (ertapenem, doripenem, imipenem/cilastatina y meropenem).

Por ahora, en otro modo preferido de dicha administración, la composición descrita en este documento se administra después (o simultáneamente con) un tratamiento usando vancomicina, metronidazol, linezolid, ramoplanina o fidaxomicina, por ejemplo.

#### **Ejemplos**

35

45

5

10

A partir de ahora en este documento, la presente invención se describe más específicamente sobre la base de los Ejemplos. Sin embargo, la presente invención no está limitada a los Ejemplos a continuación.

Obsérvese que los ratones usados en los Ejemplos se prepararon o produjeron del siguiente modo. En la siguiente descripción, los ratones pueden mencionarse con "SPF" o "GF" adjunto delante de los mismos. Estos "SPF" y "GF" indica que los ratones se mantuvieron en ausencia de bacterias patogénicas específicas (libres de patógenos específicos, SPF), y que los ratones se mantuvieron en condiciones libres de gérmenes (GF), respectivamente.

#### Ratones

Se adquirieron ratones C57BL/6, Balb/c e IQI mantenidos en condiciones SPF o GF de Sankyo Labo Service Corporation, Inc. (Japón), JAPAN SLC, INC. (Japón), CLEA Japan, Inc. (Japón) o The Jackson Laboratory (EE. UU.). Se criaron ratones GF y ratones gnotobióticos y se mantuvieron en la instalación gnotobiótica de The University of Tokyo, Yakult Central Institute for Microbiological Research, o Sankyo Labo Service Corporation, Inc. Se produjeron ratones Myd88<sup>-/-</sup>, Rip2<sup>-/-</sup> y Card9<sup>-/-</sup> como se describe en los documentos no de patente 1 a 3, y se retrocruzaron durante 8 generaciones o más, de modo que se consiguiera un fondo genético C57BL/6. Se adquirieron ratones Foxp3<sup>eGFP</sup> de Jackson Laboratory.

## Ratones II10<sup>venus</sup>

Para formar un locus bicistrónico que codifique tanto II10 como Venus bajo el control de un promotor II10, primero se creó una construcción de dirección. Específicamente, un casete (casete de IRES-Venus-señal poliA de SV40, remítase al documento no de patente 4) que estaba hecho de un sitio interno de entrada al ribosoma (IRES), una proteína fluorescente amarilla (Venus) y una señal poliA de SV40 (SV40 poliA) y que estaba dispuesto cerca de un gen de resistencia a neomicina (neo), se insertó entre un codón de parada y una señal poliA (Exón 5) de un gen II10. A continuación, la construcción de dirección obtenida se usó para causar recombinación homóloga con la región génica II10 en el genoma de los ratones. Por tanto, se produjeron ratones II10 venus que tenían alelos II10 venus (remítase a la Fig. 1). Obsérvese que, en la Fig. 1 "tk" representa un gen que codifica la timidina quinasa, "neo"

representa el gen de resistencia a neomicina y "BamH1" representa un sitio de escisión por la enzima de restricción BamH1.

- Se extrajeron los ADN genómicos de los ratones <u>II10</u> venus, se trataron con BamH1, y se sometieron a transferencia de Southern mediante el uso de una sonda mostrada en la Fig. 1. La Fig. 2 muestra los resultados obtenidos. Se detectaron alelos de tipo silvestre e <u>II10</u> como bandas que tenían tamaños de 19 kb y 5,5 kb, respectivamente. Por tanto, como es evidente a partir de los resultados mostrados en la Fig. 2, se descubrió que la recombinación homóloga mostrada en la Fig. 1 sucedía en el genoma en los ratones <u>II10</u> venus.
- Además, se clasificaron células CD4<sup>+</sup> Venus<sup>-</sup> o células CD4<sup>+</sup> Venus<sup>+</sup> en la lamina propria del colon de los ratones <a href="III0">III0</a> mediante el uso de un FACSAria. Después, se realizó RT-PCR a tiempo real en un sistema ABI 7300 por un método a describirse posteriormente, para determinar la cantidad de ARNm de IL-10 expresado. Las Fig. 3 y 4 muestran los resultados obtenidos. Como es evidente a partir de los resultados mostrados en las Fig. 3 y 4, se descubrió que, como el desarrollo del ARNm de IL-10 se detectaba solamente en las células CD4<sup>+</sup> Venus<sup>+</sup>, la expresión del ARNm de IL-10 en los ratones <a href="III0">III0</a> estaba reflejada correctamente en la expresión de Venus. Obsérvese que los estados libres de gérmenes de dichos ratones <a href="III0">III0</a> venus se establecieron en el Central Institute for Experimental Animals (Kawasaki, Japón). Los ratones <a href="III0">III0</a> venus en los estados libres de gérmenes se mantuvieron en aislantes de vinilo en Sankyo Labo Service Corporation, Inc. (Tokio, Japón), y se usaron en los siguientes Ejemplos.
- 20 Por ahora, los experimentos y análisis en los Ejemplos se realizaron del siguiente modo.

Método de colonización de ratones con bacterias y análisis de los mismos

De acuerdo con la descripción de los documentos no de patente 5 y 6, se produjeron ratones en que se colonizaron SFB o *Clostridium*. Se disolvieron los contenidos cecales o las heces de los ratones gnotobióticos obtenidos en agua estéril o una solución anaeróbica de dilución. Los contenidos cecales o heces disueltos tal cual o después de un tratamiento con cloroformo se administraron por vía oral a ratones GF. Se cultivaron por separado entre sí tres cepas de *Lactobacillus* y 16 cepas de *Bacteroides* en un medio de agar BL o EG de un modo anaeróbico. Se recogieron las bacterias cultivadas, se suspendieron en un caldo TS anaeróbico, y se administraron por vía oral de forma forzada a ratones GF. El estado de la colonización de las bacterias en los ratones se evaluó por observación microscópica realizada en una preparación de frotis de gránulos fecales.

Separación de células y citometría de flujo

35 Para aislar los linfocitos de la lamina propria del colon y la lamina propria del intestino delgado, se recogieron el intestino delgado y el colon, y se cortaron abiertos longitudinalmente. Después, se lavaron el contenido fecal y similares en su interior para retirarlos. Posteriormente, el intestino delgado y el colon se agitaron en HBSS que contenía 5 mM de EDTA a 37°C durante 20 minutos. Después de la retirada del epitelio y el tejido graso, los tejidos intestinales se cortaron en trozos pequeños. A los trozos pequeños, se les añadieron RPMI 1640 (suero bovino fetal 40 (FBS) al 4%, 1 mg/ml de colagenasa D, 0,5 mg/ml de dispasa y 40 μg/ml de DNasal (todos los cuales se fabricaron por Roche Diagnostics K.K.)), y la mezcla se agitó en un baño de agua mantenido a 37°C durante 1 hora. Los tejidos digeridos se lavaron con HBSS que contenía 5 mM de EDTA, y se resuspendieron en 5 ml de percoll al 40% (GE Healthcare). La suspensión se sobrepuso sobre 2,5 ml de percoll al 80% en un tubo Falcon de 15 ml. Después, se realizó centrifugación a temperatura ambiente y a 2000 rpm durante 20 minutos para realizar la separación de las 45 células por centrifugación en gradiente de densidad de percoll. Se recogieron las células en la superficie de contacto, y se usaron como linfocitos de la lamina propria. Las células recogidas se suspendieron en un tampón de tinción (PBS, FBS al 2%, EDTA 2 mM, y NaN<sub>3</sub> al 0,09%), y se tiñeron mediante el uso de un anticuerpo anti-CD4 (RM4-5, BD Biosciences) marcado con PE o PE-Cy7. Después de la tinción de CD4, se tiñó Foxp3 en las células mediante el uso del Cytofix/Cytoperm Kit Plus con Golgistop (BD Biosciences) o el conjunto de tampón de tinción de Foxp3 (eBioscience), así como un anticuerpo anti-Foxp3 (FJK-16s, eBioscience) marcado con Alexa647. Se realizó 50 citometría de flujo mediante el uso de un FACScant II, y los datos se analizaron por el software FlowJo (TreeStar Inc.). La clasificación de las células se realizó mediante el uso de un FACSAria.

#### RT-PCR a tiempo real

55

60

65

A partir de un ARN preparado usando el RNeasy Mini Kit (Qiagen), se sintetizó un ADNc mediante el uso de una transcriptasa inversa MMV (Promega KK). El ADNc obtenido se analizó por RT-PCR a tiempo real usando Power SYBR Green PCR Master Mix (Applied Biosystems) y el sistema de PCR a tiempo real ABI 7300 (Applied Biosystems), o RT-PCR a tiempo real usando SYBR Premix Ex Taq (TAKARA) y Light Cycler 480. Para cada muestra, se normalizó un valor obtenido para la cantidad de GAPDH. Se diseñó un conjunto de cebadores usando Primer Express versión 3.0 (Applied Biosystems), y se seleccionaron los que mostraban un 90% o mayor identidad de secuencia en una evaluación inicial. El conjunto de cebadores usado fue el siguiente: Foxp3

5'-GGCAATAGTTCCTTCCCAGAGTT-3' (SEQ ID NO: 1)

5'-GGGTCGCATATTGTGGTACTTG-3' (SEQ ID NO: 2)

CTLA4

5'-CCTTTTGTAGCCCTGCTCACTCT-3' (SEQ ID NO: 3) 5'-GGGTCACCTGTATGGCTTCAG-3' (SEQ ID NO: 4)

5 GITR

5'-TCAGTGCAAGATCTGCAAGCA-3' (SEQ ID NO: 5) 5'-ACACCGGAAGCCAAACACA-3' (SEQ ID NO: 6)

IL-10

5'-GATTTTAATAAGCTCCAAGACCAAGGT-3' (SEQ ID NO: 7) 5'-CTTCTATGCAGTTGATGAAGATGTCAA-3' (SEQ ID NO: 8)

**GAPDH** 

5'-CCTCGTCCCGTAGACAAAATG-3' (SEQ ID NO: 9)

15 5'-TCTCCACTTTGCCACTGCAA-3' (SEQ ID NO: 10)

Mmp2

5'-GGACATTGTCTTTGATGGCA-3' (SEQ ID NO: 11) 5'-CTTGTCACGTGGTGTCACTG-3' (SEQ ID NO: 12)

20

5'-TCTCTGGACGTCAAATGTGG-3' (SEQ ID NO: 13) 5'-GCTGAACAGCAGAGCCTTC-3' (SEQ ID NO: 14)

25 Mmp13

5'-AGGTCTGGATCACTCCAAGG-3' (SEQ ID NO: 15) 5'-TCGCCTGGACCATAAAGAA-3' (SEQ ID NO: 16)

ldo1

30 5'-AGAGGATGCGTGACTTTGTG-3' (SEQ ID NO: 17) 5'-ATACAGCAGACCTTCTGGCA-3' (SEQ ID NO: 18).

Preparación y cultivo de células epiteliales del intestino grueso (IEC)

En primer lugar, se recogió el colon, se cortó abierto longitudinalmente, y se aclaró con PBS. Posteriormente, el colon se trató con ditiotreitol (DTT) 1 mM a 37°C durante 30 minutos en un agitador, y después se agitó con vórtice durante un minuto para alterar la integridad epitelial. Las IEC liberadas se recogieron, y se suspendieron en 5 ml de percoll al 20%. La suspensión se sobrepuso sobre 2,5 ml de percoll al 80% en un tubo Falcon de 15 ml. Después, el tubo se centrifugó a 25°C y 780 g durante 20 minutos para realizar la separación de células por centrifugación en gradiente de densidad de percoll. Se recogieron las células en la superficie de contacto, y se usaron como IEC colónicas (pureza: 90% o mayor, viabilidad: 95%). Las IEC obtenidas así recogidas se suspendieron en RPMI que contenía FBS al 10%, y se cultivaron 1 x 10<sup>5</sup> células de las IEC en una placa de 24 pocillos durante 24 horas. Después de ello, se recogió el sobrenadante de cultivo, y se midió para el nivel de TGF-β1 activo por ELISA (Promega).

45

50

60

65

Por ahora, para cultivar células T *in vitro*, se cultivaron 1,5 x 10<sup>5</sup> células T CD4<sup>+</sup> esplénicas purificadas por MACS en cada pocillo de una placa de 96 pocillos de fondo redondo, junto con un medio condicionado al 50% en que se cultivaron las IEC aisladas de ratones GF o ratones colonizados con *Clostridium*, y con 25 ng/ml de hIL-2 (Peprotech), en presencia o ausencia de 25 μg/ml de un anticuerpo anti-TGF-β (R&D). Obsérvese que 10 μg/ml de un anticuerpo anti-CD3 y un anticuerpo anti-CD28 (BD Bioscience) se unieron a la placa de fondo redondo. Después de un cultivo de 5 días, se recogieron las células T CD4<sup>+</sup>, y se sometieron a una PCR a tiempo real.

Modelo experimental de colitis

Una suspensión fecal de ratones colonizados con *Clostridium* se administró por vía oral a ratones C57BL/6 (2 semanas de edad), y se hicieron crecer en un entorno convencional durante seis semanas.

Para preparar un modelo de colitis inducida por DSS, se dio DSS al 2% (peso/vol) (calidad de reactivo, sal DSS, peso molecular = 36 a 50 kD, fabricado por MP Biomedicals), junto con el agua para beber, a los ratones durante seis días.

Por ahora, para preparar un modelo de colitis inducida por oxazolona, los ratones se presensibilizaron por aplicación transdérmica, al ratón, de 150 µl de una solución de oxazolona (4-etoximetileno-2-fenil-2-oxazolin-5-ona, Sigma-Aldrich) al 3%/etanol al 100%. Cinco días después de eso, se administraron por vía intrarrectal 150 µl de una solución de oxazolona al 1%/etanol al 50% de nuevo a los ratones presensibilizados bajo ligera anestesia. Obsérvese que la administración intrarrectal se realizó usando un catéter 3,5F.

Cada ratón se analizó diariamente para el peso corporal, sangre oculta, hemorragia visible a simple vista (sangre manifiesta), y la dureza de las deposiciones. Además, se evaluó numéricamente el porcentaje de pérdida de peso corporal, la hemorragia intestinal (sin hemorragia, sangre oculta (hemocult+), o hemorragia visible a simple vista), y la dureza de las deposiciones (deposición normal, deposición suelta o diarrea), y se calculó el índice de actividad de enfermedad (DAI) de acuerdo con la descripción en "S. Wirtz, C. Neufert, B. Weigmann, M. F. Neurath, Nat Protoc 2, 541 (2007)".

#### Reacción de IgE específica de OVA

Se inocularon ratones BALB/c SPF con una suspensión fecal de ratones colonizados con *Clostridium* (2 semanas de edad), y se hicieron crecer en un entorno convencional. Después, se inyectó por vía intraperitoneal 1 μg de OVA (grado V, Sigma) y 2 mg de alumbre (Thermo Scientific), 0,2 ml en total, a los ratones (en sus edades de 4 semanas y 6 semanas). Se recogieron los sueros cada semana de los ratones en la base de su cola, y se midió la IgE específica de OVA por ELISA (Chondrex). Después, en sus edades de 8 semanas, se recogieron células esplénicas, se inocularon en una placa de 96 pocillos a 1 x 10<sup>6</sup> células por pocillo, y se estimularon con OVA (100 μg/ml) durante tres días. Después de ello, se recogió el sobrenadante de cultivo, y se midió para los niveles de IL-4 e IL-10 por ELISA (R&D).

#### 20 Análisis estadístico

Se evaluó la diferencia entre los grupos de control y experimentales por el ensayo t de Student.

## Ejemplo 1

25

10

15

30

35

45

En primer lugar, se investigó si la acumulación de células T reguladoras (células Treg) en la lamina propria del colon era dependiente o no de bacterias comensales. Específicamente, se aislaron linfocitos de ganglios linfáticos periféricos (pLN) de ratones Balb/c criados en ausencia de bacterias patogénicas específicas (SPF) o de la lamina propria del colon o el intestino delgado (SI) de los ratones. Se tiñeron CD4 y Foxp3 por anticuerpos. Después, se analizó la relación de células Foxp3<sup>+</sup> en linfocitos CD4<sup>+</sup> por citometría de flujo. La Fig. 5 muestra los resultados obtenidos. Como es evidente a partir de los resultados mostrados en la Fig. 5, se descubrió que había células Treg Foxp3<sup>+</sup> presentes a una alta frecuencia en la lamina propria de los tractos gastrointestinales, especialmente en la lamina propria del colon, de los ratones mantenidos en el entorno libre de microorganismos patogénicos específicos (SPF). Además, también se descubrió que la cantidad de células Treg Foxp3<sup>+</sup> en la lamina propria del colon aumentaba gradualmente hasta tres meses después de su nacimiento, mientras que la cantidad de células Treg Foxp3<sup>+</sup> en los ganglios linfáticos periféricos era básicamente constante desde el momento de dos semanas después de su nacimiento.

#### Ejemplo 2

40

A continuación, se investigó si la acumulación temporal de las células Treg en el colon encontradas en el Ejemplo 1 tenía o no una relación con la colonización de la microbiota comensal intestinal. Específicamente, se analizó la expresión de CD4 y la expresión de Foxp3 en linfocitos aislados del intestino delgado, el colon y los ganglios linfáticos periféricos de ratones criados en un entorno libre de gérmenes (GF) o SPF (8 semanas de edad: ratones Balb/c, ratones IQI y ratones C57BL/6). Se obtuvieron resultados similares en tres o más experimentos independientes. Las Fig. 6 y 7 muestran los resultados obtenidos. Obsérvese que, en la Fig. 7, cada círculo blanco representa la cantidad absoluta de células CD4<sup>+</sup> Foxp3<sup>+</sup> en un ratón individual, y las barras de error representan las desviaciones típicas (SD).

- Además, se recogieron linfocitos de la lamina propria de ratones SPF y ratones GF (ratones Balb/c o ratones C57BL/6). Se tiñeron CD4 y Foxp3 con anticuerpos. Después, los linfocitos de la lamina propria se analizaron por FACS. La Fig. 8 muestra los resultados obtenidos. Obsérvese que, en la Fig. 8 cada círculo blanco representa la cantidad absoluta de células CD4<sup>+</sup> Foxp3<sup>+</sup> en un ratón individual, \*\* indica que "P < 0,001", y \* indica que "P < 0,01".
- Además, se aislaron linfocitos de la lamina propria del colon, la lamina propria del intestino delgado (SI), placas de Peyer (PP) y ganglios linfáticos mesentéricos (MLN) de ratones (ratones SPF C57BL/6) a los que se habían administrado por vía oral antibióticos con agua durante ocho semanas. Se tiñeron CD4 y Foxp3 con anticuerpos. Después, los linfocitos se analizaron por FACS. Se obtuvieron resultados similares en dos o más experimentos independientes. La Fig. 9 muestra los resultados obtenidos (la relación de las células Foxp3<sup>+</sup> en las células CD4<sup>+</sup> de un ratón individual). Obsérvese que los siguientes antibióticos se usaron en combinación de acuerdo con la

descripción en el siguiente documento: ampicilina (A; 500 mg/l, Sigma)

vancomicina (V; 500 mg/l, NACALAI TESQUE, INC.)

metronidazol (M; 1 g/l, NACALAI TESQUE, INC.)

65 neomicina (N; 1 g/l, NACALAI TESQUE, INC.)

Rakoff-Nahoum, J. Paglino, F. Eslami-Varzaneh, S. Edberg, R. Medzhitov, Cell 118, 229 (23 de julio de 2004) Fagarasan et al., Science 298, 1424 (15 de noviembre de 2002)

En la Fig. 9, cada círculo blanco representa la cantidad absoluta de las células CD4<sup>+</sup> Foxp3<sup>+</sup> en un ratón individual, cada barra horizontal representa el valor promedio de las cantidades absolutas, \* indica que "P < 0,01" y "AVMN" representa los tipos de antibióticos administrados usando las primeras letras de los antibióticos.

Como es evidente a partir de los resultados mostrados en las Fig. 6 a 9, las frecuencias y las cantidades absolutas de células Foxp3<sup>+</sup> CD4<sup>+</sup> en el intestino delgado y los ganglios linfáticos periféricos de los ratones GF fueron iguales a o mayores de las de los ratones SPF (remítase a las Fig. 6 a 8). Además, las cantidades de las células Treg en la lamina propria del intestino delgado, las placas de Peyer y los ganglios linfáticos mesentéricos de los ratones SPF a los que se habían administrado por vía oral los antibióticos durante ocho semanas eran iguales a o mayores de las de los ratones SPF (remítase a la Fig. 9). Por ahora, la cantidad de las células Foxp3<sup>+</sup> CD4<sup>+</sup> en la lamina propria del colon de los ratones GF estaba significativamente disminuida en comparación con la de los ratones SPF (remítase a las Fig. 6 y 7). Esta disminución se observó habitualmente entre ratones de diferentes fondos genéticos (Balb/c, IQI y C57BL/6), así como entre ratones criados en diferentes instalaciones animales (remítase a la Fig. 7 para los datos respecto a los diferentes fondos genéticos, los datos respecto a los ratones criados en las diferentes instalaciones animales no se muestran en los dibujos). Además, también se demostró que la cantidad de células Treg en la lamina propria del colon de los ratones SPF C57BL/6 a los que se administraron los antibióticos estaba significativamente disminuida (remítase a la Fig. 9).

#### Ejemplo 3

5

10

15

20

A continuación, se comprobó directamente si la disminución en la cantidad de las células Treg en la lamina propria del colon de los ratones GF mostrada en el Ejemplo 2 estaba atribuida o no a la ausencia de microbiota. Específicamente, se administró por vía oral una suspensión fecal de ratones B6 SPF adquiridos de The Jackson Laboratory a ratones GF-IQI (convencional). Tres semanas después de la administración, se aislaron linfocitos de la lamina propria del colon, y se analizó la expresión de Foxp3 en linfocitos CD4<sup>+</sup>. Las Fig. 10 y 11 muestran los resultados obtenidos. Obsérvese que cada círculo blanco en la Fig. 11 representa la cantidad absoluta de células CD4<sup>+</sup> Foxp3<sup>+</sup> en un ratón individual, las barras de error representan desviaciones típicas (SD), \* indica que "P < 0,01" en ensayo t de Student, y \*\* indica que "P < 0,001". Como es evidente a partir de los resultados mostrados en las Fig. 10 y 11, la cantidad de células Treg en la lamina propria del intestino delgado no cambiaba. Sin embargo, la cantidad de las células Treg en la lamina propria del colon aumentaba significativamente. Por tanto, se demostró que la interacción microbiana con el hospedador desempeñaba un papel importante en la acumulación de células Treg Foxp3<sup>+</sup> en la lamina propria del colon, mientras que la acumulación de las células Treg en la lamina propria del intestino delgado tenía un mecanismo diferente.

#### Ejemplo 4

40 A continuación, se investigó la relación entre los tejidos linfoides asociados al intestino de ratones y se investigó la cantidad de células Foxp3<sup>+</sup> en la lamina propria del colon de los ratones de acuerdo con el método descrito en M. N. Kweon et al., J Immunol 174, 4365 (1 de abril de 2005). Específicamente, se inyectaron por vía intraperitoneal 100 μg de una proteína recombinante de dominio extracelular (una proteína de fusión (LTβR-lg) entre un receptor de linfotoxina β (LTβR) y una región Fc de IgG1 humana, remítase a Honda et al., J Exp Med 193, 621 (5 de marzo de 45 2001)) en ratones C57BL/6 preñadas 14 días después de la concepción. Se inyecto de nuevo LTβR-lg por vía intraperitoneal en los fetos obtenidos de dichos ratones, de modo que se produjeron ratones de los que se habían retirado completamente los folículos linfoides aislados (ILF), las placas de Peyer (PP) y las placas colónicas (CP). Después, se analizaron las relaciones de células Foxp3<sup>+</sup> en células CD4<sup>+</sup> en la lamina propria del colon de los ratones tratados con LTβR-Ig, y ratones tratados con IgG de rata (control) por FACS. La Fig. 12 muestra los 50 resultados obtenidos. Obsérvese que, en Fig. 12 cada círculo blanco representa la relación de células Foxp3<sup>+</sup> en un ratón individual, y las barras de error representan desviaciones típicas. Como es evidente a partir de los resultados mostrados en la Fig. 12, se descubrió que la relación de las células Foxp3<sup>+</sup> en la lamina propria del colon de los ratones deficientes en folículos linfoides aislados, placas de Peyer y placas colónicas (los ratones tratados con LTβR-Ig) aumentaba bastante. Por consiguiente, se sugirió que la disminución en la cantidad de las células Treg en la lamina propria del colon de los ratones GF y los ratones tratados con los antibióticos estaba causada porque no 55 sucedía la transmisión de señales específicas que promueve la acumulación de células Treg en la lamina propria del colon y que está causada por los microbios intestinales, en lugar de simplemente a causa de un efecto secundario de tejidos linfoides desorganizados asociados al intestino.

#### 60 Ejemplo 5

65

Para investigar si una intestinal flora específica inducía o no la acumulación de células Treg del colon, se administró vancomicina como antibiótico contra bacterias Gram-positivas o polimixina B como antibiótico contra bacterias Gram-negativas a ratones SPF (de 4 semanas de edad) durante cuatro semanas, y se analizaron para la relación de células Foxp3<sup>+</sup> en el grupo de células CD4<sup>+</sup> ([%] Foxp3<sup>+</sup> en CD4). La Fig. 30 muestra los resultados obtenidos. Obsérvese que, en la Fig. 30, "SPF" indicia el resultado de ratones SPF (control), "poli B" indica el resultado de los

ratones SPF a los que se administró polimixina B y "Vanco." Indica el resultado de los ratones SPF a los que se administró vancomicina. Por ahora, \* indica que "P < 0,01".

Como es evidente a partir de los resultados mostrados en la Fig. 30, la cantidad de células Treg en el colon de los ratones a los que se administró vancomicina estaba marcadamente disminuida en comparación con la del control. En contraste, no se observó influencia sobre la cantidad de células Treg de los ratones a los que se administró polimixina B. Esos hechos sugerían que las bacterias comensales Gram-positivas desempeñaban un papel principal en la acumulación de células Treg.

## 10 Ejemplo 6

5

15

30

35

40

Un informe reciente ha sugerido que las bacterias que forman esporas desempeñan un papel importante en la respuesta intestinal de células T (véase V. Gaboriau-Routiau et al., Immunity 31, 677 (16 de octubre de 2009)). A este respecto, se administraron por vía oral microorganismos fecales (fracción que forma esporas) resistentes a cloroformo al 3% a ratones GF, que después se analizaron para la relación de células Foxp3<sup>+</sup> en el grupo de células CD4<sup>+</sup> ([%] Foxp3<sup>+</sup> en CD4). La Fig. 31 muestra los resultados obtenidos. Obsérvese que, en la Fig. 31, "GF" indica el resultado de ratones GF y "+cloro" indica el resultado de los ratones GF a los que se administraron las heces tratadas con cloroformo. Por ahora, \*\* indica que "P < 0,001".

- Como es evidente a partir de los resultados mostrados en la Fig. 31, tres semanas después de la administración de las heces tratadas con cloroformo, la cantidad de células Treg en los ratones a los que se administró estaba marcadamente aumentada hasta el mismo nivel que aquellos de los ratones SPF y los ratones GF a los que las heces no tratadas se habían administrado de manera forzada (véanse las Fig. 7 y 11).
- Por consiguiente, considerando los resultados mostrados en el Ejemplo 5 en combinación, se reveló que los componentes específicos de la microbiota nativa muy probablemente pertenecían al grupo Gram-positivo, y que la fracción que forma esporas desempeñaba un papel importante en la inducción de células Treg.

#### Ejemplo 7

A continuación, se identificaron las especies de la microbiota intestinal que inducían la acumulación de células Treg en el colon como se sugiere en los Ejemplos 4 a 6. Específicamente, se administraron por vía oral bacterias filamentosas segmentadas (SFB), 16 cepas de *Bacteroides* spp. (Bactero. (6 cepas de <u>B. vulgatus</u>, 7 del grupo 1 de <u>B. acidifaciens</u> y 3 del grupo 2 de <u>B. acidifaciens</u>)), 3 cepas de *Lactobacillus* (Lacto. (<u>L. acidophilus</u>, <u>L. fermentum</u> y <u>L. murinum</u>)) y 46 cepas de *Clostridium* spp. (Clost., remítase a "Itoh, K., y Mitsuoka, T. Characterization of clostridia isolated from faeces of limited flora mice and their effect on caecal size when associated with germ-free mice. Lab. Animals 19: 111-118 (1985))") o microbiota recogida de ratones (SPF) criados en un entorno convencional, a ratones GF-Balb/c o ratones GF-IQI. Los ratones se mantuvieron en aislantes de vinilo durante tres semanas. Después, se aislaron células CD4 del colon y el intestino delgado de estos ratones. Se analizaron las cantidades de células Treg en el colon y el intestino delgado por citometría de flujo.

La Fig. 13 muestra diagramas de puntos FACS obtenidas cuando se estableció una sincronización sobre células CD4<sup>+</sup> de los ratones Balb/c. La Fig. 14 muestra la relación de células Foxp3<sup>+</sup> en células CD4<sup>+</sup> de cada ratón.

Obsérvese que las bacterias pertenecientes al género *Clostridium* se clasifican secuenciando el gen de ARNr 16S, del siguiente modo. Específicamente, los genes de ARNr 16S de las bacterias se amplificaron por PCR usando pares de cebadores específicos de gen de ARNr 16S: 5'-AGAGTTTGATCMTGGCTCAG-3' (SEQ ID NO: 19) y 5'-ATTACCGCGGCKGCTG-3' (SEQ ID NO: 20) (véase T. Aebischer et al., Vaccination prevents Helicobacter pylori-induced alterations of the gastric flora in mice. FEMS Immunol. Med. Microbiol. 46, 221-229(2006)). El producto de PCR de 1,5 kb después se introduce en el vector pCR-Blunt. Los insertos se secuenciaron y se alienaron usando el programa de software ClustalW. Las secuencias resultantes de los genes de ARNr 16S derivados de la cepa 1-41 de 46 cepas de *Clostridium* spp. Se muestran en las SEQ ID NO: 21-61. El árbol filogenético que se construyó por el método de unión de vecinos con las secuencias resultantes de las 41 cepas de *Clostridium* y aquellas de bacterias conocidas obtenidas de la base de datos Genbank usando el software Mega se muestra en la Fig. 49.

55

60

65

Como es evidente a partir de los resultados mostrados en las Fig. 13 y 14, no se observó efecto sobre la cantidad de las células Treg en el colon en los ratones GF en que se colonizaron las bacterias filamentosas segmentadas (SFB) (remítase a la Fig. 14). Además, los ratones en que se colonizó el cóctel de tres cepas de *Lactobacillus* dieron resultados similares (remítase a la Fig. 14). Por otro lado, se demostró que la acumulación de células Foxp3<sup>+</sup> en la lamina propria del colon estaba fuertemente inducida en los ratones en que se colonizaron 46 cepas de *Clostridium* spp. De forma importante, dicha acumulación se promovía independientemente de los fondos genéticos de los ratones, y conducía al aumento en la cantidad similar a la de ratones SPF, aunque se colonizaba la intestinal microbiota de solamente un único género. También se demostró que la colonización de *Clostridium* no cambiaba la cantidad de células Treg en la lamina propria del intestino delgado (remítase a la Fig. 14). Obsérvese que, cuando se colonizaban las 16 cepas de *Bactericides* spp., la cantidad de células Treg en el colon se aumentaba significativamente. Sin embargo, el grado del aumento variaba dependiendo del fondo genético de los ratones en

que se colonizaban las bacterias (remítase a las Fig. 13 y 14).

#### Ejemplo 8

- A continuación, se analizaron la expresión de CD4, la expresión de Foxp3 y la expresión de Helios en linfocitos LP de los timos y los cólones de ratones SPF, ratones GF, ratones colonizados con *Lactobacillus* y ratones colonizados con *Clostridium* por citometría de flujo.
- Las Fig. 32 y 33 muestran los resultados obtenidos. Obsérvese que, en las Fig. 32 y 33, "GF" o "libre de gérmenes" indica los resultados de los ratones GF, "SPF" indica los resultados de los ratones SPF, "Lacto." Indica los resultados de los ratones colonizados con *Lactobacillus* y "Clost." Indica los resultados de los ratones colonizados con *Clostridium*. En la Fig. 32, el eje vertical representa la relación de células Helios en el grupo de células Foxp3 ([%] Helios en Foxp3), y \*\* indica que "P < 0,001".
- Como es evidente a partir de los resultados mostrados en las Fig. 32 y 33, la mayoría de células Foxp3<sup>+</sup> encontradas en los ratones SPF o los ratones colonizados con *Clostridium* no expresaban Helios. Obsérvese que Helios es un factor de transcripción que se sabe que se expresa en células Treg natural derivadas de timo (véase A. M. Thornton et al., J Immunol 184, 3433 (1 de abril de 2010)). Por consiguiente, se sugirió que la mayoría de las células Treg en los ratones SPF y los ratones colonizados con *Clostridium* eran células Treg inducidas en partes periféricas, es decir, las llamadas células Treg.

#### Ejemplo 9

A continuación, se investigó si la colonización de Clostridium o similares tenía o no influencia sobre otras células T. Específicamente, se colonizaron SFB, 16 cepas de Bacteroides spp. (Bactero.), 46 cepas de Clostridium spp. 25 (Clost.), o microbiota recogida de ratones criados en un entorno convencional (SPF) en ratones GF IQI. Tres semanas después, se aislaron linfocitos de la lamina propria del colon de estos ratones y se estimularon con PMA (50 ng/ml) y ionomicina (1 µg/ml) durante cuatro horas en presencia de Golgistop (BD Bioscience). Después de darse la estimulación, se tiñeron las citoquinas intracelulares usando un anticuerpo anti-IL-17 PE (TC11-18H10) y un 30 anticuerpo anti-IFN-g FITC (BD Bioscience) de acuerdo con el manual of un Cytofix/Cytoperm Kit (BD Bioscience). Después, se analizó la relación de células IFN- $\gamma^+$  o células IL-17<sup>+</sup> en leucocitos CD4<sup>+</sup> por citometría de flujo. Las Fig. 15 y 16 muestran los resultados obtenidos. Obsérvese que, en las Fig. 15 y 16, cada círculo blanco representa la cantidad absoluta de células CD4<sup>+</sup> IFN- $\gamma^+$  o la cantidad absoluta de células CD4<sup>+</sup> IL-17<sup>+</sup> en dicho ratón individual, y las barras de error representan las desviaciones típicas (SD). Como es evidente a partir de los resultados mostrados en las Fig. 15 y 16, la colonización de Clostridium no tuvo ninguna influencia sobre las células Th1 (células CD4<sup>+</sup> 35 IFN-γ<sup>+</sup>) en el colon, y causaba solamente un ligero aumento de las células Th17 (células CD4<sup>+</sup> IL-17<sup>+</sup>). Por consiguiente, se sugirió que el género Clostridium era un género de bacterias que inducía específicamente las células Treg.

## 40 Ejemplo 10

45

60

65

Se ha informado de que 46 cepas de *Clostridium* spp. ejercen influencia sobre la acumulación de linfocitos  $CD8^+$  intraepiteliales del tracto intestinal (IEL) en el colon. Por consiguiente, es concebible que *Clostridium* regule el sistema inmunitario en diversos aspectos, y que *Clostridium* muestra una capacidad notable de inducir y mantener las células Treg especialmente en el colon, como se ha descrito anteriormente. Además, un tipo de citoquinas, el factor de crecimiento transformante- $\beta$  (TGF- $\beta$ ), se sabe que desempeñan un papel importante en la regulación de la generación de células Treg.

A este respecto, se examinó si la colonización de *Clostridium* proporcionaba o no un entorno colónico rico en TGF-β.
 Específicamente, en primer lugar, se cultivaron los cólones completos de ratones GF, ratones colonizados con *Clostridium* y ratones colonizados con *Lactobacillus* durante 24 horas, y los sobrenadantes de cultivo de los mismos se midieron para la concentración de TGF-β activo (TGF-β1) por ELISA (la cantidad de ratones analizados fue cuatro por grupo). La Fig. 34 muestra los resultados obtenidos. Obsérvese que, en la Fig. 34, "GF" indica el resultado de los ratones GF, "Clost." indica el resultado de los ratones colonizados con *Clostridium* y "Lacto." indica el resultado de ratones colonizados con *Lactobacillus*. Por ahora, \* indica que "P < 0,02" y \*\* indica que "P < 0,001".</li>

Como es evidente a partir de los resultados mostrados en la Fig. 34, la cantidad de TGF-β producida en los cólones de los ratones colonizados con *Clostridium* era significativamente mayor que la de aquellos de los ratones GF y los ratones colonizados con *Lactobacillus*.

A continuación, se cultivaron células epiteliales intestinales (IEC) de ratones GF y ratones colonizados con *Clostridium* durante 24 horas, y los sobrenadantes de cultivo de las mismas se midieron para la concentración de TGF-β activo (TGF-β1) por ELISA (la cantidad de ratones analizados fue de cuatro por grupo). La Fig. 35 muestra los resultados obtenidos. Obsérvese que, en la Fig. 35, "GF" indica el resultado de los ratones GF, y "Clost." indica el resultado de los ratones colonizados con *Clostridium*. Por ahora, \*\* indica que "P < 0,001".

Como es evidente a partir de los resultados mostrados en la Fig. 35, se detectó TGF- $\beta$  en el sobrenadante de cultivo de las IEC aisladas de los ratones colonizados con *Clostridium*, mientras que no se detectó TGF- $\beta$  en el sobrenadante de cultivo de las IEC aisladas de los ratones GF.

- A continuación, como se ha descrito anteriormente, se cultivaron células T CD4<sup>+</sup> esplénicas durante cinco días junto con un medio condicionado al 50% en que se cultivaron las IEC aisladas de los ratones GF o los ratones colonizados con *Clostridium*, y con el anticuerpo anti-CD3, en presencia o ausencia de un anticuerpo anti-TGF-β. Después, se recogieron las células T y se analizaron para la expresión de Foxp3 por RT-PCR a tiempo real. La Fig. 36 muestra los resultados obtenidos. Obsérvese que, en la Fig. 36, "medio" indica el resultado de un medio en que no se cultivaron células, "GF" indica el resultado del medio condicionado en que se cultivaron las IEC de los ratones GF, "Clost." indica el resultado del medio condicionado en que se añadió el anticuerpo anti-TGF-β y en que se cultivaron las IEC de los ratones colonizados con *Clostridium* Por ahora, \*\* indica que "P < 0,001".
- Como es evidente a partir de los resultados mostrados en la Fig. 36, cuando el sobrenadante de cultivo de las IEC derivadas de los ratones colonizados con *Clostridium* se añadió a las células T CD4<sup>+</sup> esplénicas, se aceleraba la diferenciación en las células que expresan Foxp3. Por ahora, la diferenciación en las células Treg se inhibía por el anticuerpo anti-TGF-β.
- Además, se investigó la expresión de MMP2, MMP9 y MMP13, que se cree que contribuyen a la activación de TGF-β latente. También se investigó la expresión de indolamina 2,3-dioxigenasa (IDO), que se cree que está implicada en la inducción de células Treg. Específicamente, se administraron por vía oral 46 cepas bacterianas del género *Clostridium* (Clost.) o tres cepas bacterianas del género *Lactobacillus* (Lacto.) a ratones C57BL/6 libres de gérmenes. Tres semanas después de la administración, se recogieron las IEC y se analizaron para los niveles relativos de expresión de ARNm de los genes de MMP2, MMP9, MMP13 e IDO por RT-PCR a tiempo real (la cantidad de ratones analizados fue de tres por grupo). Las Fig. 37 a 40 muestran los resultados obtenidos. Obsérvese que, en las Fig. 37 a 40, "GF n.º 1 a 3" indica los resultados de ratones GF, "Clost. n.º 1 a 3" indica los resultados de los ratones colonizados con *Clostridium* y "Lacto. n.º 1 a 3" indica los resultados de los ratones colonizados con *Lactobacillus*.

Para la relación entre la activación de TGF-β latente y MMP descrita anteriormente, véase D'Angelo et al., J. Biol. Chem. 276, 11347-11353, 2001; Heidinger et al., Biol. Chem. 387, 69-78, 2006; Yu et al., Genes Dev. i4, 163-176, 2000. Para la relación entre IDO y la inducción de células Treg, véase G. Matteoli et al., Gut 59, 595 (mayo de 2010).

- 35 Como es evidente a partir de los resultados mostrados en las Fig. 37 a 39, en acuerdo con la producción de TGF-β descrita anteriormente, se expresaban productos de transcripción de los genes que codifican MMP2, MMP9 y MMP13 a niveles mayores en las IEC derivadas de los ratones colonizados con *Clostridium* que los de los ratones GF y los ratones colonizados con *Lactobacillus*.
- 40 Además, como es evidente a partir de los resultados mostrados en la Fig. 40, IDO se expresaba solamente en los ratones colonizados con *Clostridium*.

Por consiguiente, se reveló que *Clostridium* activaba las IEC y conducía a la producción de TGF-β y otras moléculas inductoras de células Treg en el colon.

Ejemplo 11

30

45

50

55

60

A continuación, se investigó si la acumulación de células Treg inducida por la colonización de Clostridium era dependiente o no de la transmisión de señales por receptores de reconocimiento de patrones moleculares asociados a patógenos. Específicamente, se examinaron las cantidades de células Treg en la lamina propria del colon de cada uno de los ratones SPF de Myd88 (deficientes en Myd88 (adaptador de señalización para receptor tipo Toll)), Rip2-(deficientes en Rip2 (adaptador de receptor NOD)) y Card9 (deficientes en Card9 (factor de transmisión de señales esenciales para la transmisión de señales de Dectina-1)). Además, se causaba que Clostridium spp. colonizara en los ratones GF Myd88 - y se investigó el cambio en la cantidad de células Treg. Las Fig. 17 y 18 muestran los resultados obtenidos. Como es evidente a partir de los resultados mostrados en las Fig. 17 y 18, la cantidad de células Treg de cada tipo de los ratones SPF deficientes en los factores asociados de los receptores de reconocimiento de patrones moleculares asociados a patógenos no cambiaba respecto a la de ratones de tipo silvestre de la misma camada, que servían como control. Además, se descubrió que también cuando Clostridium spp. se colonizaba en ratones GF deficientes en Myd88, se inducía la acumulación de células Treg en la lamina propria del colon. Por consiguiente, se ha sugerido que el mecanismo de inducción de la acumulación de células Treg en la lamina propria del colon no depende de la activación de la ruta de reconocimiento para patrones moleculares asociados a patógenos principales que los causa la mayoría de bacterias, sino de especies bacterianas comensales específicas.

65 Ejemplo 12

Se sabe que las células Treg Foxp3<sup>+</sup> del tracto intestinal ejercen algunas funciones inmunosupresoras a través de la producción de IL-10 (remítase al documento no de patente 9). Por ahora, se sabe que los animales que tienen células CD4<sup>+</sup> Foxp3<sup>+</sup> de las que se retira específicamente IL-10 desarrollan enfermedad inflamatoria del intestino (remítase al documento no de patente 18). A este respecto, en primer lugar, se examinó la expresión de IL-10 en linfocitos de diversos tejidos. Específicamente, se aislaron linfocitos de diversos tejidos de ratones SPF Il10<sup>venus</sup>, y se analizó la expresión de CD4 y la expresión de Venus por citometría de flujo. La Fig. 19 muestra los resultados obtenidos. Obsérvese que cada valor numérico en la Fig. 19 representa la relación de células dentro de la correspondiente región dividida en cuatro.

Además, se aislaron linfocitos de la lamina propria del colon de ratones <u>II10</u><sup>venus</sup>, y se detectó la expresión de la cadena β del receptor de células T (TCRβ) sobre las superficies de las células por FACS. La Fig. 20 muestra los resultados obtenidos (diagramas de puntos FACS obtenidos cuando se establecía una sincronización en células CD4<sup>†</sup>). Obsérvese que cada valor numérico en la Fig. 20 representa la relación de células dentro de la correspondiente región dividida en cuatro.

Además, se aislaron linfocitos de la lamina propria del colon de ratones <u>II10</u> venus. Los linfocitos se estimularon con PMA (50 ng/ml) y ionomicina (1 μg/ml) durante cuatro horas en presencia de Golgistop (BD Bioscience). Después, tras darse la estimulación, se tiñeron las citoquinas intracelulares usando un anticuerpo anti-IL-17 PE, un anticuerpo anti-IL-4 APC (11B11) y un anticuerpo anti-IFN-g FITC (BD Bioscience) de acuerdo con el manual de un Cytofix/Cytoperm kit (BD Bioscience). La Fig. 21 muestra los resultados obtenidos (diagramas de puntos FACS obtenidos cuando se establecía una sincronización en células CD4<sup>†</sup>).

Obsérvese que cada valor numérico en la Fig. 21 representa la relación de células dentro de la correspondiente región dividida en cuatro.

Además, se aislaron células Foxp3<sup>+</sup> CD4<sup>+</sup> y células Foxp3<sup>-</sup> CD4<sup>+</sup> del bazo (SpI) de ratones indicadores Foxp3<sup>eGFP</sup>, y se aislaron células Venus<sup>+</sup> de la lamina propria del colon y la lamina propria del intestino delgado (SI) de ratones II10<sup>venus</sup>. Después, las células obtenidas se analizaron en términos de la expresión de genes predeterminados. Se analizó la expresión génica por RT-PCR a tiempo real usando una Power SYBR Green PCR Master Mix (Applied Biosystems) y un sistema de PCR a tiempo real ABI 7300 (Applied Biosystems). Aquí, el valor para cada célula se normalizó para la cantidad de GAPDH. La Fig. 22 muestra los resultados obtenidos. Obsérvese que en la Fig. 22 las barras de error representan desviaciones típicas.

Como es evidente a partir de los resultados mostrados en las Fig. 19 a 22, casi no se detectaron células Venus (células productoras de IL-10) en los ganglios linfáticos cervicales (ganglios linfáticos periféricos), timo, sangre periférica, pulmón e hígado de ratones mantenidos en condiciones SPF. Por ahora, en el bazo, las placas de Peyer y los ganglios linfáticos mesentéricos de los mismos, se detectaron ligeramente células Venus (remítase a la Fig. 19). Por otro lado, se encontraron muchas células Venus en los linfocitos en la lamina propria del intestino delgado y la lamina propria del colon. Además, la mayoría de las células Venus en los intestinos eran positivas para CD4, y también positivas para la cadena β del receptor de células T (TCRβ) (remítase a las Fig. 19 y 20). Además, se descubrió que las células T CD4 Venus expresaban Foxp3 y otros factores asociados a células Treg tales como antígeno de linfocitos T citotóxicos (CTLA-4) y una proteína asociada a TNFR inducida por glucocorticoides (GITR) aunque las células T CD4 Venus no mostraban ninguno de los fenotipos de Th2 (productora de IL-4) y Th17 (productora de IL-17) (remítase a las Fig. 21 y 22). Además, se demostró que el nivel de expresión de CTLA-4 en las células Venus intestinal era mayor que el de células Treg GFP esplénicas aisladas de los ratones indicadores Foxp3 (remítase a la Fig. 22).

## Ejemplo 13

20

25

30

- Las células Venus<sup>†</sup> pueden clasificarse en al menos dos subconjuntos, concretamente, células Treg Venus<sup>†</sup> Foxp3<sup>†</sup> doble positivas (DP) y células Treg Venus<sup>†</sup> Foxp3<sup>†</sup> sobre la base de la expresión intracelular de Foxp3. Las células del último conjunto corresponden a células T reguladoras de tipo 1 (Tr1) (remítase a los documentos no de patente 8 y 9). A este respecto, se investigaron las células Venus<sup>†</sup> (células productoras de IL-10) observadas en el Ejemplo 8 en términos de la expresión de Foxp3. Específicamente, se analizó la expresión de CD4, Foxp3 y Venus en la lamina propria del colon y la lamina propria del intestino delgado de ratones <a href="Il10">Il10</a> venus mantenidos en condiciones GF o SPF por FACS, y se compararon las cantidades de células Venus<sup>†</sup> en la lamina propria del tracto intestinal entre ratones <a href="Il10">Il10</a> venus SPF y GF. La Fig. 23 muestra los resultados obtenidos (diagramas de puntos obtenidos cuando se establecía una sincronización en células CD4<sup>†</sup>).
- Además, se analizó la expresión intracelular de Venus y Foxp3 en células CD4 en diversos tejidos de ratones SPF <u>Il10</u><sup>venus</sup> por citometría de flujo. La Fig. 24 muestra los resultados obtenidos (diagramas de puntos obtenidos cuando se establecía una sincronización en células CD4<sup>+</sup>). Obsérvese que cada valor numérico en la Fig. 24 representa la relación de células dentro de la correspondiente región dividida en cuatro.
- Además, para investigar si la presencia de bacterias comensales tenía o no alguna influencia sobre la expresión de IL-10 en células reguladoras en los tractos gastrointestinales, se prepararon ratones (GF) II10 venus libres de

gérmenes. Después, se causó que especies predeterminadas de bacterias colonizaran los ratones GF <u>III0</u><sup>venus</sup> obtenidos. Tres semanas después de colonizar las especies de bacterias, se analizó un grupo de células CD4<sup>+</sup> (células V<sup>+</sup>F<sup>-</sup>, Venus<sup>+</sup> Foxp3<sup>-</sup>; células V<sup>+</sup>F<sup>+</sup>, Venus<sup>+</sup> Foxp3<sup>+</sup>; y células V<sup>-</sup>F<sup>+</sup>, Venus<sup>-</sup> Foxp3<sup>+</sup>) en que se expresaban Foxp3 y/o Venus en el colon y el intestino delgado por citometría de flujo. La Fig. 25 muestra diagramas de puntos obtenidos cuando se establecía una sincronización en células CD4<sup>+</sup> colónicas, y las Fig. 26 y 27 muestran las relaciones en el grupo de células CD4<sup>+</sup> de cada ratón. Obsérvese que cada valor numérico en la Fig. 25 representa la relación de células dentro de la correspondiente región dividida en cuatro. Por ahora, las barras de error en las Fig. 26 y 27 representan desviaciones típicas, \* indica que "P < 0,02" y \*\* indica que "P < 0,001".

- Además, para comprobar si la presencia de bacterias comensales tenía o no alguna influencia sobre la expresión de IL-10 en células reguladoras en los tractos gastrointestinal, se dieron por vía oral antibióticos con agua a cinco o seis ratones <u>II10</u> en células reguladoras en los tractos gastrointestinal, se dieron por vía oral antibióticos con agua a cinco o seis ratones <u>II10</u> en grupo durante 10 semanas. Se usaron los siguientes antibióticos en combinación. ampicilina (A; 500 mg/l Sigma)
  - vancomicina (V; 500 mg/l NACALAI TESQUE, INC.) metronidazol (M; 1 g/l NACALAI TESQUE, INC.) neomicina (N; 1 g/l NACALAI TESQUE, INC.)
- Después, se tiñeron CD4 y Foxp3 de los linfocitos de la lamina propria del colon, la lamina propria del intestino delgado (SI), los ganglios linfáticos mesentéricos (MLN) y placas de Peyer (PP) con anticuerpos, y se analizaron por FACS. Se obtuvieron los resultados de dos o más experimentos independientes que dieron resultados similares. La Fig. 28 muestra los resultados obtenidos (la relación de células Venus<sup>+</sup> en células CD4<sup>+</sup> en cada muestra). Obsérvese que cada círculo blanco en la Fig. 28 representa una muestra individual, cada barra horizontal representa un valor promedio, \* indica que "P < 0,02" y "AVMN" representa los tipos de antibióticos administrados usando las primeras letras de los antibióticos.
  - Como es evidente a partir de los resultados mostrados en las Fig. 23 y 24, se demostró que la lamina propria del intestino delgado era rica en células Venus<sup>+</sup> Foxp3<sup>-</sup>, concretamente, células tipo Tr1, y que las células Treg Venus<sup>+</sup> Foxp3<sup>+</sup> DP estaban presentes a una alta frecuencia en el colon de los ratones SPF (remítase a la Fig. 23 y 24). En contraste, aunque se observaron suficientes cantidades de células Foxp3<sup>+</sup> también en otros tejidos, no se observaba la expresión de Venus en casi ninguna de las células (remítase a la Fig. 24).
  - Además, como es evidente a partir de los resultados mostrados en las Fig. 23 y 25 to 28, se demostró que todas las fracciones de células T reguladoras de Venus<sup>+</sup> Foxp3<sup>-</sup>, Venus<sup>+</sup> Foxp3<sup>+</sup> y Venus<sup>-</sup>Foxp3<sup>+</sup> en el colon disminuían significativamente en las condiciones GF (Fig. 23 y 26 a 27). Además, se observó una disminución similar en las células Venus<sup>+</sup> también en los ratones SPF II10 Venus tratados con los antibióticos (remítase a la Fig. 28).
- Además, como es evidente a partir de los resultados mostrados en las Fig. 25 a 27, la colonización de *Clostridium* spp. inducía fuertemente todas las fracciones de células T reguladoras de Venus<sup>†</sup> Foxp3<sup>†</sup>, Venus<sup>†</sup> Foxp3<sup>†</sup> y Venus Foxp3<sup>†</sup> en el colon, y los grados de la inducción de las mismas era iguales a los de ratones SPF (remítase a la Fig. 25 y 27). Además, se descubrió que la colonización de las tres cepas de *Lactobacillus* o la colonización de SFB tenía una influencia extremadamente pequeña sobre las cantidades de células Venus<sup>†</sup> y/o Foxp3<sup>†</sup> en el colon (remítase a las Fig. 25 y 27). Además, la colonización de 16 cepas de *Bacteroides* spp. también indujo células Venus<sup>†</sup>, pero la influencia de la colonización fue específica para células tipo Tr1 Venus<sup>†</sup> Foxp3<sup>†</sup> (remítase a la Fig. 25 y 27). Por otro lado, se descubrió que ninguna de las especies bacterianas ensayadas ejercía ninguna influencia significativa sobre la cantidad de células productoras de IL-10 en la lamina propria del intestino delgado (remítase a la Fig. 26).
- Por tanto, se demostró que el género *Clostridium* colonizado en el colon o una sustancia fisiológicamente activa derivada de las bacterias proporcionaba una señal para inducir la acumulación de células T reguladoras IL-10<sup>†</sup> en la lamina propria del colon o la expresión de IL-10 en células T. Por ahora, se demostró que la cantidad de células Venus<sup>†</sup> en el intestino delgado no estaba influenciada significativamente por la situación donde no había bacterias comensales presentes o las bacterias comensales estaban disminuidas (remítase a la Fig. 23 y 26 a 28), y que las células reguladoras IL-10<sup>†</sup> (células tipo Tr1) se acumulaban en la lamina propria del intestino delgado independientemente de las bacterias comensales.
- 55 Ejemplo 14

15

25

30

35

Se investigó si las células Venus<sup>†</sup> inducidas por el género *Clostridium* tenían o no una función inmunosupresora similar a la de células Venus<sup>†</sup> en el colon de ratones SPF. Específicamente, se sembraron células CD4<sup>†</sup> CD25<sup>-</sup> (células T efectoras, células Teff) aisladas del bazo en una placa de 96 pocillos de fondo plano a 2 x 10<sup>4</sup>/pocillo, y se cultivaron durante tres días junto con 2 x 10<sup>4</sup> células CD11c<sup>†</sup> esplénicas (células presentadoras de antígeno) sometidas a tratamiento de irradiación con 30 Gy de radiación, 0,5 μg/ml de un anticuerpo anti-CD3, y un lote de células Treg. Además, durante las últimas seis horas, se cultivaron las células CD4<sup>†</sup> CD25<sup>-</sup>, con [³H]-timidina (1 μCi/pocillo) añadida a las mismas. Obsérvese que, las células Treg usadas en el Ejemplo 14 eran células T CD4<sup>†</sup> GFP<sup>+</sup> aisladas del bazo de ratones indicadores Foxp3<sup>eGFP</sup>, o células T CD4<sup>†</sup> Venus<sup>†</sup> de la lamina propria del colon de ratones GF <u>II10</u> en que se colonizó *Clostridium* spp. o ratones SPF <u>II10</u> en Después, se determinó la proliferación de las células basándose en la cantidad de captación de [³H]-timidina, y se representó por un valor de

recuento por minuto (cpm).

Como es evidente a partir de los resultados mostrados en la Fig. 29, las células Venus<sup>+</sup> CD4<sup>+</sup> de los ratones en que se colonizó el género *Clostridium* suprimían *in vitro* la proliferación de células T activadas CD25<sup>-</sup> CD4<sup>+</sup>. La actividad de supresión era ligeramente inferior a la de células GFP<sup>+</sup> aisladas de los ratones indicadores Foxp3<sup>eGFP</sup>, pero igual a la de células Venus<sup>+</sup> aisladas de los ratones SPF II10<sup>Venus</sup>. Por consiguiente, se ha demostrado que el género *Clostridium* induce células T que expresan IL-10 que tienen suficientes actividades inmunosupresoras, y de ese modo desempeña un papel crítico en el mantenimiento de la homeostasis inmunológica en el colon.

#### 10 Ejemplo 15

5

20

25

30

35

40

45

65

A continuación, se investigó la influencia sobre la respuesta inmunitaria local de la colonización de una gran cantidad de *Clostridium* y la proliferación resultante de células Treq.

15 Moldeo de colitis inducida por sulfato sódico de dextrano (DSS)

En primer lugar, se preparó el modelo de colitis inducida por DSS como se ha descrito anteriormente, y se investigó la influencia, sobre los ratones modelo, de la inoculación de Clostridium y la proliferación de células Trea. Específicamente, los ratones de control y los ratones inoculados con Clostridium se trataron con DSS al 2%, después se observaron y midieron durante seis días para la pérdida de peso corporal, la dureza de las deposiciones y hemorragias, y después se evaluaron numéricamente. Además, en el día 6, se recogieron los cólones, se diseccionaron y se analizaron histológicamente por tinción con HE. Las Fig. 41 a 43 muestran los resultados obtenidos. Obsérvese que, en las Fig. 41 a 43, "SPF+Clost." o "SPF+Clost." n.º 1 a 3" indica los resultados de ratones C57BL/6 inoculados con una suspensión fecal de ratones colonizados con Clostridium, y que han crecido en un entorno convencional durante seis semanas, y "SPF" o "SPF n.º 1 a 3" indica los resultados de ratones C57BL/6 (ratones de control) que han crecido en un entorno convencional durante seis semanas sin inocularse con la suspensión fecal. Además, en la Fig. 41, el eje vertical "valor de enfermedad" representa el índice de actividad de la enfermedad (DAI) descrito anteriormente, y el eje horizontal "post DSS al 2% (d)" representa los días que han pasado después de la administración inicial de DSS al 2% a los ratones. Además, en la Fig. 41, \* indica que "P < 0,02" y \*\* indica que "P < 0,001". Por ahora, se sabe que las células Treg inducidas por células dendríticas reguladoras desempeñan un papel preventivo en un modelo de colitis inducida por DSS (véase S. Manicassamy et al., Science 329, 849 (13 de agosto de 2010)).

Como es evidente a partir de los resultados mostrados en las Fig. 41 a 43, los síntomas de la colitis tales como pérdida de peso corporal y hemorragia rectal se suprimían significativamente en los ratones que tenían una cantidad mayor de *Clostridium* (a partir de ahora en este documento también mencionados como "ratones abundantes en *Clostridium*") en comparación con los ratones de control (véase la Fig. 41). Todas las características típicas para inflamación del colon, tales como acortamiento del colon, edema y hemorragia, se observaron de forma notable en los ratones de control en comparación con los ratones abundantes en *Clostridium* (véase la Fig. 42). Además, las características histológicas tales como erosión de la mucosa, edema, infiltración celular y pérdida de criptas eran menos graves en los ratones abundantes en *Clostridium* tratados con DSS que en los ratones de control (véase la Fig. 43).

#### Modelo de colitis inducida por oxazolona

A continuación, se preparó el modelo de colitis inducida por oxazolona como se ha descrito anteriormente, y se investigó la influencia, sobre los ratones modelo, de la inoculación de Clostridium y la proliferación de células Treg. Específicamente, ratones de control y ratones inoculados con Clostridium se sensibilizaron con oxazolona, y posteriormente el interior de los rectos de los mismos se trató con una solución de oxazolona al 1%/etanol al 50%. 50 Después, se observó y midió la pérdida de peso corporal. Además, se diseccionaron los cólones, y se analizaron histológicamente por tinción con HE. Las Fig. 44 y 45 muestran los resultados obtenidos. Obsérvese que, en las Fig. 44 y 45, "SPF+Clost." Indica los resultados de ratones C57BL/6 (ratones abundantes en Clostridium) inoculados con una suspensión fecal de ratones colonizados con Clostridium, y que han crecido en un entorno convencional durante seis semanas, y "SPF" indica los resultados de ratones C57BL/6 (ratones de control) que han crecido en un entorno convencional durante seis semanas sin inocularse con la suspensión fecal. Además, en la Fig. 44, el eje vertical 55 "peso (% del inicial)" representa el peso corporal después de la administración de oxazolona al 1% donde el peso corporal antes de la administración se tomó como el 100%, y el eje horizontal "post oxazolona al 1% (d)" representa los días que han pasado después de la administración de oxazolona al 1% a los ratones. Por ahora, se sabe que las células T tipo Th2 están implicadas en la colitis inducida por oxazolona (véase M. Boirivant, I. J. Fuss, A. Chu, W. 60 Strober, J Exp Med 188, 1929 (16 de noviembre de 1998)).

Como es evidente a partir de los resultados mostrados en las Fig. 44 y 45, la colitis evolucionó junto con pérdida persistente de peso corporal en los ratones de control. Mientras tanto, la pérdida de peso corporal de los ratones abundantes en *Clostridium* se redujo (véase la Fig. 44). Además, también se reveló que partes que tenían enfermedades histológicas tales como erosión de la mucosa, edema, infiltración celular y hemorragia se redujeron en el colon de los ratones abundantes en *Clostridium* (véase la Fig. 45).

#### Ejemplo 16

A continuación, se investigó la influencia, sobre la respuesta inmunitaria sistémica (producción sistémica de IgE), de la colonización de una cantidad mayor de Clostridium y la proliferación resultante de células Treg. Específicamente, como se ha descrito anteriormente, se inmunizaron ratones de control y ratones inoculados con Clostridium administrando ovalbúmina (OVA) absorbida en alumbre dos veces a un intervalo de 2 semanas. Después, se recogieron los sueros de estos ratones, y se investigó el nivel de IgE específica de OVA de los mismos por ELISA. Además, se recogieron células esplénicas de los ratones en cada grupo, y se investigó la producción de IL-4 e IL-10 por reestimulación con OVA in vitro. Las Fig. 46 a 48 muestran los resultados obtenidos. Obsérvese que, en las Fig. 46 a 48, "SPF+Clost." indica los resultados de ratones BALB/c SPF (ratones abundantes en Clostridium) inoculados con una suspensión fecal de ratones colonizados con Clostridium, y que han crecido en un entorno convencional, "SPF" indica los resultados de ratones BALB/c SPF (ratones de control) que han crecido en un entorno convencional  $\sin$  inocularse con la suspensión fecal y \*\* indica que "P < 0,001". Por ahora, en la Fig. 46, el eje vertical "IgE específica de OVA (ng/ml)" representa la concentración de IgE específica de OVA en los sueros. Además, en la Fig. 46, el eje horizontal representa los días que han pasado después de la administración inicial de la ovalbúmina absorbida en alumbre a los ratones abundantes en Clostridium o los ratones de control (4 semanas de edad), y "OVA+Alum" indica la cronología de la administración de la ovalbúmina absorbida en alumbre. Además, en las Fig. 47 y 48, "OVA" en el eje horizontal indica los resultados en el caso donde se realizó la reestimulación con OVA in vitro, y "-" indica los resultados en el caso donde no se realizó la reestimulación con OVA in vitro. Además, en las Fig. 47 y 48, el eje vertical "IL-4 (pg/ml)" e "IL-10 (pg/ml)" muestra la concentración de IL-4 y la concentración de IL-10 en sobrenadantes de cultivo de células esplénicas, respectivamente.

Como es evidente a partir de los resultados mostrados en las Fig. 46 a 48, el nivel de IgE era significativamente inferior en los ratones abundantes en *Clostridium* que en los ratones de control (véase la Fig. 46). Además, la producción de IL-4 por la reestimulación con OVA estaba reducida (véase la Fig. 47) y la producción de IL-10 por lo tanto estaba aumentada (véase la Fig. 48) en las células esplénicas de los ratones abundantes en *Clostridium* sensibilizados con OVA y alumbre, en comparación con los ratones de control.

Por consiguiente, en consideración de los resultados mostrados en el Ejemplo 15 en combinación, se ha revelado que la inducción de células Treg por *Clostridium* en el colon desempeña un papel importante en las respuestas inmunitarias locales y sistémicas.

## Ejemplo 17

35

40

50

55

60

65

10

15

20

A continuación, se colonizaron GF Balb/c con tres cepas de *Clostridium* pertenecientes al grupo IV (cepas 22, 23 y 32 enumeradas en la Fig. 49). Tres semanas después, se analizaron las células Treg Foxp3<sup>†</sup> del colon por FACS. La Fig. 50 muestra los resultados obtenidos. Como es evidente a partir de los resultados mostrados en la Fig. 50, los ratones gnotobióticos colonizados con tres cepas de *Clostridium* mostraron un patrón intermedio de inducción de Treg entre ratones GF y ratones inoculados con las 46 cepas.

#### Ejemplo 18

A continuación, se investigó si una fracción que forma esporas (por ejemplo, una resistente a cloroformo) de una muestra fecal obtenida de seres humanos tenía o no el efecto de inducir la proliferación o acumulación de células T reguladoras similar a la fracción que forma esporas de la muestra fecal obtenida de ratones.

Específicamente, se suspendió la deposición humana de un voluntario sano (japonés, hombre, de 29 años de edad) con solución salina tamponada con fosfato (PBS), se mezcló con cloroformo (concentración final del 3%), y después se incubó en un baño de agua agitado durante 60 min. Después de la evaporación del cloroformo por burbujeo con gas N2, las alícuotas que contenían la fracción resistente a cloroformo (por ejemplo, que forma esporas) de las bacterias intestinales humanas se inocularon por vía oral en ratones libres de gérmenes (GF) (IQI, de 8 semanas de edad). Los ratones tratados se mantuvieron en un aislante de vinilo durante 3 semanas. El colon se recogió y se abrió longitudinalmente, se lavó para retirar el contenido fecal, y se agitó en solución salina equilibrada de Hanks (HBSS) que contenía EDTA 5 mM durante 20 min a 37°C. Después de retirar las células epiteliales y el tejido graso, el colon se cortó en pequeños trozos y se incubó con RPMI1640 que contenía suero bovino fetal al 4%, 1 mg/ml de colagenasa D, 0,5 mg/ml de dispasa y 40 µg/ml de DNasa I (todo fabricado por Roche Diagnostics) durante 1 hora a 37°C en un baño de agua agitado. El tejido digerido se lavó con HBSS que contenía EDTA 5 mM, se resuspendió en 5 ml de Percoll al 40% (fabricado por GE Healthcare) y se sobrepuso sobre 2,5 ml de Percoll al 80% en un tubo Falcon de 15 ml. Se realizó separación en gradiente de Percoll por centrifugación a 780 g durante 20 min a 25°C. Las células de la superficie de contacto se recogieron y se suspendieron en tampón de tinción que contenía PBS, FBS al 2%, EDTA 2 mM y NaN<sub>3</sub> al 0,09% y se tiñeron para CD4 superficial con Ab anti-CD4 marcado con ficoeritrina (RM4-5, fabricado por BD Biosciences). Se realizó tinción intracelular de Foxp3 usando el Ab anti-Foxp3 marcado con Alexa647 (FJK-16s, fabricado por eBioscience) y conjunto de tampón de tinción de Foxp3 (fabricado por eBioscience). Se analizó el porcentaje de células Foxp3 positivas dentro de la población de linfocitos CD4 positivos por citometría de flujo. Las Fig. 51 y 52 muestran los resultados obtenidos.

En las figuras, se muestran histogramas representativos (Fig. 51) y datos combinados (Fig. 52) para la expresión de Foxp3 por linfocitos CD4 positivos de ratones GF (GF) o ratones GF alimentados por sonda con deposición humana tratada con cloroformo (GF+Cloro.). Además, los números en la Fig. 51 indican los porcentajes de células en la sincronización. Cada círculo en la Fig. 52 representa un animal diferente, las barras de error indican las SD, y \*\* indica que "P < 0,001".

Como es evidente a partir de los resultados mostrados en las Fig. 51 y 52, se descubrió que también cuando la fracción que forma esporas (por ejemplo, la resistente a cloroformo) de bacterias intestinal humanas se colonizaba en ratones GF, se inducía la acumulación de células reguladoras (Treg) Foxp3<sup>+</sup> en la lamina propria del colon de los ratones.

A continuación, se investigó las especies de bacterias que crecían por alimentación por sonda con deposición humana tratada con cloroformo.

15

20

10

5

Específicamente, usando un mini kit QIAamp DNA Stool (fabricado por QIAGEN), se aisló el ADN genómico bacteriano de la deposición humana de un voluntario sano como se ha descrito anteriormente (deposición humana) o gránulos fecales de ratones GF alimentados por sonda con deposición humana tratada con cloroformo (GF+Cloro.). Se realizó el análisis de PCR cuantitativa usando un LightCycler 480 (fabricado por Roche). Se calculó la cantidad relativa por el método ΔCt y se normalizó a la cantidad de bacterias totales, la dilución y el peso de la muestra. Se usaron los siguientes conjuntos de cebadores: bacterias totales

5'-GGTGAATACGTTCCCGG-3' (SEQ ID NO: 62) y 5'-TACGGCTACCTTGTTACGACTT-3' (SEQ ID NO: 63)

25

Clostridium grupo XIVa (subgrupo Clostridium coccoides) 5'-AAATGACGGTACCTGACTAA-3' (SEQ ID NO: 64) y 5'-CTTTGAGTTTCATTCTTGCGAA-3' (SEQ ID NO: 65)

30 Clostridium grupo IV (Clostridium leptum) 5'-GCACAAGCAGTGGAGT-3' (SEQ ID NO: 66) y 5'-CTTCCTCCGTTTTGTCAA-3' (SEQ ID NO: 24)

#### Bacteroides

35 5'-GAGAGGAAGGTCCCCAC-3' (SEQ ID NO: 67) y 5'-CGCTACTTGGCTGGTTCAG-3' (SEQ ID NO: 68).

La Fig. 53 muestra los resultados obtenidos.

40 Como es evidente a partir de los resultados mostrados en la Fig. 53, los ratones alimentados por sonda con deposición humana tratada con cloroformo mostraron altas cantidades de bacterias que forman esporas, tales como *Clostridium* de los grupos XIVa y IV, y una disminución importante de bacterias que no forman esporas, tales como *Bacteroides*, en comparación con la deposición humana antes del tratamiento con cloroformo.

45 Aplicabilidad industrial

Como se ha descrito anteriormente, la presente invención hace posible proporcionar una excelente composición para inducir la proliferación o acumulación de células T reguladoras (células Treg) utilizando bacterias pertenecientes al género *Clostridium* o una sustancia fisiológicamente activa o similar derivada de las bacterias. Como la composición de la presente invención tiene efectos inmunosupresores, la composición puede usarse, por ejemplo, para prevenir o tratar enfermedades autoinmunitarias o enfermedades alérgicas, así como para suprimir el rechazo inmunológico en el trasplante de órganos o similares. Además, los individuos sanos pueden ingerir fácil y rutinariamente la composición como un alimento o bebida, tal como un alimento saludable, para mejorar sus funciones inmunitarias.

55

50

Lista de secuencias

SEQ ID NO: 1 a 20, 62 a 69

60 <223> Secuencia cebadora sintetizada de forma artificial

SEQ ID NO: 21 a 61

<223> Secuencia génica codificante de ARNr 16S de cada cepa de Clostridium

65

## **LISTA DE SECUENCIAS**

<b>-</b>	<110> The University of Tokyo <120> Composición para inducir la proliferación o acumulación de células T reguladoras				
5	<130> 11B1040011 <150> JP2010/129134 <151> 04-06-2010				
10	<150> PCT/JP2010/071746 <151> 03-12-2010 <160> 69 <170> PatentIn versión 3.1				
15	<210> 1 <211> 23 <212> ADN <213> Artificial				
20	<220> <223> Secuencia cebadora sintetizada de forma artificial <400> 1 ggcaatagtt ccttcccaga gtt	23			
25	<210> 2 <211> 22 <212> ADN <213> Artificial <220>				
30	<223> Secuencia cebadora sintetizada de forma artificial <400> 2 gggtcgcata ttgtggtact tg	22			
35	<210> 3 <211> 23 <212> ADN <213> Artificial				
40	<220> <223> Secuencia cebadora sintetizada de forma artificial <400> 3 ccttttgtag ccctgctcac tct	23			
	<210> 4 <211> 21 <212> ADN <213> Artificial				
45	<220> <223> Secuencia cebadora sintetizada de forma artificial <400> 4 gggtcacctg tatggcttca g	21			
50	<210> 5 <211> 21 <212> ADN <213> Artificial				
55	<220> <223> Secuencia cebadora sintetizada de forma artificial <400> 5 tcagtgcaag atctgcaagc a	21			
60	<210> 6 <211> 19 <212> ADN <213> Artificial <220>				
65	<220> <223> Secuencia cebadora sintetizada de forma artificial <400> 6 acaccggaag ccaaacaca	19			

5	<210> 7 <211> 27 <211> ADN <213> Artificial <220> <223> Secuencia cebadora sintetizada de forma artificial <400> 7 gattttaata agotocaaga coaaggt	27
10 15	<210> 8 <211> 27 <212> ADN <213> Artificial <220> <223> Secuencia cebadora sintetizada de forma artificial <400> 8 cttctatgca gttgatgaag atgtcaa	27
20 25	<210> 9 <211> 21 <212> ADN <213> Artificial <220> <223> Secuencia cebadora sintetizada de forma artificial <400> 9 cctcgtcccg tagacaaaat g	21
30 35	<210> 10 <211> 20 <212> ADN <213> Artificial <220> <223> Secuencia cebadora sintetizada de forma artificial <400> 10 tctccacttt gccactgcaa	20
40 45	<210> 11 <211> 20 <212> ADN <213> Artificial <220> <223> Secuencia cebadora sintetizada de forma artificial <400> 11 ggacattgtc tttgatggca	20
50	<210> 12 <211> 20 <212> ADN <213> Artificial <220> <223> Secuencia cebadora sintetizada de forma artificial <400> 12 cttgtcacgt ggtgtcactg	20
55 60	<210> 13 <211> 20 <212> ADN <213> Artificial <220> <223> Secuencia cebadora sintetizada de forma artificial <400> 13 tctctggacg tcaaatgtgg	20
65	<210> 14 <211> 19	

5	<212> ADN <213> Artificial <220> <223> Secuencia cebadora sintetizada de forma artificial <400> 14 gctgaacagc agagccttc	19
10	<210> 15 <211> 20 <212> ADN <213> Artificial <220> <223> Secuencia cebadora sintetizada de forma artificial	
15	<400> 15 aggtetggat cactecaagg	20
20	<210> 16 <211> 19 <212> ADN <213> Artificial <220> <223> Secuencia cebadora sintetizada de forma artificial <400> 16 tcgcctggac cataaagaa	19
25	<210> 17 <211> 20	
30	<212> ADN <213> Artificial <220> <223> Secuencia cebadora sintetizada de forma artificial <400> 17 agaggatgcg tgactttgtg	20
35 40	<210> 18 <211> 20 <212> ADN <213> Artificial <220> <223> Secuencia cebadora sintetizada de forma artificial <400> 18	
	atacagcaga ccttctggca <210> 19	20
45	<211> 20 <212> ADN <213> Artificial <220>	
50	<223> Secuencia cebadora sintetizada de forma artificial <400> 19 agagtttgat cmtggctcag	20
55	<210> 20 <211> 16 <212> ADN <213> Artificial <220> <223> Secuencia cebadora sintetizada de forma artificial <400> 20	
60	<400> 20 attaccgcgg ckgctg	16
65	<210> 21 <211> 1460 <212> ADN <213> Clostridium leptum <220>	

```
<221> ARNr
<222> (1)..(1460)
<223> Secuencia génica codificante de ARNr 16S de Clostridium cepa 1
                                                                        60
agagtttgat cctggctcag gatgaacgct ggcggcgtgc ttaacacatg caagtcgaac
                                                                       120
qaqaaccatt qqatcqaqqa ttcqtccaag tqaaggtggg gaaagtggcg gacgggtgag
                                                                       180
taacqcqtqa qcaatctqcc ttqqaqtqqq qaataacqqc tqqaaacaqc cqctaatacc
gcatgataca gctgggaggc atctccctgg ctgtcaaaga tttatcgctc tgagatgagc
                                                                       240
                                                                       300
tegegtetga ttagetagtt ggeggggtaa eggeecacca aggegaegat eagtageegg
actqaqaqqt tqqccqqcca cattqqqact gagacacggc ccagactcct acgggaggca
                                                                       360
gcagtgggga atattgggca atgggcgcaa gcctgaccca gcaacgccgc gtgaaggaag
                                                                       420
                                                                       480
aaggettteg ggttgtaaac ttettttgte agggacgaag caagtgacgg tacetgacac
                                                                       540
ggctactacg gtcagcagcg cgtatacgta ggtgccagcg tatccggaat tacctgggtt
aaqqcqtqtt aqccqqactg cagtcagatg tgaatcacgg gctcaacttg tgctgcattg
                                                                       600
                                                                       660
gaactgtagt tetgagtaet gagageagae ggaattetag gtageggtga atgegtagat
ataggaggac acagtgcgag gcgtctgctg acagcaactg acgctgaggc gggaagcgtg
                                                                       720
ggggagccaa caggattaga tacctggtag ttcacgcctg gtaaaacgat ggatactagg
                                                                       780
tqtqqqqqa ctqacccct cqtqqccqcc agttaacacc aataaagtat cccacctggg
                                                                       840
                                                                       900
agtacgatcg caaggttgaa actcaaagga attgacgggg cccgcacaag cggtggagta
tgtggtttaa ttcgaagcaa cgcgaagaac cttaccaggg cttgacatcc cgaggaccgg
                                                                       960
                                                                      1020
actagagata gtcttttctc ttcggagacc tcggtgacag gtggtgcatg gttgtcgtca
getegtgteg taagatgttg ggttaagtee egeaacgage geaaccetta ttgttagttg
                                                                      1080
ctacgcaaga gcactctagc gagactgccg ttgacaaaac ggaggaaggt ggggacgacg
                                                                      1140
tcaaatcatc atgcccctta tgtcctgggc cacacacgta ctacaatggt ggtcaacaga
                                                                      1200
gggaagcaat accgcgaggt ggagcaaatc cctaaaagcc atcccagttc ggatcgcagg
                                                                      1260
ctgcaacccg cctgcgtgaa gttggaatcg ctagtaatcg cggatcagca tgccgcggtg
                                                                      1320
aatacqttcc cqqqccttqt acacaccqcc cqtcacacca tqaqaqtcqq qaacacccqa
                                                                      1380
agtccgtagc ctaaccgcaa gggggggcgc ggccgaaggt gggttcgata attggggtga
                                                                      1440
                                                                      1460
agtcgtaaca aggtagccgt
<210> 22
<211> 1485
<212> ADN
<213> Clostridium leptum
<220>
<221> ARNr
<222> (1)..(1485)
<223> Secuencia génica codificante de ARNr 16S de Clostridium cepa 2
<400> 22
```

5

10

15

```
agagtttgat cctggctcag gatgaacgct ggcggcgtgc ttaacacatg caagtcgaac
                                                                      60
qqaqcacccc tqaaqqaqtt ttcqqacaac qqaaqqqact qcttagtggc qqacqqgtga
                                                                      120
gtaacgcgtg aggaacctgc cttggagtgg ggaataacag ctggaaacag ctgctaatac
                                                                      180
cgcataatat atctgggccg catggctctg gatatcaaag atttatcgct ctgagatgga
                                                                      240
ctcgcgtctg attagctagt tggcggggta acggcccacc aaggcgacga tcagtagccg
                                                                      300
qactqaqaqq ttqqccqqcc acattqqqac tqaqacacqq cccaqactcc tacqqqaqqc
                                                                      360
agcagtgggg aatattgggc aatgggcgca agcctgaccc agcaacgccg cgtgaaggaa
                                                                      420
                                                                      480
gaaggctttc gggttgtaaa cttcttttgt cagggacgaa gcaagtgacg gtacctgacg
aataagccac ggctaactac gtgccagcag cogcggtaat acgtaggtgg caagcgttat
                                                                      540
ccggatttac tgggtgtaaa gggcgtgtag gcgggactgc aagtcagatg tgaaaaccac
                                                                      600
gggctcaacc tgtgggcctg catttgaaac tgtagttctt gagtactgga gaggcagacg
                                                                      660
                                                                      720
gaattctagt tgtagcgtga aatgcgtaga tatagaagaa cacagttgcg gagccggtct
gcaactgacg ctgagcgcga aagcgtgggg agcaaacagg attagatacc ctggtagtcc
                                                                      780
acgctgtaaa cgatggatta ctaggtgtgg ggggactgac cccctccgtg ccgcagttaa
                                                                      840
                                                                      900
cacaataagt atcccacctg gggagtacga tcgcaaggtt gaaactcaaa aggaattgac
                                                                      960
gggggcccgc acaagcggtg gagtatgtgg tttaaattcg aagcaacgcg aagaacctta
ccagggettg acateceggt gacegteeta gagataggat tttecetteg gggacactgg
                                                                    1020
agacaggtgg tqcatggttg tcgtcagctc gtgtcgtgag atgttgggtt aagtcccgca
                                                                    1080
acgagogoaa coottattgt tagttgotac gcaagagoac totagogaga ctgccgttga
                                                                    1140
caaaacggag gaaggtgggg acgacgtcaa atcatcatgc cccttatgtc ctgggccaca
                                                                    1200
cacqtactac aatqqtqqtc aacaqaqqqa aqcaaaqccq cqaqqtqqaq caaatcccta
                                                                    1260
aaagccatcc cagttcggat cgcaggctgc aacccgcctg cgtgaagttg gaatcgctag
                                                                    1320
                                                                    1380
taatcgcgga tcagaatgcc gcggtgaata cgttcccggg ccttgtacac accgcccgtc
acaccatgag agtogggaac accogaagto ogtagootaa oogcaagggg ggogggoog
                                                                    1440
aaggtgggtt cgataattgg ggtgaagtcg taacaaggta gccgt
                                                                    1485
```

<sup>&</sup>lt;210> 23

<sup>&</sup>lt;211> 1491

<sup>5 &</sup>lt;212> ADN

<sup>&</sup>lt;213> Clostridium leptum

<sup>&</sup>lt;220>

<sup>&</sup>lt;221> ARNr

<sup>&</sup>lt;222> (1)..(1491)

<sup>10 &</sup>lt;223> Secuencia génica codificante de ARNr 16S de *Clostridium* cepa 3

<sup>&</sup>lt;400> 23

```
60
agagtttgat cctggctcag gacgaacgct ggcggcgtgc ttaacacatg caagtcgaac
qqaqcacctt cqaaaqaqac ttcqqtcaat qqaaaaqaat gcttaqtqqc qqacqqqtqa
                                                                       120
                                                                       180
gtaacgcgtg aggaacctgc ctttcagtgg gggacaacag ttggaaacga ctgctaatac
cgcataacgt acgggtatcg catggtatct gtaccaaaga tttatcgctg agagatggcc
                                                                       240
                                                                       300
togogtotga ttagotagtt ggtagggtaa oggoctacca aggogacgat cagtagoogg
actgagaggt tggccggcca cattgggact gagatacggc ccagactcct acgggaggca
                                                                       360
gcagtgggga atattgggca atgggcgaaa gcctgaccca gcaacgccgc gtgaaggaag
                                                                       420
                                                                       480
aaggettteg ggttgtaaac ttettttgae ggggaagage agaagaeggt acetgtegaa
taagccacgg ctaactacgt gccagcagcc gcggtaatac gtaggtggca agcgttgtcc
                                                                       540
ggatttactg ggtgtaaagg gcgtgtagcc gggctgacaa gtcagatgtg aaatccgggg
                                                                       600
                                                                       660
gctcaacccc cgaactgcat ttgaaactgt tggtcttgag tatcggagag gcaggeggaa
ttcctaqtqt aqcqqtqaaa tqcqtaqata ttaqqqqqaa caccaqtqqc qaaqcqqcct
                                                                       720
gctggacgac aactgacggt gaggcgcgaa agcgtgggga gcaaacagga ttagataccc
                                                                       780
tggtagtcca cgctgtaaac gatggatact aggtgtgcgg ggactgaccc ctgcgtgccg
                                                                       840
cagctaacgc aataagtatc ccacctgggg agtacgatcg caaggttgaa actcaaagga
                                                                       900
attgacgggg gcccgcacaa gcggtggatt atgtggttta attcgatgca acgcgaagaa
                                                                       960
cettaccagg gettgacate etactaacga agtagagata cattaggtac cetteggggg
                                                                      1020
aagtagagac aggtggtgca tggttgtcgt cagctcgtgt cgtgagatgt tgggttaagt
                                                                      1080
cccgcaacga gcgcaaccct tattgttagt tgctacgcaa gagcactcta.gcgagactgc
                                                                      1140
cgttgacaaa acggaggaag gtggggacga cgtcaaatca tcatgcccct tatgtcctgg
                                                                      1200
gctacacacg taatacaatg gcggtcaaca gagggatgca aaaccgcgag gtggagcgaa
                                                                      1260
cccctaaaag ccgtcccagt tcagatcgca gtctgcaacc cgactgcgtg aagtcggaat
                                                                      1320
cgctagtaat cgcggatcag catgccgcgg tgaatacgtt cccgggcctt gtacacaccg
                                                                      1380
cccqtcacac catqaqaqtc qqqaacaccc qaaqtccqta qcctaaccqc aaqqaqqqcq
                                                                      1440
                                                                      1491
cggccgaagg tgggttcgat aattggggtg aagtcgtaac aaggtagccg t
<210> 24
<211> 1491
<212> ADN
<213> Clostridium coccoides
<220>
<221> ARNr
<222> (1)..(1491)
<223> Secuencia génica codificante de ARNr 16S de Clostridium cepa 4
<400> 24
agagtttgat cctggctcag gatgaacgct ggcggcgtgc ctaacacatg caagtcgaac
                                                                        60
qqqtqtacqq gqaqgaaqqc ttcqqccqqa aaacctqtqc atqaqtqqcq gacqqqtqaq
                                                                       120
```

5

10

taacgcgtgg	gcaacctggc	ctgtacaggg	ggataacact	tagaaatagg	tgctaatacc	180
gcataacggg	ggaagccgca	tggcttttcc	ctgaaaactc	cggtggtaca	ggatgggccc	240
gcgtctgatt	agccagttgg	cagggtaacg	gcctaccaaa	gcgacgatca	gtagccggcc	300
tgagagggcg	gacggccaca	ctgggactga	gacacggccc	agactcctac	gggaggcagc	360
agtgggggat	attgcacaat	ggggggaaac	cctgatgcag	cgacgccgcg	tgagtgaaga	420
agtatttcgg	tatgtaaagc	tctatcagca	gggaagaaaa	tgacggtacc	tgactaagaa	480
gccccggcta	actacgtgcc	agcagccgcg	gtaatacgta	gggggcaagc	gttatccgga	540
tttactgggt	gtaaagggag	cgtagacggc	agcgcaagtc	tgagtgaaat	cccatggctt	600
aaccatggaa	ctgctttgga	aactgtgcag	ctggagtgca	ggagagtaag	cggaattcct	660
agtgtagcgt	gaaatgcgta	gattatagga	ggaacaccag	tggcgaaggc	ggctaactga	720
actgtaactg	acgttgaggc	tcgaaagcgt	ggggagcaaa	caggattaga	taccctggta	780
gtccacgccg	taaacgatga	ttactaggtg	ttgggggacc	aaggtcttcg	gtgccggcgc	840
aaacgcatta	agtaatccac	ctggggagta	cgttcgcaag	aatgaaactc	aaaggaattg	900
acggggaccc	gcacaagcgg	tggagcatgt	ggtttaattc	gaagcaacgc	gaagaacctt	960
acctggtctt	gacatcccga	tgacgagtga	gcaaagtcac	tttcccttcg	gggcattgga	1020
gacaggtggt	gcatggttgt	cgtcagctcg	tgtcgtgaga	tgttgggtta	agtcccgcaa	1080
cgagcgcaac	ccctatttcc	agtagccagc	aggtagagct	gggcactctg	gagagactgc	1140
ccgggataac	cgggaggaag	gcggggatga	cgtcaaatca	tcatgcccct	tatgatcagg	1200
gctacacacg	tgctacaatg	gcgtaaacaa	agggaagcga	gacggtgacg	ttgagcaaat	1260
cccaaaaata	acgtcccagt	tcggattgta	gtctgcaact	cgactacatg	aagctggaat	1320
cgctagtaat	cgcgaatcag	aatgtcgcgg	tgaatacgtt	cccgggtctt	gtacacaccg	1380
cccgtcacac	catgggagtc	ggaaatgccc	gaagtcagtg	acctaaccga	aaggaaggag	1440
ctgccgaagg	tggagccggt	aactggggtg	aagtcgtaac	aaggtagccg	t	1491
<210> 25 <211> 1467 <212> ADN <213> Clostridium leptum <220> <221> ARNr <222> (1)(1467) <223> Secuencia génica codificante de ARNr 16S de Clostridium cepa 5						
<400> 25 agagtttgat co	tggctcag ga	cgaacgct g	geggeaege e	taacacatg c	aagtcgaac	60
ggagtgaaga to	gctcgcatc to	gaacttagt go	geggaeggg t	gagtaacac g	tgagcaacc	120
tgcctttcag ag	ggggatta co	gtttggaaa co	gaacgctaa ta	accgcataa a	atatcggag	180
togoatggca ct	igatatcaa aq	ggagcaatc co	gotgaaaga t	gggctcgcg to	ccgattagg	240
cagttggcgg gg	gtatoggoo ca	accaaaccg ac	caatcggta go	ccggactga g	aggttgaac	300

	ggccacattg	ggactgagac	gcggcccaga	ctcctacggg	aggcagcagt	gggggatatt	360
	gcacaatggg	ggaaaccctg	atgcagcgat	gccgcgtgaa	tgaagacggc	cttcgggttg	420
	taaagttctg	tcgcagggga	cgaaaatgac	ggtaccctgc	aagaaagctc	cggctaacta	480
	cgtgccagca	gccgcggtaa	tacgtaggga	gcaagcgttg	tccggaatta	ctgggtgtaa	540
	agggagcgta	ggcgggagga	taagttgaat	gtgaaatcta	tgggctcaac	ccatagctgc	600
	gttcaaactg	ttcttcttga	gtgaagtaga	ggcaggcgga	attcctagtg	tagcggtgaa	660
	atgcgtagat	attaggagga	caccagtggc	gaaggcgggc	tgctgggctt	tactgacgct	720
	gaggctcgaa	agcgtgggta	gcaaacagga	ttagataccc	tggtagtcca	cgcggtaaac	780
	gatgattact	aggtgtgggt	ggactgaccc	catccgtgcc	ggagttaaca	caataagtaa	840
	tccacctggg	gagtacggcc	gcaaggttga	aactcaaagg	aattgacggg	ggcccgcaca	900
	agcagtggag	tatgtggttt	aattcgacgc	aacgcgaaga	accttaccag	gtcttgacat	960
	cgagtgacgg	acatagagat	atgtctttcc	ttcgggacac	gaagacaggt	ggtgcatggt	1020
	tgtcgtcagc	tcgtgtcgtg	agatgttggg	ttaagtcccg	caacgagcgc	aacccttacc	1080
	attagttgct	acgcaagagc	actctaatgg	gactgccgtt	gacaaaacgg	aggaaggtgg	1140
	ggatgacgtc	aaatcatcat	gccccttatg	acctgggcga	cacacgtact	acaatggcgg	1200
	tcaacagagg	gaggcaaagc	cgcgaggcag	agcaaacccc	taaaagccgt	ctcagttcgg	1260
	attgcaggct	gcaactcgcc	tgcatgaagt	cggaattgct	agtaatcgcg	gatcagcatg	1320
	ccgcggtgaa	tacgttcccg	ggccttgtac	acaccgcccg	tcacaccatg	agagccggta	1380
	acacccgaag	tcaatagtct	aaccgcaagg	aggacattgc	cgaaggtggg	attggtaatt	1440
	ggggtgaagt	cgtaacaagg	tagccgt				1467
_	40. 00						

<210> 26

<211> 1474

5 <212> ADN

<213> Clostridium coccoides

<220>

<221> ARNr

<222> (1)..(1474)

10 <223> Secuencia génica codificante de ARNr 16S de *Clostridium* cepa 6

<400> 26

agagtttgat catggctcag gatgaacgct ggcggcgtgc ctaacacatg caagtcgaac 60 gggtgtacgg gaaggaaggc ttcggccgga aaacctgtgc atgagtggcg gacgggtgag 120 taacgcgtgg gcaacctggc ctgtacaggg ggataacact tagaaatagg tgctaatacc 180 gcataacggg ggaagccgca tggctttcc ctgaaaactc cggtggtaca ggatgggcc 240 gcgtctgatt agccagttgg cagggtaacg gcctaccaaa gcgacgatca gtagccggcc 300 tgagagggga actgccaca ctgggactga gacacggccc agactcctac gggaggcagc 360 agtggggat attgcacaat ggggggaacc ctgatgcagc gacgccgcgt gggtgaagaa 420

```
gcgcctcggc gcgtaaagcc ctgtcagcag ggaagaaaat gacggtacct gaagaagaag
                                                                         480
  ccccggctaa ctacgtgcca gcagccgcgg taatacgtag gggggcaagc gttatccgga
                                                                         540
  tttactgggt gtaaaggggg cgcagacggc gatgcaagcc aggagtgaaa gcccggggcc
  caaccccqqq actqctcttq qqaactqcqt gqctqqaqtq cagaqgqcaq cggaattcct
                                                                         660
  ggtgaaatgc gtagatatca gaagacacgg tgcgaggcgg cctgctgact gcactgacgt
                                                                         720
                                                                         780
  tgagccgaag cgtggggagc aaacaggatt agataccgtg gtagtcacgc cgtaaacgat
  gattactagg tgtcggggag cagagactgc ccggtgccgc agccaacgca ttaagtaatc
                                                                         840
                                                                         900
  cacctgggga gtacgttcgc aagaatgaaa ctcaaaggaa ttgacgggga cccgcacaag
                                                                         960
  cqqtqqaqca tqtqqtttaa ttcqaaqcaa cqcqaaqaac cttacctqqt cttqacatcc
                                                                        1020
  cqatqacqaq tqaqcaaaqt cactttccct tcggggcatt ggagacaggt ggtgcatggt
  tgtcgtcagc tcgtgtcgtg agatgttggg ttaagtcccg caacgagcgc aacccctatt
                                                                        1080
  tecagtagee ageaggtaga getgggeaet etggagagae tgecegggat aacegggagg
                                                                        1140
                                                                        1200
  aaggegggga tgaegteaaa teateatgee eettatgate agggetaeae aegtgetaea
                                                                        1260
  atggcgtaaa caaagggaag cgagacggtg acgttaagca aatcccaaaa ataacgtccc
  agtteggatt gtagtetgea actegactae atgaagetgg aategetagt aategegaat
                                                                        1320
                                                                        1380
  cagaatgtcg cggtgaatac gttcccgggt cttgtacaca ccgcccgtca caccatggga
                                                                        1440
  gtcggaaatg cccgaagtca gtgacctaac cgaaaggaag gagctgccga aggtggagcc
                                                                        1474
  ggtaactggg gtgaagtcgt aacaaggtag ccgt
<210> 27
<211> 1484
<212> ADN
<213> Clostridium leptum
<220>
<221> ARNr
<222> (1)..(1484)
<223> Secuencia génica codificante de ARNr 16S de Clostridium cepa 7
<400> 27
  agagtttgat cctggctcag gatgaacgct ggcggcgtgc ttaacacatg caagtcgaac
                                                                          60
  gagaatccag tgaaggagtt ttcggacaac ggatctggag gaaagtggcg gacgggtgag
                                                                         120
  taacqcqtqa qcaatctqcc ttqqaqtqqq qaataacqqt tqqaaacagc cqctaatacc
                                                                         180
  gcatgatgcg tctgggaggc atctctctgg acgccaaaga tttatcgctc tgagatgagc
                                                                         240
                                                                         300
  tcgcgtctga ttagcttgtt ggcggggtaa aggcccacca aggcgacgat cagtagccgg
  actgagaggt tggccggcca cattgggact gagacacggc ccagactcct acgggaggca
                                                                         360
  gcagtgggga atattgggca atgggcgcaa gcctgaccca gcaacgccgc gtgaaggaag
                                                                         420
  aaggettteg ggttgtaaac ttetttetg agggacgaag aaagtgaegg taceteagga
                                                                         480
  ataagccacg gctaactacg tgccagcagc cgcggtaata cgtaggtggc aagcgttatc
                                                                         540
```

5

10

600

cqqatttatt qqqtqtaaaq qqcqtqtaqq cqqqaaaqca aqtcaqatqt qaaaactcaq

```
660
ggctcaaccc tgagcctgca tttgaaactg tttttcttga gtgctggaga ggcaatcgga
                                                                       720
attoogtgtg tagoggtgaa atgogtagat ataoggagga caccagtggo gagoggattg
ctggacagta ctgacgctga agcgcgaaag cgtgggagca aacagataga tacctggtag
                                                                       780
                                                                       840
tcacgcgtaa acgatggata ctaggtgtgg ggggactgac cccctccgtg ccgcagctaa
cgcaataagt atcccacctg gggagtacga tcgcaaggtt gaaactcaaa ggaattgacg
                                                                       900
                                                                       960
ggggcccgca caagcggtgg agtatgtggt ttaattcgaa gcaacgcgaa gaaccttacc
agggettgae atectgetaa egaaceagag atggattagg tgeeettegg ggaaageaga
                                                                      1020
gacaggtggt gcatggttgt cgtcagctcg tgtcgtgaga tgttgggtta agtcccgcaa
                                                                      1080
cgagegeaac cottattgtt agttgctaeg caagageact ctagegagac tgeegttgae
                                                                      1140
                                                                      1200
aaaacggagg aaggtgggga cgacgtcaaa tcatcatgcc ccttacgtcc tgggccacac
acgtactaca atggcggcca acaaagagag gcaagaccgc gaggtggagc aaatctcaaa
                                                                      1260
                                                                      1320
aagccqtccc aqttcqqatc qcaqqctqca acccqcctqc qtqaaqttqq aatcqctaqt
aatcgcggat cagcatgccg cggtgaatac gttcccgggc cttgtacaca ccgcccgtca
                                                                      1380
caccatgaga gtogggaaca cocgaagtoo gtagootaac ogcaaggggg gogoggooga
                                                                      1440
aggtgggttc gataattggg gtgaagtcgt aacaaggtag ccgt
                                                                      1484
<210> 28
<211> 1483
<212> ADN
<213> Clostridium leptum
<220>
<221> ARNr
<222> (1)..(1483)
<223> Secuencia génica codificante de ARNr 16S de Clostridium cepa 8
agagtttgat cctggctcag gacgaacgct ggcggcgtgc ttaacacatg caagtcgaac
                                                                        60
ggagcacccc tgaaggagtt ttcggacaac ggatgggaat gcttagtggc ggactggtga
                                                                       120
                                                                       180
gtaacgcgtg aggaacctgc cttccagagg gggacaacag ttggaaacga ctgctaatac
cgcatgatgc gttggagccg catgactccg acgtcaaaga tttatcgctg gaagatggcc
                                                                       240
                                                                       300
tegegtetga ttagetagtt ggtgaggtaa eggeecacea aggegaegat eagtageegg
actgagaggt tggccggcca cattgggact gagatacggc ccagactcct acgggaggca
                                                                       360
                                                                       420
gcagtgggga atattgggca atggacgcaa gtctgaccca gcaacgccgc gtgaaggaag
aaggettteg ggttgtaaae ttettttaag ggggaagage agaagaeggt acceettgaa
                                                                       480
taagccacgg ctaactacgt gccagcagcc gcggtaatac gtaggtggca agcgttgtcc
                                                                       540
ggatttactg ggtgtaaagg gcgtgcagcc ggagagacaa gtcagatgtg aaatccacgg
                                                                       600
qctcaacccg tgaactgcat ttgaaactgt ttcctttgag tgtcggagag gtaatcggga
                                                                       660
ttccttgtgt agcggtgaat gcgtagatat agagaccaca gtgccgacgc cgaatactga
                                                                       720
```

5

```
cgatactgac ggtgagcgcg aaagcgtggg gagcaaacag gattagatac cctggtagtc
                                                                     780
cacgctgtaa acgatcgata ctaggtgtgc ggggactgac ccctgcgtgc cggagttaac
                                                                     840
                                                                     900
acaataagta tcgcacctgg ggagtacgat cgcaaggttg aaactcaaag gaattgacgg
qqqcccqcac aaqcqqtqqa ttatqtqqtt taattcqaaq caacqcqaaq aaccttacca
                                                                     960
                                                                    1020
gggcttgaca tcctgctaac gaagtagaga tacattaggt gcccttcggg gaaagcagag
acaggtggtg catggttgtc gtcagctcgt gtcgtgagat gttgggttaa gtcccgcaac
                                                                    1080
                                                                    1140
qaqcqcaacc cctattqtta qttqctacqc aaqaqcactc taqcqaqact gccqttqaca
aaacggagga aggcggggac gacgtcaaat catcatgccc cttatgtcct gggctacaca
                                                                    1200
cgtaatacaa tggcggttaa caaagggatg caaagccgcg aggcagagcg aaccccaaaa
                                                                    1260
ageogtecca gtteggateg caggetgeaa ceegeetgeg tgaagtegga ategetagta
                                                                    1320
                                                                    1380
atogoggate ageatgeege ggtgaataeg tteeegggee ttgtacaeae egeeegteae
accatgagag togggaacac oogaagtoog tagootaaco gcaaggaggg ogoggoogaa
                                                                    1440
ggtgggttcg ataattgggg tgaagtcgta acaaggtagc cgt
                                                                    1483
```

<210> 29

<211> 1480

5 <212> ADN

<213> Clostridium coccoides

<220>

<221> ARNr

<222> (1)..(1480)

10 <223> Secuencia génica codificante de ARNr 16S de Clostridium cepa 9

<400> 29

qgagtttgat cctggctcag gatgaacgct ggcggcgtgc ttaacacatg caagtcgaac 60 120 gggctcatat tgaaacctag tgatgtatga gttagtggcg gacgggtgag taacgcgtgg agaacctgcc gtatactggg ggataacact tagaaatagg tgctaatacc gcataagcgc 180 acagettege atgaageagt gtgaaaaact ceggtggtat acgatggate egegtetgat 240 tagctggttg gcggggtaac agcccaccaa ggcgacgatc agtagccggc ctgagagggt 300 360 gaacggccac attgggactg agacacggcc caaactecta egggaggcag cagtggggaa tattgcacaa tgggggaaac cctgatgcag cgacgccgcg tgagtgaaga agtatttcgg 420 tatgtaaagc tctatcagca gggaagaaat actgacctta cggtcagcag acggtacctg 480 540 actaaqaaqc cccqqqctaa ctacqtqcca qcaqccqcqq taatacqtag gggcaagcqt tatooggatt tactgggtgt aaagggggcg cagacggcga tgcaagccag gagtgaaagc 600 cggggcccaa ccccgggact gctcttggac tgcgtggctg gagtgcagag ggcagcgaat 660 720 tectqtqtaq egtgaatgeg tagatteaga ggacaegtge gagegeetge tgactgeact gacgtgagcc cgaagcgtgg ggagcaaaca ggattagata cctggtagtc cacgccgtaa 780 acqatqatta ctaqqtqtcq qqqaqcaqaq actqcccqqt qccqcaqcca acqcattaaq 840 taatccacct ggggagtacg ttcgcaagaa tgaaactcaa aggaattgac ggggacccgc 900

```
960
  acaaqcqqtq qaqcatqtqq tttaattcqa aqcaacqcga agaaccttac caggccttga
                                                                       1020
  catececety gatggecegt aacggggtea geettteggg geaggggaga eaggtggtge
  atggttgtcg tcagctcgtg tcgtgagatg ttgggttaag tcccgcaacg agcgcaaccc
                                                                       1080
  ctgcccgcag tagccagcat tttagatggg gacttgcgg ggactgccgg ggacaacccg
                                                                       1140
  gaggaaggeg gggatgaegt caaatcatea tgeecettat ggeetggget acacaegtge
                                                                       1200
  tacaatqqcq ccqacaqaqq qaqqcqaaqc ggcgacgcgg agcgaacccc aaaaacggcg
                                                                       1260
                                                                       1320
  teccaqtteq gattqtagte tgeaaceega etacatgaag eeggaatege tagtaatege
  qqatcaqaat qccqcqqtqa atacqttccc qggtcttgta cacaccgccc gtcacaccat
                                                                       1380
                                                                       1440
  gggagccggg aatgcccgaa gtctgtgacc gaacccgtaa ggggaggggc agccgaaggc
                                                                       1480
  aggcccggtg actggggtga agtcgtaaca aggtagccgt
<210> 30
<211> 1489
<212> ADN
<213> Clostridium leptum
<220>
<221> ARNr
<222> (1)..(1489)
<223> Secuencia génica codificante de ARNr 16S de Clostridium cepa 10
<400> 30
agagtttgat cctqqctcaq qatqaacqct qqcqqcqtqc ttaacacatg caagtcgagc
                                                                        60
gaagcacttt tttagaactc ttcggaggga agagaggtg acttagcggc ggacgggtga
                                                                       120
qtaacqcqtq qqcaacctqc cttacacagg gggataacaa ttagaaatga ttgctaatac
                                                                       180
                                                                       240
cqcataaqac cacqqtactq catqqtacaq tqqtaaaaac tqaqqtqqtq taaqatqqqc
                                                                       300
ccgcgtctga ttaggtagtt ggtggggtag aagcctacca agccgacgat cagtagccga
                                                                       360
cctqaqaqqq cgaccggcca cattqggact gagacacggc ccaaactcct acgggaggca
qcaqtqqqqa atattqcaca atqqqqqaaa ccctqatqca qcqacqccqc qtqaqtqaqq
                                                                       420
                                                                       480
aagtatttcg gtatgtaaag ctctatcagc agggaagaaa atgacggtac ctgactaaga
agecccggc taactacgtg ccagcagccg cggtaatacg tagggggcaa gcgttatccg
                                                                       540
gatttactgg gtgtaaaggg agcgtagacg gacttgcaag tctgatgtga aaatccgggg
                                                                       600
                                                                       660
cccaacccgg gactgcattg aaactgtatt ttttggaggg gtccgaggag gcaagtggaa
tcctgggtag cggtgaaatg gcgtagaatt cagggaggaa caccagtggc ggaaggcgaa
                                                                       720
                                                                       780
ttactqqacq ataactqacq qtqaqqcqcq aaqcqtqqqa qcaaacaaqa attaqatacc
ctqqtaqtca cqctqtaacg atcgatacta ggtgtgcggg gactgacccc tgcgtgccgg
                                                                       840
```

agttaacaca ataagtatcg cactggggag tacgatcgca aggttgaaac tcaaaggaat tqacqqqqqc ccgcacaagc ggtggattat gtggtttaat tcgaagcaac gcgaagaacc

ttaccagggc ttgacatect gctaacgaag tagagataca ttaggtgeec tteggggaaa

5

10

900

960

	gcagagacag	gtggtgcatg	gttgtcgtca	gctcgtgtcg	tgagatgttg	ggttaagtcc	1080
	cgcaacgagc	gcaaccccta	ttgttagttg	ctacgcaaga	gcactctagc	gagactgccg	1140
	ttgacaaaac	ggaggaaggc	ggggacgacg	tcaaatcatc	atgcccctta	tgtcctgggc	1200
	tacacacgta'	atacaatggc	ggttaacaaa	gggatġcaaa	gccgcgaggc	agagcgaacc	1260
	ccaaaaagcc	gtcccagttc	ggatcgcagg	ctgcaacccg	cctgcgtgaa	gtcggaatcg	1320
	ctagtaatcg	cggatcagca	tgccgcggtg	aatacgttcc	cgggccttgt	acacaccgcc	1380
	cgtcacacca	tgagagtcgg	gaacacccga	agtccgtagc	ctaaccgcaa	ggagggcgcg	1440
	gccgaaggtg	ggttcgataa	ttggggtgaa	gtcgtaacaa	ggtagccgt		1489
2	10> 31 11> 1490 12> ADN						

<2

<2

5 <2

<213> Clostridium leptum

<220>

<221> ARNr

<222> (1)..(1490)

10 <223> Secuencia génica codificante de ARNr 16S de Clostridium cepa 11

<400> 31 agagtttgat cctggctcag gatgaacgct ggcggcgtgc ttaacacatg caagtcgaac 60 gagaatccag tgaaggagtt ttcggacaac ggatctggag gaaagtggcg gacgggtgag 120 taacqcqtqa qcaatctqcc ttqqaqtqqq gaataacqqt tqqaaacaqc cqctaatacc 180 qcatgatgcg tctgggaggc atctctctgg acgccaaaga tttatcgctc tgagatgagc 240 togoqtotqa ttagottgtt qqoqqqqtaa aggoccacca aggoqacgat cagtagoogg 300 360 actgagaggt tggccggcca cattgggact gagacacggc ccagactcct acgggaggca qcaqtqqqqa atattqqqca atqqqcqcaa gcctqaccca gcaacqccqc gtqaaqqaaq 420 480 aaggettteg ggttgtaaac ttetttetg agggaegaag aaagtgaegg taceteagga ataaqccacq qctaactacq tqccaqcaqc cqcqqtaata cqtaqqtqqc aaqcqttatc 540 cggatttatt gggtgtaaag ggcgtgtagg cgggaaagca agtcagatgt gaaaactcag 600 qqctcaaccc tqaqcctqca tttqaaactq tttttcttqa qtqctqqaqa qqcaatcqqa 660 720 attccgtgtt gtagcggtga aatgcgtaga ttataccgga ggaaccacca gtggcggaag qcqqattqct qqaacaqtaa ctqacqctqa qgcqccqaaa qcqtqqqqaq caaacaqqat 780 840 agataccctg gtagtccacg ccgtaaacga tggatactaa gtgtggggga ctgacccctt cqtqcccaqc taaqcaataa qtttcccacc tqqqqaqtac qatcqcaqqt qaaactcaaa 900 ggaattgacg ggggcccgcc caagcgggtg gagtaggggt taattggagc aacgggaaga 960 accttaccag ggcttgacat cctgtaacga accagaagag ggattaggtg ccttcgggga 1020 aagcagagac aggtggtgca tggttgtcgt cagctcgtgt cgtgagatgt gggtaaagtc 1080 ccgcaacqaq cqcaaccctt attgttagtt gctacqcaaq agcactctag cqaqactgcc 1140 gttgacaaaa cggaggaagg tggggacgac gtcaaatcat catgcccctt acgtcctggg 1200

```
1260
  ccacacacgt actacaatqq cqqccaacaa aqaqaqqcaa qaccqcqaqq tqqaqaaaat
                                                                        1320
  ctcaaaaagc cgtcccagtt cggatcgcag gctgcaaccc gcctgcgtga agttggaatc
                                                                        1380
  gctagtaatc gcggatcagc atgccgcggt gaatacgttc ccgggccttg tacacaccgc
                                                                        1440
  ccqtcacacc atgagagtcq qgaacacccq aagtccgtag cctaaccgca aggggggcgc
  qqccqaaqqt qqqttcqata attqqqqtqa aqtcqtaaca aggtagccgt
                                                                        1490
<210> 32
<211> 1489
<212> ADN
<213> Clostridium coccoides
<220>
<221> ARNr
<222> (1)..(1489)
<223> Secuencia génica codificante de ARNr 16S de Clostridium cepa 12
<400> 32
agagtttgat catggctcag gatgaacgct ggcggcgtgc ttaacacatg caagtcgaac
                                                                        60
gggctcatat tgaaacctag tgatgtatga gttagtggcg gacgggtgag taacgcgtgg
                                                                       120
aqaacctqcc qtatactqqq qqataacact taqaaataqq tqctaatacc qcataaqcqc
                                                                       180
                                                                       240
acagettege atgaageagt gtgaaaaact eeggtggtat acgatggate egegtetgat
tagctggttg gcggggtaac agcccaccaa ggcgacgatc agtagccggc ctgagagggt
                                                                       300
                                                                       360
quacqqccac attqqqactq aqacacqqcc caaactccta cqqqaqqcaq caqtqqqqaa
tattgcacaa tgggggaaac cetgatgcag cgacgccgcg tgagtgaaga agtatttcgg
                                                                       420
                                                                       480
tatgtaaagc totatcagca gggaagaaat actgacctta cggtcagcag acggtacctg
actaagaagc cccggctaac tacgtgccag cagccgcggt aatacgtagg gggcaagcgt
                                                                       540
                                                                       600
tatccggatt tactgggtgt aaagggagcg tagacggcag cgcaagtctg aagtgaaatc
ccatggctta accatggaac tgctttggaa actgtgcagc tggagtgcag gagaggtaag
                                                                       660
                                                                       720
cggaattcct agtgtagcgg tgaatgcgta gatattagag gacaccagtg gcgatgcggc
ttactggact gtactgacgt tgagctcgaa agcgtgggga gcaccagaat tagaatactg
                                                                       780
                                                                       840
tagtcacgec gtaaccgatg atactaggtg tgggggacca aggtctcgtg ccggcggcaa
acgcattaag taatccacct ggggagtacg ttcgcaagaa tgaaactcaa aggaattgac
                                                                       900
ggggacccgc acaagcggtg gagcatgtgg tttaattcga agcaacgcga agaaccttac
                                                                       960
ctggtcttga catcccgatg acgagtgage aaagtcactt tcccttcggg gcattggaga
                                                                      1020
caqqtqqtqc atqqttqtcq tcaqctcqtq tcqtqaqatq ttqqqttaaq tcccqcaacq
                                                                      1080
agegeaacce ctatttccag tagecageag gtagagetgg geactetgga gagaetgeec
                                                                      1140
                                                                      1200
gggataaccg ggaggaaggc ggggatgacg tcaaatcatc atgcccctta tgatcagggc
tacacacgtg ctacaatggc gtaaacaaag ggaagcgaga cggtgacgtt aagcaaatcc
                                                                      1260
caaaaataac gtcccagttc ggattgtagt ctgcaactcg actacatgaa gctggaatcg
                                                                      1320
ctagtaatcg cgaatcagaa tgtcgcggtg aatacgttcc cgggtcttgt acacaccgcc
                                                                      1380
                                                                      1440
cgtcacacca tgggagtcgg aaatgcccga agtcagtgac ctaaccgaaa ggaaggagct
                                                                      1489
gccgaaggtg gagccggtaa ctggggtgaa gtcgtaacaa ggtagccgt
```

15

5

10

<210> 33 <211> 1456

```
<212> ADN
<213> Clostridium coccoides
<220>
<221> ARNr
<222> (1)..(1456)
<223> Secuencia génica codificante de ARNr 16S de Clostridium cepa 13
<400> 33
agagtttgat catggctcag gatgaacgct ggcggcgtgc ttaacacatg caagtcgaac
                                                                         60
                                                                        120
gaagcacttg agaacqattc ttcggatgag gacttttgtg actgagtggc ggacgggtga
gtaacgcgtg ggtaacctgc cctatacagg gggataacag ttagaaatga ctgctaatac
                                                                        180
                                                                        240
cqcataaqcq cactaaaacc qcatqqttcq qtqtqaaaaa ctqaqqtqqt ataqqatqqa
                                                                        300
cccgcgtctg attagcttgt tggtggggta acggctcacc aaggcgacga tcagtagccg
qcctqaqaqq qcqaccqqcc acattqqqac tqaqacacqq cccaaactcc tacqqqaqqc
                                                                        360
                                                                        420
agcagtgggg gatattgcac aatgggggga accetgatge agegaegeeg egtgggtgaa
gaagegeete ggegegtaaa geeetgteag cagggaagaa aatgaeggta eetgaagaag
                                                                        480
                                                                        540
aagccccggc taactacgtg ccagcagccg cggtaatacg taggggcaag cgttattccg
qqatttactq qqtqtaaaqq qqqcqcaqac gqcqatqcaa qccaqqaqtq aagcccqqqq
                                                                        600
cccacccggg actgctcttg gactgcgtgc tggagtgcag aaggggcagc gatcctgtgt
                                                                        660
accgtgaatt gcgtagatat cagagacacg ttgcgagcgc tgctgactgc actgacgtga
                                                                        720
                                                                        780
gcgaagctgg agcacagata gatactgtag tcagcgtaac gatgatacta gtgtcgggag
cagagactgc ccqttqcqqc agcccaacgc attagtattc cacttgggga gtacgtttcg
                                                                        840
cagaatgaac ttcaaggaaa tgacggggac ccgcacaagg cggtggagca tgtggtttaa
                                                                        900
ttogaagoaa ogogaagaao ottacoaggo ottgacatoo occotggatg gooogtaaog
                                                                        960
                                                                       1020
gggtcagcct ttcggggcag gggagacagg tggtgcatgg ttgtcgtcag ctcgtgtcgt
gagatgttgg gttaagtccc gcaacgagcg caacccctgc ccgcagtagc cagcatttta
                                                                       1080
gatggggact ctgcggggac tgccggggac aacccggagg aaggcgggga tgacgtcaaa
                                                                       1140
                                                                       1200
tcatcatgcc ccttatggcc tgggctacac acgtgctaca atggcgccga cagagggagg
cgaagcggcg acgcggagcg aaccccaaaa acggcgtccc agttcggatt gtagtctgca
                                                                       1260
accogactac atgaagcogg aatogotagt aatogoggat cagaatgoog oggtgaatac
                                                                       1320
qttcccqqqt cttqtacaca ccqcccqtca caccatqqqa qccqqqaatq cccqaaqtct
                                                                       1380
gtgaccgaac ccgtaagggg aggggcagcc gaaggcaggc tcggtgactg gggtgaagtc
                                                                       1440
gtaacaaggt agccgt
                                                                       1456
<210> 34
<211> 1475
<212> ADN
<213> Clostridium leptum
<220>
<221> ARNr
<222> (1)..(1475)
<223> Secuencia génica codificante de ARNr 16S de Clostridium cepa 14
```

5

10

15

<400> 34

```
agagtttgat cctggctcag gacgaacgct ggcggcgtgc ttaacacatg caagtcgaac
                                                                       60
ggagcacccc tgaaggagtt ttcggacaac ggatgggaat gcttagtggc ggactggtga
                                                                      120
gtaacgcgtg aggaacctgc cttccagagg gggacaacag ttggaaacga ctgctaatac
                                                                      180
cgcatgatgc gttggagccg catgactccg acgtcaaaga tttatcgctg gaagatggcc
                                                                      240
tegegtetga ttagetagtt ggtgaggtaa eggeecacca aggegaegat eagtageegg
                                                                      300
actgagaggt tggccggcca cattgggact gagatacggc ccagactcct acgggaggca
                                                                      360
gcagtgggga atattgggca atggacgcaa gtctgaccca gcaacgccgc gtgaaggaag
                                                                      420
aaggettteg ggttgtaaac ttettttaag ggggaagage agaagaeggt acceettgaa
                                                                      480
taagccacgg ctaactacgt gccagcagcc gcggtaatac gtaggtggca agcgttgtcc
                                                                      540
ggatttactg ggtgtaaagg gcgtgcagcc ggagagacaa gtcagatgtg aaatccacgg
                                                                      600
geteaaceeg tgaactgeat ttgaaactgt tteeettgag tgteggagag gtaateggaa
                                                                      720
tttccttqtq taqcqqtqaa tqcqtaqata taagqaaqga cacaqtqqcq aqcqqattac
tggacgatac tgacgtgagc gcgaaagcgt gggggagcaa cagaaattag atactgtagt
                                                                      780
gcagctgtaa cgatcgatac tagttgcggg actgacccct tgcgtgcgag ttacacaata
                                                                      840
agtategeae etgggagtae gategeaagg ttggaactea aaggaattga eggggeeege
                                                                      900
acaagcgttg gattatgtgg tttaattcga agcaacgcga agaaccttac cagggcttga
                                                                      960
catcctgcta acgaagtaga gatacattag gtgcccttcg gggaaagtag agacaggtgg
                                                                     1020
                                                                     1080
tgcatggttg tcgtcagctc gtgtcgtgag atgttgggtt aagtcccgca acgagcgcaa
cccctattgt tagttgctac gcaagagcac tctagcgaga ctgccgttga caaaacggag
                                                                     1140
                                                                     1200
qaaqqcqqqq acqacqtcaa atcatcatqc cccttatqtc ctgqqctaca cacqtaatac
aatqqcqqtt aacaaaqqqa tqcaaaqccq cqaqqcaqaq cqaaccccaa aaaqccqtcc
                                                                    1260
cagttcggat cgcaggctgc aacccgcctg cgtgaagtcg gaatcgctag taatcgcgga
                                                                     1320
tragratger geggtgaata egttereggg cettgtarar acceperegte acaccatgag
                                                                    1380
agtcgggaac acccgaagtc cgtagcctaa ccgcaaggag ggcgcggccg aaggtgggtt
                                                                     1440
                                                                     1475
cgataattgg ggtgaagtcg taacaaggta gccgt
```

```
<210> 35
```

<sup>&</sup>lt;211> 1480

<sup>5 &</sup>lt;212> ADN

<sup>&</sup>lt;213> Clostridium coccoides

<sup>&</sup>lt;220>

<sup>&</sup>lt;221> ARNr

<sup>&</sup>lt;222> (1)..(1480)

<sup>10 &</sup>lt;223> Secuencia génica codificante de ARNr 16S de Clostridium cepa 15 <400> 35

```
agagtttgat cctggctcag gatgaacgct ggcggcgtgc ttaacacatg caagtcgaac
                                                                       60
gggctcatat tgaaacctag tgatgtatga gttagtggcg gacgggtgag taacgcgtgg
                                                                      120
                                                                      180
agaacctgcc gtatactggg ggataacact tagaaatagg tgctaatacc gcataagcgc
acagettege atgaageagt gtgaaaaact ceggtggtat acgatggate egegtetgat
                                                                      240
                                                                      300
tagctggttg geggggtaac agcccaccaa ggegacgate agtagcegge etgagagggt
quacqqccac attqqqactq agacacqqcc caaactccta cgggaggcag cagtggggaa
                                                                      360
tattgcacaa tgggggaaac cctgatgcag cgacgccgcg tgagtgaaga agtatttcgg
                                                                      420
                                                                      480
tatgtaaagc totatcagca gggaagaaat actgacctta cggtcagcag acggtacctg
actaagaage eeeggetaae taegtgeeag eageegegt aataegtagg ggeaagegtt
                                                                      540
atccggattt actgggtgta aagggagcgt agacggcagc gcaagtctga agtgaaatcc
                                                                      600
                                                                      660
catggcttaa cccatggaac tgctttggaa actgtgcagc tggagtgcag gagaggtaag
cggaattcct agtgtagcgt gaaatgcgta gattattagg aggacaacag tgcgagcgct
                                                                      720
actgacgtga ggctcgaagc gtgggagcaa acaggattag atacctggta gtcacgcgta
                                                                      780
aacgatgatt actagggtgt tgggggacca aggtcttcgg tgccggcgca aacgcattaa
                                                                      840
                                                                      900
qtaatccacc tggggagtac gttcgcaaga atgaaactca aaggaattga cggggacccg
                                                                      960
cacaagcggt ggagcatgtg gtttaattcg aagcaacgcg aagaacctta cctggtcttg
                                                                     1020
acatecegat gacgagtgag caaagteact tteeettegg ggeattggag acaggtggtg
catgqttqtc qtcaqctcqt qtcqtqaqat qttqqqttaa qtcccqcaac gaqcqcaacc
                                                                     1080
                                                                     1140
cctatttcca gtagccagca ggtagagctg ggcactctgg agagactgcc cgggataacc
qqqaqqaaqq cqqqqatqac qtcaaatcat catgcccctt atgatcaggg ctacacacgt
                                                                     1200
qctacaatqq cqtaaacaaa qqqaaqcqaq acqqtqacqt taaqcaaatc ccaaaaataa
                                                                     1260
cgtcccagtt cggattgtag tctgcaactc gactacatga agctggaatc gctagtaatc
                                                                     1320
gegaateaga atgtegeggt gaataegtte eegggtettg tacacaeege eegteacaee
                                                                     1380
                                                                     1440
atgggagtcg gaaatgcccg aagtcagtga cctaaccgaa aggaaggagc tgccgaaggt
                                                                     1480
ggagccggta actggggtga agtcgtaaca aggtagccgt
```

<sup>&</sup>lt;210> 36

<sup>&</sup>lt;211> 1486

<sup>&</sup>lt;212> ADN

<sup>&</sup>lt;213> Clostridium papirosolvens

<sup>&</sup>lt;220>

<sup>&</sup>lt;221> ARNr

<sup>&</sup>lt;222> (1)..(1486)

<sup>10 &</sup>lt;223> Secuencia génica codificante de ARNr 16S de *Clostridium* cepa 16 <400> 36

```
agagtttgat cctggctcag gataaacgct ggcggcgcac ataagacatg caagtcgaac
                                                                        60
                                                                       120
ggacttaact cattctttta gattgagagc ggttagtggc ggactggtga gtaacacgta
agcaacctge ctatcagagg ggaataacag tgagaaatca ttgctaatac cgcatatgct
                                                                       180
                                                                       240
cacagtatca catgatacag tgaggaaagg agcaatccgc tgatagatgg gcttgcgcct
qattaqttaq ttqqtqqqqt aacqqcctac caagacgacg atcagtaqcc ggactgagag
                                                                       300
                                                                       360
qttgaacggc cacattggga ctgagatacg gcccagactc ctacgggagg cagcagtcgg
qaatattgcg caatggagga aactctgacg cagtgacgcc gcgtatagga agaaggtttt
                                                                       420
cggattgtaa actattgtcg ttagggaaga taaaagactg tacctaagga ggaagccccg
                                                                       480
qctaactatq tqccaqcaqc cqcqqtaata cataqqqqqc aaqcqttatc cqgaattatt
                                                                       540
                                                                       600
gggtgtaaag ggtgcgtaga cggaagaaca agttggttgt gaaatccctc ggctcaactg
                                                                       660
aqqaactqca accaaaacta ttctccttqa qtqtcqqaqa qqaaaqtqqa attcctaqtq
                                                                       720
tagcqqtgaa atgcgtagat attaggagga acaccagtgg cgaaggcgac tttctggacg
                                                                       780
ataactgacg ttgaggcacg aaagtgtggg gagcaaacag gattagatac cctggtagtc
                                                                       840
cacactgtaa acgatggata ctaggtgtag ggtgtattaa gcactctgtg ccgccgctaa
cqcattaaqt atcccacctq qqqaqtacqa ccqcaaqqtt gaaactcaaa ggaattgacq
                                                                       900
ggggcccgca caagcagtgg agtatgtggt ttaattcgaa gcaacgcgaa gaaccttacc
                                                                       960
agggettgae atatacegga atatactaga gatagtatag teetteggga etggtataea
                                                                      1020
                                                                      1080
ggtggtgcat ggttgtcgtc agctcgtgtc gtgagatgtt gggttaagtc ccgcaacgag
cgcaacccct atcgttagtt gctagcaggt aatgctgaga actctagcga gactgccggt
                                                                      1140
gataaatcgg aggaaggtgg ggatgacgtc aaatcatcat gccctttatg tcctgggcta
                                                                      1200
cacacqtact acaatqqccq taacaqaqqq aagcaatata gtgatatgga gcaaaaccct
                                                                      1260
aaaagcggtc tcagttcgga ttgaaggctg aaattcgcct tcatgaagcc ggaattgcta
                                                                      1320
qtaatqqcaq qtcaqcatac tqccqtqaat acgttcccqq gccttgtaca caccqcccqt
                                                                      1380
cacaccatga gagttggaaa tacccgaage etgtgageta actgtaaaga ggcageagte
                                                                      1440
                                                                      1486
gaaggtagag ccaatgattg gggtgaagtc gtaacaaggt agccgt
<210> 37
<211> 1493
<212> ADN
<213> Clostridium leptum
<220>
<221> ARNr
<222> (1)..(1493)
<223> Secuencia génica codificante de ARNr 16S de Clostridium cepa 17
agagtttgat catggctcag gatgaacgct ggcggcgtgc ttaacacatg caagtcgaac
                                                                        60
gagaaccaac ggattgagga ttcgtccaaa tgaagttggg gaaagtggcg gacgggtgag
                                                                       120
                                                                       180
taacgcgtga gcaatctgcc ttggagtggg gaataacggt tggaaacagc cgctaatacc
```

5

```
qcatqatqcq tctqqqaqqc atctctctqq acqccaaaqa tttatcqctc tqaqatqaqc
                                                                         240
  tegegtetga ttagetagtt ggeggggeaa eggeceacea aggegaegat eagtageegg
                                                                         300
  actgagaggt tggccggcca cattgggact gagacacggc ccagactcct acgggaggca
                                                                         360
  qcaqtqqqqa atattqggca atgggcgcaa gcctgaccca gcaacgccgc gtgaaggaag
                                                                         420
  aaggettteg ggttgtaaac ttettttaag ggggaegaac aaatgaeggt acceettgaa
                                                                         480
  taagccacgg ctaactacgt gccagcagcc gcggtaatac gtaggtggca agcgttatcc
                                                                         540
  qqatttattq qqtqtaaaqq qcqtqtaqqc qqqattcaa qtcaqatqtq aaaactatqq
                                                                         600
  gctcaaccca tagcctgcat ttgaaactgt atttcttgag tgctggagag gcaatcggaa
                                                                         660
                                                                         720
  ttccgtgtgt agcggtgaaa tgcgtagata tacggaggaa caccagtggc gaagcggatt
  gctggacagt aactgacgct gaggcgcgaa agcgtgggga gcaaacaggg attagatacc
                                                                         780
  ctggtagtca cgccgtaaac gatggatact aggtgtgggg ggactgaccc cctccgtgcc
                                                                         840
  gcagctaacg caataagtat cccacctggg gagtacgatc gcaagggttg aaactcaaag
                                                                         900
  gaattgacgg gggcccgcac aagcggtgga gtatgtggtt taattcgaag caacgcgaag
                                                                         960
  aaccttacca gggcttgaca tcctgctaac gaaccagaga tggatcaggt gcccttcggg
                                                                        1020
  gaaagcagag acaggtggtg catggttgtc gtcagctcgt gtcgtgagat gttgggttaa
                                                                        1080
                                                                        1140
  gtcccgcaac gagcgcaacc cctattgtta gttgctacgc aagagcactc tagcgagact
  gccgttgaca aaacggagga aggtggggac gacgtcaaat catcatgccc cttacgtcct
                                                                        1200
                                                                        1260
  gggccacaca cgtactacaa tggcggccaa caaagagagg caagaccgcg aggtggagca
  aatotoaaaa agoogtooca gttoggatog caggotgoaa coogcotgog tgaagttgga
                                                                        1320
  ategetagta ategeggate ageatgeege ggtgaataeg tteeegggee ttgtacaeae
                                                                        1380
  cqcccqtcac accatqaqaq tcqqqaacac ccqaaqtccq tagcctqacc qcaaqqqqqq
                                                                        1440
  cgcggccgaa ggtgggttcg ataattgggg tgaagtagta acaaggtagc cgt
                                                                        1493
<210> 38
<211> 1493
<212> ADN
<213> Clostridium leptum
<220>
<221> ARNr
<222> (1)..(1493)
<223> Secuencia génica codificante de ARNr 16S de Clostridium cepa 18
```

<400> 38
agagtttgat cctggctcag gacgaacgct ggcggcgcc ctaacaatg caagtcgaac 60
ggagcttata tttcagaagt tttcggatgg acgagagata agcttagtgg cggacgggtg 120
agtaacacgt gagcaacctg cctttcagag ggggataaca gttggaaacg actgctaata 180
ccgcataacg ctgcgatggg gcatcccgat gcagccaaag gagcaatccg ctgaaagatg 240
ggctcgcggc cgattagcta gttggtgggg caacggccca ccaaggcgac gatcggtagc 300

5

```
cggactgaga ggttgatcgg ccacattggg actgagacac ggcccagact cctacgggag
                                                                         360
                                                                         420
  gcagcagtgg gggatattgc acaatggagg aaactctgat gcagcgacgc cgcgtgaggg
  aaqacqqtct tcqqattqta aacctctqtc tttqqqqaaq aaaatqacqq tacccaaaqa
  ggaageteeg getaactaeg tgeeageage egeggtaata egtaeggage gagegttgte
                                                                         540
  cggaattact gggtgtaaag ggagcgtacg cgggcgagaa agttgaatgt taaatctacc
                                                                         600
  qqcttaactq qtaqctqcqt tcaaaacttc ttqtcttqag tgaagtagag gcaggcggaa
                                                                         660
                                                                         720
  ttcctagtgt agcggtgaaa tgcgtagata taggaggaca ccagtgggcg aagccgcctg
  ctgggcttta actgacgctg aggctcgaaa gcgtggggag caaaccagga ttagataccc
                                                                         780
  tggtagtcaa cgctgtaaac gatgattact aggtgtgggg gggactgacc ccctccgtgc
                                                                         840
  cqcaqttaac acaataaqta tccacctqqq qaqtacqqcc qcaaaqtttq aaaactcaaa
                                                                         900
  aggaatgacg ggggcccgca caaagcagtg gagtatgtgg tttaatttcg aagcaacgcg
                                                                         960
                                                                        1020
  aagaacctta ccaggtcttg acatcgtgcg catagcctag agataggtga agcccttcgg
                                                                        1080
  qqcqcacaga caggtggtgc atggttgtcg tcagctcgtg tcgtgagatg ttggggttaag
  tecegeaacg agegeaacce ttattattag ttgctaegea agageactet aatgagaetg
                                                                        1140
  ccgttgacaa aacggaggaa ggtggggatg acgtcaaatc atcatgcccc ttatgacctg
                                                                        1200
  qqctacacac qtactacaat qqcactqaaa caqaqqqaaq cqacatcqcq aqqtqaaqcq
                                                                        1260
                                                                        1320
  aatcccaaaa aagtgtccca gttcggattg caggctgcaa ctcgcctgca tgaagtcgga
  attgctagta atcgcggatc agcatgccgc ggtgaatacg ttcccgggcc ttgtacacac
                                                                        1380
  cqcccqtcac accatqqqaq tcqqtaacac ccqaaqccag tagcctaacc gcaaggaggg
                                                                        1440
  cgctgtcgaa ggtgggattg atgactgggg tgaagtcgta acaaggtagc cgt
                                                                        1493
<210> 39
<211> 1483
<212> ADN
<213> Clostridium leptum
<220>
<221> misc feature
<222> (1)..(1483)
<223> Secuencia génica codificante de ARNr 16S de Clostridium cepa 19
<400> 39
agagtttgat cctggctcag gacgaacgct ggcggcacgc ctaacacatg caagtcgaac
                                                                        60
                                                                       120
qqaqtqaaqa tqcttqcatc tqaacttagt qqcqqacqqq tqaqtaacac qtqaqcaacc
                                                                       180
tgcctttcag agggggataa cgtttggaaa cgaacgctaa taccgcataa aatatcggag
tcqcatqqca ctqatatcaa aggaqcaatc cqctqaaaqa tqqqctcqcq tccqattaqq
                                                                       240
cagttggcgg ggtaacggcc caccaaaccg acaatcggta gccggactga gaggttgaac
                                                                       300
qqccacattq qqactqaqac acqqcccaqa ctcctacqqq aqqcaqcaqt qqqqqatatt
                                                                       360
```

qcacaatggg ggaaaccctg atgcagcgat gccgcgtgaa tgaagacggc cttcgggttg

taaaqttctq tcqcaqqqqa cqaaaatqac qqtaccctqc aaqaaaqctc cqqctaacta

5

10

420

cgtgccagca	gccgcggtaa	tacgtaggga	gcaagcgttg	tccggaatta	ctgggtgtaa	540	
agggagcgta	ggcgggagga	taaagttgaa	tgtgaaatct	atgggctcaa	cccatagctg	600	
cgttcaaaac	tgttcttctt	gagtgaagta	gaggcaggcg	gaattcctag	tgtagcggtg	660	
aaatgcgtag	atattaggag	gaacaccagt	ggcgaaagcg	gcctgctggg	cttttactga	720	
cgctgaggct	cgaaagcgtg	ggtagcaaac	agaattagat	taccctgtta	ttcacggcgg	780	
taaacgatga	ttactaggtt	tgggttgacc	tgacccccat	tcgtgccgga	agtaacacca	840	
taaagtaatc	cacctggggg	agtacggccg	ccaggttgaa	acttcaaaag	gaattgacgg	900	
gggcccgcac	aagcagtgga	ggtatgtggt	ttaatttcga	cgcaaacgcg	aagaacctta	960	
ccagggtctt	gacatcgagt	gacggacata	gagatatgtc	tttcctttcg	ggacacgaag	1020	
acaggtggtg	catggttgtc	gtcagctcgt	gtcgtgagat	gttgggttaa	gtcccgcaac	1080	
gagcgcaacc	cttaccatta	gttgctacgc	aagagcactc	tgatgggact	gccgttgaca	1140	
aaacggagga	aggtggggat	gacgtcaaat	catcatgccc	cttatgacct	gggcgacaca	1200	
cgtactacaa	tggcggtcaa	cagagggagg	caaagccgcg	aggcagagca	aacccctaaa	1260	
agccgtctca	gttcggattg	caggctgcaa	ctcgcctgca	tgaagtcgga	attgctagta	1320	
atcgcggatc	agcatgccgc	ggtgaatacg	ttcccgggcc	ttgtacacac	cgcccgtcac	1380	
accatgagag	ccggtaacac	ccgaagtcaa	tagtctaacc	gcaaggagga	cattgccgaa	1440	
ggtgggattg	gtaattgggg	tgaagtcgta	acaaggtagc	cgt		1483	
<220> <221> ARNr <222> (1)(15 <223> Secue			Nr 16S de <i>Clo</i>	stridium cepa :	20		
<400> 40 agagtttgat	cctggctcag	gatgaacgct	ggcggcgtgc	ttaacacatg	caagtcgaac	60	
gggctcatat	tgaaacctag	tgatgtatga	gttagtggcg	gacgggtgag	taacgcgtgg	120	
agaacctgcc	gtatactggg	ggataacact	tagaaatagg	tgctaatacc	gcataagcgc	180	
acagcttcgc	atgaaacagt	gtgaaaaact	ccggtggtat	acgatggatc	cgcgtctgat	240	
tagctggttg	gcggggtaac	agcccaccaa	ggcgacgatc	agtagccggc	ctgagagggt	300	
gaacggccac	attgggactg	agacacggcc	caaactccta	cgggaggcag	cagtggggaa	360	
tattgcacaa	tgggggaaac	cctgatgcag	cgacgccgcg	tgagtgaaga	agtatttcgg	420	
tatgtaaagc	tctatcagca	gggaagaaat	actgacctta	cggtcagcag	acggtacctg	480	
actaagaagc	cccggctaac	tacgtgccag	cagccgcggt	aatacgtagg	ggcaagcgtt	540	

atggcttaac	catggaactg	ctttggaaac	tgtgcagctg	gagtgcagga	gaggtaaagc	660
ggaattccta	gtgtagcggg	tgaaatgcgt	agatatagga	ggaacaacag	tggcggaagg	720
cggctactgg	gactgtaact	gacgttgagg	ctcgaaagcg	tggggagcaa	acaggattag	780
ataccctggt	agtcacgccg	taaacgatga	ttactaggtg	ttgggggacc	ataggtcttc	840
ggtgccggcg	caaacgcaat	taagtaatcc	acctggggga	gtacgttcgc	aagaatgaaa	900
ctcaaaggaa	ttgacgggga	cccgcacaaa	gcggtggagc	atgtggttta	attcgaaagc	960
aaacgcgaag	aaaccttacc	tggtcttgac	atcccgatga	cgagtgagca	aagtcacttt	1020
cccttcgggg	caattggaga	caggtggtgc	atgggttgtc	gtcagctcgt	gtcgtgagat	1080
gttgggttaa	gtcccgcaac	gagcgcaacc	cctatttcca	gtagccagca	ggtagagctg	1140
ggcactctgg	agagactgcc	cgggataacc	gggaggaagg	cggggatgac	gtcaaatcat	1200
catgcccctt	atgatcaggg	ctacacacgt	gctacaatgg	cgtaaacaaa	gggaagcgag	1260
acggtgacgt	taagcaaatc	ccaaaaataa	cgtcccagtt	cggattgtag	tctgcaactc	1320
gattacatga	agctggaatc	gctagtaatc	gcgaatcaga	atgtcgcggt	gaatacgttc	1380
ccgggtcttg	tacacaccgc	ccgtcacacc	atgggagtcg	gaaatgcccg	aagtcagtga	1440
cctaaccgaa	aggaaggagc	tgccgaaggt	ggagccggta	actggggtga	agtagataac	1500
aaggtagccg	t .					1511
<220> <221> ARNr <222> (1)(14 <223> Secuer		dificante de AR	RNr 16S de <i>Clo</i>	stridium cepa 2	21	
<211> 1495 <212> ADN <213> Clostrio <220> <221> ARNr <222> (1)(14 <223> Secuer <400> 41	.95)			•		60
<211> 1495 <212> ADN <213> Clostric <220> <221> ARNr <222> (1)(14 <223> Secuer <400> 41 agagtttgat	.95) ncia génica cod	ggacgaacgc	tggcggcgcg	cctaacacat	gcaagtcgaa	60 120
<211> 1495 <212> ADN <213> Clostric <220> <221> ARNr <222> (1)(14 <223> Secuer <400> 41 agagtttgat cgggactatt	.95) ncia génica cod cetgegetea	ggacgaacgc ttttcggatg	tggcggcgcg gatctcggga	cctaacacat	gcaagtcgaa gcggacgggt	
<211> 1495 <212> ADN <213> Clostric <220> <221> ARNr <222> (1)(14 <223> Secuer <400> 41 agagtttgat cgggactatt gagtaacgcg	.95) ncia génica cod cctgcgctca ttgggagaag	ggacgaacgc ttttcggatg gccttacaca	tggcggcgcg gatctcggga gggggataac	cctaacacat tagtttagtg aattagaaat	gcaagtcgaa gcggacgggt gattgctaat	120
<211> 1495 <212> ADN <213> Clostric <220> <221> ARNr <222> (1)(14 <223> Secuer <400> 41 agagtttgat cgggactatt gagtaacgcg accgcataag	.95) ncia génica cod cctgcgctca ttgggagaag tgggcaacct	ggacgaacgc ttttcggatg gccttacaca tgcatggtac	tggcggcgcg gatctcggga gggggataac agtggtaaaa	cctaacacat tagtttagtg aattagaaat actgaggtgg	gcaagtcgaa gcggacgggt gattgctaat tgtaagatgg	120 180
<211> 1495 <212> ADN <213> Clostric <220> <221> ARNr <222> (1)(14 <223> Secuer <400> 41 agagtttgat cgggactatt gagtaacgcg accgcataag gcccgcgtct	95) ncia génica cod cctgcgctca ttgggagaag tgggcaacct accacggtac	ggacgaacgc ttttcggatg gccttacaca tgcatggtac ttggtggggt	tggcggcgcg gatctcggga gggggataac agtggtaaaa agaagcctac	cctaacacat tagtttagtg aattagaaat actgaggtgg caagccgacg	gcaagtcgaa gcggacgggt gattgctaat tgtaagatgg atcagtagcc	120 180 240
<211> 1495 <212> ADN <213> Clostric <220> <221> ARNr <222> (1)(14 <223> Secuer <400> 41 agagtttgat cgggactatt gagtaacgcg accgcataag gcccgcgtct gacctgagag	95) ncia génica cod cetgegetea ttgggagaag tgggeaacet accaeggtae gattaggtag	ggacgaacgc ttttcggatg gccttacaca tgcatggtac ttggtggggt cacattggga	tggcggcgcg gatctcggga gggggataac agtggtaaaa agaagcctac ctgagacacg	cctaacacat tagtttagtg aattagaaat actgaggtgg caagccgacg gcccaaactc	gcaagtcgaa gcggacgggt gattgctaat tgtaagatgg atcagtagcc ctacgggagg	120 180 240 300
<211> 1495 <212> ADN <213> Clostric <220> <221> ARNr <222> (1)(14 <223> Secuer <400> 41     agagtttgat     cgggactatt     gagtaacgcg     accgcataag     gcccgcgtct     gacctgagag     cagcagtggg	95) ncia génica cod cetgegetea ttgggagaag tgggeaacet accaeggtae gattaggtag	ggacgaacgc ttttcggatg gccttacaca tgcatggtac ttggtggggt cacattggga caatggggga	tggcggcgcg gatctcggga gggggataac agtggtaaaa agaagcctac ctgagacacg	cctaacacat tagtttagtg aattagaaat actgaggtgg caagccgacg gcccaaactc cagcgacgcc	gcaagtcgaa gcggacgggt gattgctaat tgtaagatgg atcagtagcc ctacgggagg gcgtgagtga	120 180 240 300 360
<211> 1495 <212> ADN <213> Clostric <220> <221> ARNr <222> (1)(14 <223> Secuer <400> 41 agagtttgat cgggactatt gagtaacgcg accgcataag gcccgcgtct gacctgagag cagcagtggg ggaagtattt	95) ncia génica cod cetgegetea ttgggagaag tgggeaacet accaeggtae gattaggtag ggegaeegge	ggacgaacgc ttttcggatg gccttacaca tgcatggtac ttggtggggt cacattggga caatggggga agctctatca	tggcggcgcg gatctcggga gggggataac agtggtaaaa agaagcctac ctgagacacg aaccctgatg gcagggaaga	cctaacacat tagtttagtg aattagaaat actgaggtgg caagccgacg gcccaaactc cagcgacgcc aaatgacggt	gcaagtcgaa gcggacgggt gattgctaat tgtaagatgg atcagtagcc ctacgggagg gcgtgagtga acctgactaa	120 180 240 300 360 420
<211> 1495 <212> ADN <213> Clostric <220> <221> ARNr <222> (1)(14 <223> Secuer <400> 41     agagtttgat     cgggactatt     gagtaacgcg     accgcataag     gcccgcgtct     gacctgagag     cagcagtggg     ggaagtattt     gagagccccgg	95) ncia génica coo cctgcgetca ttgggagaag tgggcaacct accacggtac gattaggtag ggcgaccggc gaatattgca cggtatgtaa	ggacgaacgc ttttcggatg gccttacaca tgcatggtac ttggtggggt cacattggga caatggggga agctctatca gccagcagcc	tggcggcgcg gatctcggga gggggataac agtggtaaaa agaagcctac ctgagacacg aaccctgatg gcagggaaga gcggtaatac	cctaacacat tagtttagtg aattagaaat actgaggtgg caagccgacg gcccaaactc cagcgacgcc aaatgacggt gtaggggca	gcaagtcgaa gcggacgggt gattgctaat tgtaagatgg atcagtagcc ctacgggagg gcgtgagtga acctgactaa agcgttatcc	120 180 240 300 360 420 480
<211> 1495 <212> ADN <213> Clostric <220> <221> ARNr <222> (1)(14 <223> Secuer <400> 41     agagtttgat     cgggactatt     gagtaacgcg     accgcataag     gcccgcgtct     gacctgagag     cagcagtggg     ggaagtatt     gagaagtatt     gagtaactggg	95) ncia génica coo cetgegetea ttgggagaag tgggeaacet accaeggtae gattaggtag ggegaeegge gaatattgea eggtatgtaa ceggtatgtaa	ggacgaacgc ttttcggatg gccttacaca tgcatggtac ttggtggggt cacattggga caatggggga agctctatca gccagcagcc gagcgtagac	tggcggcgcg gatctcggga gggggataac agtggtaaaa agaagcctac ctgagacacg aaccctgatg gcagggaaga gcggtaatac ggacttgcaa	cctaacacat tagtttagtg aattagaaat actgaggtgg caagccgacg gcccaaactc cagegacgcc aaatgacggt gtaggggca gtctgatgtg	gcaagtcgaa gcggacgggt gattgctaat tgtaagatgg atcagtagcc ctacgggagg gcgtgagtga acctgactaa agcgttatcc aaaatccggg	120 180 240 300 360 420 480 540

tgcctgacga tgactgacgt	tgaagctcga	aaagcgtggg	tagcaaacag	aattagatac	780
cctggtaagt caacccggta	aacgatgatt	actaggtttt	ggttggactg	accccatccg	840
tgccggagta acaccaataa	gttatccaac	ctgggaagta	cggccggcag	gttgaaactc	900
aaaaggaaat gacgggggcc	cgcacaagca	gttgaagtat	gtgggttaat	tcgacgcaaa	960
cgcgaagaac cttaccaggt	cttgacatcg	agtgacggac	atagagatat	gtctttcctt	1020
cgggacacga agacaggtgg	tgcatggttg	tegteagete	gtgtcgtgag	atgttgggtt	1080
aagtooogoa aogagogoaa	cccttaccat	tagttgctac	gcaagagcac	tctgatggga	1140
ctgccgttga caaaacggag	gaaggtgggg	atgacgtcaa	atcatcatgc	cccttatgac	1200
ctgggcgaca cacgtactac	aatggcggtc	aacagaggga	ggcaaagccg	cgaggcagag	1260
caaaccccta aaagccgtct	cagttcggat	tgcaggctgc	aactcgcctg	catgaagtcg	1320
gaattgctag taatcgcgga	tcagcatgcc	gcggtgaata	cgttcccggg	ccttgtacac	1380
accgcccgtc acaccatgag	agccggtaac	acccgaagtc	aatagtctaa	ccgcaaggag	1440
gacattgccg aaggtgggat	tggtaattgg	ggtgaagtcg	taacaaggta	gccgt	1495

<210>42

<211> 1491

5 <212> ADN

<213> Clostridium leptum

<220>

<221> ARNr

<222> (1)..(1491)

10 <223> Secuencia génica codificante de ARNr 16S de *Clostridium* cepa 22

<400> 42

agagtttgat cctggctcag gatgaacgct ggcggcgtgc ttaacacatg caagtcgaac 60 gagaatccag tgaaggagtt ttcggacaac ggatctggag gaaagtggcg gacgggtgag 120 taacgcgtga gcaatctgcc ttggagtggg gaataacggt tggaaacagc cgctaatacc 180 gcatgatgcg tctgggaggc atctctctgg acgccaaaga tttatcgctc tgagatgagc 240 tegegtetga ttagettgtt ggeggggtaa aggeecacca aggegaegat cagtageegg 300 actgagaggt tggccggcca cattgggact gagacacggc ccagactcct acgggaggca 360 420 gcagtgggga atattgggca atgggcgcaa gcctgaccca gcaacgccgc gtgaaggaag aaggettteg ggttgtaaae ttetttetg agggacgaag aaagtgaegg taceteagga 480 ataagccacg gctaactacg tgccagcagc cgcggtaata cgtaggtggc aagcgttatc 540 600 cggatttatt gggtgtaaag ggcgtgtagg cgggaaagca agtcagatgt gaaaactcag ggctcaaccc tgagcctgca tttgaaactg tttttcttga gtgctggaga ggcaatcgga 660 attccgtgtg tagcggtgaa atgcgtagat atacggagga caccagtggc gaagcggatt 720 gctggacagt aactgacgct gaggcgcgaa gcgtggggag caaacaggat tagataccct 780 qqtaqtccac gccgtaaacq atggatacta ggtgtggggg gactgacccc ctccgtgccg 840

```
900
cagetaacqc aataagtate ceacetgggg agtacgateg caaggttgaa acteaaagga
attgacgggg gcccgcacaa gcggtggagt atgtggttta attcgaagca acgcgaagaa
                                                                     960
ccttaccagg gcttgacatc ctgctaacga accagagatg gattaggtgc ccttcgggga
                                                                     1020
aagcagagac aggtggtgca tggttgtcgt cagctcgtgt cgtgagatgt tgggttaagt
                                                                    1080
cccqcaacqa qcqcaaccct tattqttagt tqctacqcaa gagcactcta qcqagactqc
                                                                    1140
cgttgacaaa acggaggaag gtggggacga cgtcaaatca tcatgcccct tacgtcctgg
                                                                    1200
qccacacacg tactacaatg gcggccaaca aagagaggca agaccgcgag gtggagcaaa
                                                                    1260
totcaaaaag cogtoccagt toggatogca ggotgcaaco ogcotgogtg aagttggaat
                                                                    1320
cqctaqtaat cqcqqatcaq catqccqcqq tqaatacqtt cccqqqcctt qtacacaccq
                                                                    1380
cccgtcacac catgagagtc gggaacaccc gaagtccgta gcctaaccgc aagggggggg
                                                                    1440
                                                                     1491
cggccgaagg tgggttcgat aattggggtg aagtcgtaac aaggtagccg t
```

<210> 43

<211> 1495

5 <212> ADN

<213> Clostridium leptum

<220>

<221> ARNr

<222> (1)..(1495)

10 <223> Secuencia génica codificante de ARNr 16S de *Clostridium* cepa 23

agagtttqat cctqtqcctc aggatqaacq ctgqcggcgt gcttaacaca tgcaagtcga 60 120 acgagaacca acggattgag gattcgtcca aatgaagttg gggaaagtgg cggacgggtg agtaacgcgt gagcaatctg ccttggagtg gggaataacg gttggaaaca gccgctaata ccgcatgatg cgtctgggag gcatctctct ggacgccaaa gatttatcgc tctgagatga 240 getegegtet gattagetag ttggegggge aacggeecae caaggegacg atcagtagee 300 qqactqaqaq qttqqccqqc cacattqqqa ctqaqacacq qcccaqactc ctacqggagg 360 cagcagtggg gaatattggg caatgggcgc aagcctgacc cagcaacgcc gcgtgaagga 420 agaaggettt egggttgtaa acttetttta agggggaega acaaatgaeg gtacceettg 480 540 aataagccac qqctaactac gtgccagcag ccgcggtaat acgtaggtgg caagcgttat ccggatttat tgggtgtaaa gggcgtgtag gcgggaatgc aagtcagatg tgaaaactat 600 660 qqqctcaacc cataqcctqc atttgaaact gtatttcttg agtgctggag aggcaatcgg aattccqtqt qtaqcqqtqa aatqcqtaga tatacqqaqq aacaccaqtq qcqaaqqcqq 720 780 attgctggac agtaactgac gctgaggcgc gaaagcgtgg ggagcaaaca ggattagata ccctqqtaqt ccacqccqta aacgatggat actaagtgtg gggggactga cccctccgt 840 qccqcaqcta acqcaataaq tatcccacct qqqqaqtacq atcqcaaggt tgaaactcaa 900 aqqaattqac qqqqqcccqc acaaqcqqtq qaqtatqtqq tttaattcqa aqcaacqcqa 960 agaaccttac cagggottga catcotgota acgaaccaga gatggatcag gtgccottcg 1020

1080 gggaaagcag agacaggtgg tgcatggttg tcgtcagctc gtgtcgtgag atgttgggtt aagtcccgca acgagcgcaa cccctattgt tagttgctac gcaagagcac tctagcgaga 1140 ctgccgttga caaaacggag gaaggtgggg acgacgtcaa atcatcatgc cccttacgtc 1200 ctgggccaca cacgtactac aatggcggcc aacaaagaga ggcaagaccg cgaggtggag 1260 caaatctcaa aaagccgtcc cagttcggat cgcaggctgc aacccgcctg cgtgaagttg 1320 gaatcgctag taatcgcgga tcagcatgcc gcggtgaata cgttcccggg ccttgtacac 1380 accgcccqtc acaccatgag agtcgggaac acccgaagtc cgtagcctga ccgcaagggg 1440 ggcgcggccg aaggtgggtt cgataattgg ggtgaagtcg taacaaggta gccgt 1495 <210> 44 <211> 1440 <212> ADN <213> Clostridium leptum <220> <221> ARNr <222> (1)..(1440) <223> Secuencia génica codificante de ARNr 16S de Clostridium cepa 24 <400> 44 agagtttgat cctggctcag gacgaacgct ggcggcacgc ctaacacatg caagtcgaac 60 ggagtgaaga tgctcgcatc tgaacttagt ggcggacggg tgagtaacac gtgagcaacc 120 tqcctttcag aqqqqqataa cqtttqqaaa cqaacqctaa taccqcataa aatatcqqaq 180 tegeatggea etgatateaa aggagtaate egetgaaaga tgggetegeg teegattagg 240 300 cagttggcgg ggtaacggcc caccaaaccg acaatcggta gccggactga gaggttgaac 360 ggccacattg ggactgagac acggcceaga ctcctacggg aggcagcagt gggggatatt 420 gcacaatggg ggaaaccctg atgcagcgat gccgcgtgaa tgaagacggc cttcgggttg 480 taaagttotg togoagggga ogaaaatgao ggtacootgo aagaaagoto oggotaacta cgtgccagca gccgcggtaa tacgtaggga gcaagcgttg tccggaatta ctgggtgtaa 540 600 agggagcgta ggcgggagga taagttgaat gtgaaatcta tgggctcaac ccatagttgc gttcaaaact gttcttcttg agtgaagtag aggcaggcgg aattcctagt gtagcggtga 660 720 aatgogtaga tattagagga acaccagtgg cgaagcggcc tgctgggctt ttactgacgc tgagctcgaa agcgtgggta gcaacaggat tagataccct ggtagtccac gcggtaaacg 780 840 atgattacta gtgtgggtgg actgacccat ccatgccgga gttaacacaa tagtaatcca cctggggagt acgcgcagtg aactcaaagg attgacgggg cccgcacaag cagtgagtat 900 gtggtttatt cgacgcacgc gagactacag tcttgacatc gatgacggac tagagatatg 960 tetttetegg acaegaagae aggtggtgea tggttgtegt eagetegtgt egtgagatgt 1020 tgggttaagt cccgcaacga gcgcaaccct taccattagt tgttacgcaa gagcactcta 1080 atgggactgc cgttgacaaa acggaggaag gtggggatga cgtcaaatca tcatgcccct 1140 tatqacctqq qcqacacacq tactacaatq qcqqtcaaca qagggaggca aagccgcgag 1200 1260 gcagagcaaa cccctaaaag ccgtctcagt tcggattgca ggctgcaact cgcctgcatg aaqtcqqaat tqctaqtaat cqcqqatcaq catqccqcqg tqaatacqtt cccqgqcctt 1320 gtacacaccg cccgtcacac catgagagcc ggtaacaccc gaagtcaata gtctaaccgc 1380

5

10

aaggaggaca ttgccgaagg tgggatggta attggggtga agtagtaaca aggtagccgt

```
<210>45
<211> 1495
<212> ADN
<213> Clostridium leptum
<220>
<221> ARNr
<222> (1)..(1495)
<223> Secuencia génica codificante de ARNr 16S de Clostridium cepa 25
<400> 45
agagtttgat cctggctcag gatgaacgct ggcggcgtgc ttaacacatg caagtcgaac
                                                                         60
                                                                        120
gagaaccatt ggatcgagga ttcgtccaag tgaaggtggg gaaagtggcg gacgggtgag
taacgcgtga gcaatctgcc ttggagtggg gaataacggc tggaaacagc cgctaatacc
                                                                        180
                                                                        240
gcatgataca gctgggaggc atctccctgg ctgtcaaaga tttatcgctc tgagatgagc
tegegtetga ttagetagtt ggeggggtaa eggeecacca aggegaegat eagtageegg
                                                                        300
actgagaggt tggccggcca cattgggact gagacacggc ccagactcct acgggaggca
                                                                        360
gcagtqqqqa atattqqqca atqqqcqcaa qcctqaccca qcaacqccqc gtgaaqqaaq
                                                                        420
                                                                        480
aaggettteg ggttgtaaac ttettttgte agggacgaag caagtgacgg tacetgacga
ataagccacq gctaactacq tgccagcagc cgcggtaata cgtagtggca agcgttatcc
                                                                        540
                                                                        600
ggatttattg gggtgtaaag ggcgtgtagg cgggaatgca agtcagatgt gaaaactatg
                                                                        660
qqqctcaacc cataqcctqc atttqaaact gtatttcttq agtqctqqaq aggcaatcqa
                                                                        720
attccqtqtq tagcqqgtga aatgcqtaga tatacqqaqq aacaccaqtq gcgaaqcqga
ttqctqqaca aqtaactqac qctqaqqcqc gaaaqcqtqq qgaqcaaaca ggattagata
                                                                        780
ccctqqtaqt ccacqccqta aacqatqqat actaqqtqtq qqqqqactqa cccctccqt
                                                                        840
geogeageta aegeaataag tateecacet ggggagtaeg ategeaaggt tgaaaeteaa
                                                                        900
                                                                        960
aggaattgac gggggcccgc acaagcggtg gagtatgtgg tttaattcga cgcaacgcga
aqaaccttac caqqqcttqa catcctacta acqaaccaqa gatggattag gtgcccttcg
                                                                       1020
                                                                      1080
gggaaagtag agacaggtgg tgcatggttg tcgtcagctc gtgtcgtgag atgttgggtt
aaqtcccqca acqaqcqcaa cccctattgt tagttqctac qcaaqaqcac tctaqcqaqa
                                                                       1140
                                                                      1200
ctgccgttga caaaacggag gaaggtgggg acgacgtcaa atcatcatgc cccttacgtc
ctgggccaca cacgtactac aatggcggcc aacaaagaga ggcaaagccg cgaggtggag
                                                                      1260
caaatctcaa aaagccgtcc cagttcggat cgcaggctgc aacccgcctg cgtgaagttg
                                                                      1320
                                                                      1380
quatcqctag taatcgcgga tcagcatgcc gcggtgaata cgttcccggg ccttgtacac
accqccqtc acaccatqaq aqtcqqqaac acccqaaqtc cqtaqcctaa ccqcaagggg
                                                                      1440
                                                                      1495
qqcqcqqccq aaqqtqqqtt cqataattqq gqtqaaqtcq taacaaqqta qccqt
<210>46
<211> 1495
<212> ADN
<213> Clostridium leptum
<220>
<221> ARNr
<222> (1)..(1495)
<223> Secuencia génica codificante de ARNr 16S de Clostridium cepa 26
<400> 46
```

5

10

15

```
agagtttgat catggctcag gacgaacgct ggcggcgtgc ttaacacatg caagtcgaac
                                                                       60
ggagcacccc tgaaggagtt ttcggacaac ggatgggaat gcttagtggc ggactggtga
                                                                      120
                                                                      180
qtaacqcqtq aggaacctqc cttccagagg gggacaacag ttggaaacga ctgctaatac
cgcatgatgc gttggagccg catgactccg acgtcaaaga tttatcgctg gaagatggcc
                                                                      240
                                                                      300
tegegtetga ttagetagtt ggtgaggtaa eggeecacea aggegaegat eagtageegg
actgagaggt tggccggcca cattgggact gagatacggc ccagactcct acgggaggca
                                                                      360
                                                                      420
gcagtgggga atattgggca atggacgcaa gtctgaccca gcaacgccgc gtgaaggaag
aaggettteg ggttgtaaac ttettttaag ggggaagage agaagaeggt acceettgaa
                                                                      480
                                                                      540
taaqccacqq ctaactacqt gccagcagcc gcggtaatac gtaggtggca agcgttgtcc
ggatttactg ggtgtaaagg gcgtgcagcc ggagagacaa gtcagatgtg aaatccacgg
                                                                      600
                                                                      660
gctcaacccg tgaactgcat ttgaaactgt ttcccttgag tgtcggagag ggtaatcgga
attectttgt gtageggtga aatgegtaga tataaqaaga acaccagtgg egaaggegga
                                                                      720
ttactggacg ataactgacg gtgaggcgcg aaagcgtggg ggagcaacag attaaatacc
                                                                      780
ctggtagtcc acgctgttaa cgatcgatac taggtgtgcc gggactgacc ccctgcgtgc
                                                                      840
                                                                      900
ccggagttaa ccacaataag tatcgcacct ggggagtacg atcgcaaggt gaacttcaaa
ggaattgacg ggggcccgcc ccaagccgtg gattatgtgg ttaattcgaa gcaacgcgaa
                                                                      960
                                                                     1020
gaacctaccc agggettgae atectgetaa egaagtagag atacattagg tgeeettteg
gggaaagcag agacaggtgg tgcatggttg tcgtcagctc gtgtcgtgag atgttgggtt
                                                                     1080
aagtcccqca acgagcgcaa cccctattgt tagttgctac gcaagagcac tctagcgaga
                                                                     1140
                                                                     1200
ctgccgttga caaaacggag gaaggcgggg acgacgtcaa atcatcatgc cccttatgtc
                                                                     1260
ctqqqctaca cacqtaatac aatqqcqqtt aacaaaqqqa tqcaaaqccq cqaqqcaqaq
cgaaccccaa aaagccgtcc cagttcggat cgcaggctgc aacccgcctg cgtgaagtcg
                                                                     1320
                                                                     1380
quatcqctag taatcqcqqa tcaqcatqcc qcqgtqaata cqttcccqqq ccttqtacac
accecceqte acaccatgag agtegggaae accegaagte egtageetaa eegcaaggag
                                                                     1440
ggcgcggccg aaggtgggtt cgataattgg ggtgaagtcg taacaaggta gccgt
                                                                     1495
```

<210> 47

<211> 1509

5 <212> ADN

<213> Clostridium leptum

<220>

<221> ARNr

<222> (1)..(1509)

10 <223> Secuencia génica codificante de ARNr 16S de Clostridium cepa 27 <400> 47

```
agagtttgat cetggeteag gatgaacget ggeggegtge ttaacacatg caagtegaac
                                                                       60
ggagtacccc tgaaggagtt ttcggacaac tgatgggact acttagtggc ggacgggtga
                                                                      120
gtaacgcgtg agtaacctgc cttggagtgg ggaataacag ctggaaacag ctgctaatac
                                                                      180
cgcataatat gtctgtgtcg catggcactg gacatcaaag atttatcgct ctgagatgga
                                                                      240
ctcgcgtctg attagctagt tggcggggta acggcccacc aaggcgacga tcagtagccg
                                                                      300
gactgagagg ttggccggcc acattgggac tgagacacgg cccagactcc tacgggaggc
                                                                      360
agcagtgggg aatattgggc aatgggcgca agcctgaccc agcaacgccg cgtgaaggaa
                                                                      420
                                                                      480
gaaggettte gggttgtaaa ettettttaa gggggaagag cagaagaegg tacceettga
ataagccacg gctaactacg tgccagcagc cgcggtaata cgtaggtggc aagcgttgtc
                                                                      540
                                                                      600
cggatttact gggtgtaaag ggcgtgcagc cggagagaca agtcagatgt gaaatccacg
ggctcaaccc gtgaactgca tttgaaactg tttcctggag ttcggagggt atggaattct
                                                                      660
                                                                      720
tgttagcggt gaaatgctgt agatatggga gaaccaccag tgcgaggggg cttccgggac
tgtacttgac tgtagaggtc tcaaagctgg gggagcaccg aggaatgaga taccgtgata
                                                                      780
gtcccacgcg gtaacggatg attactaggt gttgggggga cccaggctct ttcggtgccg
                                                                      840
qqcqcaaacc ctttaqqaat tccacctqqq qaattacqtt tqqcaaqaaa qqaacttcaa
                                                                      900
                                                                      960
agaaattgaa cgggggaccc ccccaaccgg tggaggcatg gtgttttatt tcggaggaac
qqqaaqaacc tttaccttqt tctqaccttc cqqatqacqa agtqaqcaaa qtcaacttcc
                                                                     1020
                                                                    1080
cttcggggcc atggaggaca ggtggtggca tggttggtcg tcagctcgtg tcgtgagatg
ttgggttaag tcccgcaacg agcgcaaccc ctatttccag tagccagcag gtagagctgg
                                                                     1140
gcactetgga gagaetgeee gggataaceg ggaggaagge ggggatgaeg teaaateate
                                                                    1200
atgeceetta tqateaqqqe tacacaqqq etacaatqqe qtaaacaaaq qqaaqcqaqa
                                                                    1260
cggtgacgtt aagcaaatcc caaaaataac gtcccagttc ggattgtagt ctgcaactcg
                                                                    1320
actacatgaa getggaateg etagtaateg egaateagaa tgtegeggtg aatacgttee
                                                                    1380
egggtettgt acacacegee egteacacea tgggagtegg aaatgeeega agteagtgae
                                                                    1440
ctaaccgaaa ggaaggagct gccgaaggtg gagccggtaa ctggggtgaa gtcgtaacaa
                                                                    1500
ggtagccgt
                                                                    1509
```

<sup>&</sup>lt;210> 48

<sup>&</sup>lt;211> 1583

<sup>5 &</sup>lt;212> ADN

<sup>&</sup>lt;213> Clostridium leptum

<sup>&</sup>lt;220>

<sup>&</sup>lt;221> ARNr

<sup>&</sup>lt;222> (1)..(1583)

<sup>10 &</sup>lt;223> Secuencia génica codificante de ARNr 16S de *Clostridium* cepa 28 <400> 48

```
agagtttgat cctggctcag gacgaacgct ggcggcgcgc ctaacacatg caagtcgaac
                                                                       60
ggagcttata tttcagaagt tttcggatgg acgagagata agcttagtgg cggacgggtg
                                                                      120
                                                                      180
agtaacacgt gagcaacctg cetttcagag ggggataaca gttggaaacg actgetaata
ccgcataacg ctgcgatggg gcatcccgat gcagccaaag gagcaatccg ctgaaagatg
                                                                      240
ggctcgcggc cgattagcta gttggtgggg caacggccca ccaaggcgac gatcggtagc
                                                                      300
cggactgaga ggttgatcgg ccacattggg actgagacac ggcccagact cctacgggag
                                                                      360
gcagcagtgg gggatattgc acaatggagg aaactctgat gcagcgacgc cgcgtgaggg
                                                                      420
aagacqgtct tcggattgta aacctctgtc tttggggaag aaaatgacgg tacccaaaga
                                                                      480
ggaageteeg getaaetaeg tgeeageage egeggtaata egtaggggag egagegttgt
                                                                      540
ccggaattac tgggtgtaaa gggagcgtag cgggcgagaa agttgaatgt taaatctacc
                                                                      600
ggottaactg gtagotgogt coaaaactto ttggtottga gtgaaagtaa gaggocaggg
                                                                      660
cggaaattct tagtgtaagc gggtgaaaat gcgttagata ttagggagga accaccaggt
                                                                      720
gggcgaaggg cggcttgctg ggctttaact ggacggctgg aggcttggaa aaggcgtggg
                                                                      780
gagagcaaac acagggaatt aagtataccc tggtatatgt cacacgcttg taaagagtat
                                                                      840
                                                                      900
gattaactta gggtggtggg gggaacttga ccctttcgtg tgcgcgcagg ttaacacaca
tttagagtat atccaacttg gggagagtac ggccggcaaa gtttgaaact tcaaaaggga
                                                                      960
aattgagacc ggggggcccg gccaccaagc acagtggaga gtatggtggg tttaatttcg
                                                                     1020
agaaqcaacc qqcqqaaqaq aaactttacc aqteettqac atcqqtqqcq qcataaqccc
                                                                     1080
tagagattag gtgaagccct tcgggggccc caccagacag gtggtgcatg gttgtcgtca
                                                                     1140
                                                                     1200
qctcqtqtcq tqaqatqttq qqttaaqtcc ccqcaaacqa qcqcaaccct tattattaqt
ttgctacqca agagcactct aatgagactg ccgttgacaa aacggaggaa ggtggggatg
                                                                     1260
acgtcaaatc atcatgcccc ttatgacctg ggctacacac gtactacaat ggcactgaaa
                                                                     1320
                                                                     1380
cagagggaag cgacatcgcg aggtgaagcg aatcccaaaa aagtgtccca gttcggattg
caggetqeaa etegeetqea tqaaqtegqa attgetaqta ategeqqate aqeatqeeqe
                                                                     1440
ggtgaatacg ttcccgggcc ttgtacacac cgcccgtcac accatgggag tcggtaacac
                                                                     1500
ccgaagccag tagcctaacc gcaaggaggg cgctgtcgaa ggtgggattg atgactgggg
                                                                     1560
                                                                     1583
tgaagtcgta acaaggtagc cgt
```

```
<210> 49
```

<sup>&</sup>lt;211> 1519

<sup>&</sup>lt;212> ADN

<sup>&</sup>lt;213> Clostridium coccoides

<sup>&</sup>lt;220>

<sup>&</sup>lt;221> ARNr

<sup>&</sup>lt;222> (1)..(1519)

<sup>10 &</sup>lt;223> Secuencia génica codificante de ARNr 16S de Clostridium cepa 29 <400> 49

```
agagtttgat catggctcag gatgaacgct ggcggcgtgc ctaacacatg caagtcgaac
                                                                       60
qqqtqtacqq qaaqqaaqqc ttcqqccqqa aaacctqtqc atgaqtqqcq gacqqqttqaq
                                                                      120
                                                                      180
taacgcgtgg gcaacctggc ctgtacaggg ggataacact tagaaatagg tgctaatacc
gcataacggg ggaagccgca tggcttttcc ctgaaaactc cggtggtaca ggatgggccc
                                                                      240
gcgtctgatt agccagttgg cagggtaacg gcctaccaaa gcgacgatca gtagccggcc
                                                                      300
tgagagggeg gaeggeeaca etgggaetga gaeaeggeee agaeteetae gggaggeage
                                                                      360
agtgggggat attgcacaat ggggggaacc ctgatgcagc gacgccgcgt gggtgaagaa
                                                                      420
                                                                      480
gcgcctcggc gcgtaaagcc ctgtcagcag ggaaagaaaa tgacggtacc tgaagaagaa
qccccqqqct aactacqtqc caqcaqccqq cqqtaattac qtaqqqqqqc aqqcqttatc
                                                                      540
                                                                      600
cggatttact gggtggtaaa ggggggcgca aacggcgatg gcaggccagg aatggaaagc
ccgggggccc aaccccggga cttgctcttg ggaaactggc ttggctggga gtggcaggag
                                                                      660
                                                                      720
gggcaggcgg aaattcctgg tggtagcggt ggaaaatggc taaaaatcaa gaagaaaaac
cggtggggaa aggcggcctg gtgggactgc gaactgacgt tgaaggcccg aaagcgtggg
                                                                      780
gaacaaacag gatagattcc ctggtagttc cacgccgtaa acgatgatta ctaggtqtcg
                                                                      840
qqqaqcaqaq actqcccqqt qccqcaqcca acqcattaaq taatccacct qqqqaqtacq
                                                                      900
                                                                      960
ttcgcaagaa tgaaactcaa aggaattgac ggggacccgc acaagcggtg gagcatgtgg
tttaattega agcaacgega agaacettae etggtettga catecegatg acgagtgage
                                                                     1020
                                                                     1080
aaagtcactt teeetteggg geattggaga eaggtggtge atggttgteg teagetegtg
togtgagatg ttgggttaag toocgcaacg agcgcaaccc ctatttocag tagccagcag
                                                                     1140
                                                                     1200
gtagagetgg geactetgga gagaetgeee gggataaeeg ggaggaagge ggggatgaeg
tcaaatcatc atgcccctta tgatcagggc tacacacgtg ctacaatggc gtaaacaaag
                                                                     1260
ggaagcgaga cggtgacgtt aagcaaatcc caaaaataac gtcccagttc ggattgtagt
                                                                     1320
ctgcaactcg actacatgaa gctggaatcg ctagtaatcg cgaatcagaa tgtcgcggtg
                                                                     1380
aatacqttcc cgggtcttgt acacaccgcc cgtcacacca tgggagtcgg aaatgcccga
                                                                     1440
agtcagtgac ctaaccgaaa ggaaggagct gccgaaggtg gagccggtaa ctggggtgaa
                                                                     1500
                                                                     1519
gtcgtaacaa ggtagccgt
```

<sup>&</sup>lt;210> 50

<sup>&</sup>lt;211> 1497

<sup>&</sup>lt;212> ADN

<sup>&</sup>lt;213> Clostridium coccoides

<sup>&</sup>lt;220>

<sup>&</sup>lt;221> ARNr

<sup>&</sup>lt;222> (1)..(1497)

<sup>10 &</sup>lt;223> Secuencia génica codificante de ARNr 16S de Clostridium cepa 30 <400> 50

```
60
agagtttgat cctggctcag gatgaacgct ggcggcgtgc ctaacacatg caagtcgaac
qqqqtatata aqcqqaaqtt tacqqatqqa aggttatata cttagtggcg gacgggtgag
                                                                       120
                                                                       180
taacgcgtgg gcaacctgcc ccgtgccggg ggataccgcc tggaaacagg cgctaatacc
gcataagcgc atacagccgc atgggtgtat gcggaaagct ccggcggcac gggatgggcc
                                                                       240
                                                                       300
egegeeegat tageeagttg geggggtaae ggeeeaceaa agegaegate ggtageegge
ctgagaggc ggacggccac attgggactg agacacggcc caaactccta cgggaggcag
                                                                       360
cagtggggaa tattgcacaa tgggggaaac cctgatgcag caacgccgcg tgggtgaagg
                                                                       420
                                                                       480
agcgtttcgg cgcgtaaagc cctgtcagcg gggaagaaga aagacggtac ccgaccaaga
agccccggct aactacgtgc cagcagccgc ggtaatacgt agggggcgag cgttatccgg
                                                                       540
aattactggg tgtaaaggga gcgtagacgg cgaggtaagc ctgaagtgga agcccgcggc
                                                                       600
                                                                       660
ccaaccgcgg aactgctttg ggaactgttt tgctggagta tgggaggggt aagcggaatt
cctggtgtag cggtgaaatg cgtagatatc aggaggaaca ccggtggcga aggcggctta
                                                                       720
ctggaccata actgacgttg aggctcgaaa gcgtggggag cgaacaggat tagataccct
                                                                       780
ggtagtccac gcgtaaacga tgattaccag gtgtcgggtg tcgaaggacg gcccggtgcc
                                                                       840
                                                                       900
gcagcgaacg cagtaagtaa tccacctggg gagtacgttc gcaagaatga aactcaaagg
aattgacggg gacccgcaca agcggtggag catgtggttt aattcgaagc aacgcgaaga
                                                                       960
accttacceg geettgacat eccetggaca geatatgtaa tgtatgttte ettegggace
                                                                      1020
agggagacag gtggtgcatg gttgtcgtca gctcgtgtcg tgagatgttg ggtcaagtcc
                                                                      1080
cgcaacgagc gcaacccctg cccccagtag ccagcattta agatgggcac tctgggggga
                                                                      1140
ctgccgqqqa taacccggag gaaggcgggg atgacgtcaa atcatcatgc cccttatggc
                                                                      1200
cqqqqctaca cacqtqctac aatqqcqtaa acaqaqqqaq qcqaqacaqc qatqttaaqc
                                                                      1260
gaaccccaaa aataacgtcc cagttcggat tgcagcctgc aactcggctg catgaagctg
                                                                      1320
                                                                      1380
gaatcgctag taatcgcgga tcagaatgcc gcggtgaata cgttcccggg tcttgtacac
accocccqtc acaccatggg agtcgggaac gcccgaagcc ggtgaccgaa cccgaaaggg
                                                                      1440
                                                                      1497
gaggagccgt cgaaggcggg cctggtgact ggggtgaagt cgtaacaagg tagccgt
<210> 51
<211> 1475
<212> ADN
<213> Clostridium leptum
<220>
<221> ARNr
<222> (1)..(1475)
<223> Secuencia génica codificante de ARNr 16S de Clostridium cepa 31
<400> 51
qaqtttgatc ctggctcagg ataaacgctg gcggcgcaca taagacatgc aagtcgaacg
                                                                        60
aacttaatac cttqcttqca aqqtaaqcqq ttaqtqqcqq actqqtqaqt aacacqtaaq
                                                                       120
```

5

```
aaatctgcct atcagagggg aataacagtg agaaatcact gctaataccg catatgccat
                                                                       180
                                                                       240
agttatcgca tgataatagt gggaaagaag caattcgctg atagatgagc ttgcggctga
ttagctagtt ggtggggtaa cggcctacca aggcgacgat cagtagccgg cctgagaggg
                                                                       300
tgaacggcca cattgggact gagacacggc ccaaactcct acgggaggca gcagtgggga
                                                                       360
atattgcaca atgggggaaa ccctgatgca gcgacgccgc gtgagtgaag aagtatttcg
                                                                       420
qtatqtaaaq ctctatcagc aqqqaaqaaa atgacqqtac ctgactaaga aagccccgqc
                                                                       480
taactacgtg ccagcagccg cggtaatacg tagggggcaa gcgttatccg gatttactgg
                                                                       540
                                                                       600
tgtaaaggga ģegtagaegg cagegeaagt etgagtgaaa teecatgget taeccatgaa
                                                                       660
actgctttgg aaactgtgca gctggagtgc aggagaggta agcggaatcc tagtgtagcg
gttgaaatgc gtagattatc agaaggaaca ccggtggccg aggcggcctg ctgggctttt
                                                                       720
                                                                       780
actgacgctg aggctcgaag cgtgggtagc aaacaggatt agataccctg gtagtccacg
cqqtaaacqa tqattactaq qtqtqqqtqq actqacccca tccqtqccqq aqttaacaca
                                                                       840
ataagtaatc cacctgggga gtacggccgc aaggttgaaa ctcaaaggaa ttgacggggg
                                                                       900
cccgcacaaq caqtqqaqta tqtqqtttaa ttcgacqcaa cqcqaaqaac cttaccaqqt
                                                                       960
                                                                      1020
cttgacatcg agtgacggac atagagatat gtctttcctt cgggacacga agacaggtgg
                                                                      1080
tqcatqqttq tcqtcaqctc qtqtcqtqaq atqttqqqtt aaqtcccqca acqaqcqcaa
cccttaccat tagttgctac gcaagagcac tctaatggga ctgccgttga caaaacggag
                                                                      1140
gaaggtgggg atgacgtcaa atcatcatgc cccttatgac ctgggcgaca cacgtactac
                                                                      1200
aatggcggtc aacagaggga ggcaaagccg cgaggcagag caaaccccta aaagccgtct
                                                                      1260
caqttcqqat tqcaqqctqc aactcqcctq catqaaqtcq gaattqctaq taatcqcqqa
                                                                      1320
                                                                      1380
teageatgee geggtgaata egtteeeggg cettgtacae acegeeegte acaccatgag
agccqqtaac acccgaagtc aatagtctaa ccgcaaggag gacattgccg aaggtgggat
                                                                      1440
                                                                      1475
tggtaattgg ggtgaagtcg taacaaggta gccgt
<210> 52
<211> 1491
<212> ADN
<213> Clostridium leptum
<220>
<221> ARNr
<222> (1)..(1491)
<223> Secuencia génica codificante de ARNr 16S de Clostridium cepa 32
                                                                        60
agagtttgat cctggctcag gatgaacgct ggcggcgtgc ttaacacatg caagtcgaac
qaqaatcaqt qqattqaqqa ttcqtccaaa tqaaactqaq qaaaqtqqcq gacqqqtqaq
                                                                       120
taacgcgtga gcaatctgcc ttggagtggg gaataacggc tggaaacagc cgctaatacc
                                                                       180
gcatgataca gttgggaggc atctctctga ctgtcaaaga tttatcgctc tgagatgagc
                                                                       240
```

5

```
300
tcgcgtctga ttagctagtt ggcggggtaa cggcccacca aggcgacgat cagtagccgg
                                                                       360
actgagaggt tggccggcca cattgggact gagacacggc ccagactcct acgggaggca
qcaqtqqqqa atattqqqca atqqqcqcaa gcctqaccca gcaacgccgc gtqaaggaag
                                                                       420
                                                                       480
aaggettteg ggttgtaaac ttetttetg ggggaegaac aaatgaeggt acceeaggaa
taagccacgg ctaactacgt gccagcagcc gcggtaatac gtaggtggca agcgttatcc
                                                                       540
                                                                       600
ggatttattg ggtgtaaagg gcgtgtaggc gggaatgcaa gtcagatgtg aaaactatgg
gotcaaccca tagootgoat ttgaaactgt atttottgag tgotggagag goaatcggaa
                                                                       660
ttccgtgtgt agcggtgaaa tgcgtagata tacggaggaa caccagtggc gaagcggatt
                                                                       720
                                                                       780
gctggacagt aactgacgct gaggcgcgaa agcgtgggga gcaaacagga ttagataccc
tggtagtcca cgccgtaacg atggatacta gtgtgggggg actgaccccc tccgtgccgc
                                                                       840
agotaacgca ataagtatoo coacctgggg agtacgatog caaggttgaa actcaaagga
                                                                       900
                                                                       960
attgacgggg gcccgcacaa gcggtggagt atgtggttta attcgaagca acgcgaagaa
ccttaccagg gcttgacatc ctgctaacga accagagatg gattaggtgc ccttcgggga
                                                                      1020
aagcagagac aggtggtgca tggttgtcgt cagctcgtgt cgtgagatgt tgggttaagt
                                                                      1080
cccqcaacqa qcqcaacccc tattqttaqt tqctacqcaa qaqcactcta qcqaqactqc
                                                                      1140
cgttgacaaa acggaggaag gtggggacga cgtcaaatca tcatgcccct tacgtcctgg
                                                                      1200
gccacacacg tactacaatg gcggttaaca aagagaggca agaccgcgag gtggagcaaa
                                                                      1260
tctcaaaaag ccgtcccagt tcggatcgca ggctgcaacc cgcctgcgtg aagttggaat
                                                                      1320
                                                                      1380
cgctagtaat cgcggatcag catgccgcgg tgaatacgtt cccgggcctt gtacacaccg
cccgtcacac catgagagtc gggaacaccc gaagtccgta gcctaaccgc aaggggggcg
                                                                      1440
                                                                      1491
cggccgaagg tgggttcgat aattggggtg aagtcgtaac aaggtagccg t
<210> 53
<211> 1495
<212> ADN
<213> Clostridium coccoides
<220>
<221> ARNr
<222> (1)..(1495)
<223> Secuencia génica codificante de ARNr 16S de Clostridium cepa 33
agagtttgat cctggctcag gatgaacgct ggcggcgtgc ctaacacatg caagtcgaac
                                                                        60
qqqtqtacqq qqaqqaaqqc ttcqqccqga aaacctqtqc atqaqtqqcq qacqqqtqaq
                                                                       120
taacqcqtqq gcaacctggc ctgtacaggg ggataacact tagaaatagg tgctaatacc
                                                                       180
gcataacggg ggaagccgca tggcttttcc ctgaaaactc cggtggtaca ggatgggccc
                                                                       240
qcqtctqatt aqccaqttqq caqqqtaacq qcctaccaaa qcqacqatca qtaqccqqcc
                                                                       300
tqaqaqqqqq qacqqccaca ctqqqactqa qacacqqccc aqactcctac qqqaqqcaqc
                                                                       360
agtgggggat attgcacaat ggggggaacc ctgatgcagc gacgccgcgt gggtgaagaa
                                                                       420
```

5

480

```
gcgcctcggc gcgtaaagcc ctgtcagcag ggaagaaaat gacggtacct gaagaagaag
ccccggctaa ctacgtgcca gcagccgcgg taatacgtag ggggcaagcg ttatccggat
                                                                    540
                                                                    600
ttactgggtg taaagggggc gcagacggcg atgcaagcca ggagtgaaag cccggggccc
                                                                    660
aaccccggga ctgctcttgg aactgcgtgg ctggagtgca ggaggggcag gcggaattcc
tggtgtagcg gtgaaatgcg tagatatcag aggaacaccg gtggcgaaag cggcctgctg
                                                                    720
                                                                    780
gactgcaact gacgttgagg cccgaaagcg gtgggagcaa acaggattag ataccctggt
agtocacgoo gtaaacgatg attactaggt gtoggggago agagactgoo cggtgoogca
                                                                    840
                                                                    900
geceaaegea ttaagtatee aeetggggag taegttegea agaatgaaae teaaaggaat
                                                                    960
tgacqqqqac ccqcacaaqc qqtqqaqcat qtqqtttaat tcqaaqcaac qcqaaqaacc
                                                                   1020
ttaccaggcc ttgacatccc cctggatggc ccgtaacggg gccagccctt tttgggcagg
1080
                                                                   1140
caacqaqcqc aacccctqcc cqcaqtaqcc aqcattttag atgqqqactc tqcqqqqact
gccggggaca acccggagga aggcggggat gacgtcaaat catcatgccc cttatggcct
                                                                   1200
gggctacaca cgtgctacaa tggcgccgac agagggagga gaagcggcga cgcggagcga
                                                                   1260
accccaaaaa cggcgtccca gttcggattg tagtctgcaa cccgactaca tgaagccgga
                                                                   1320
atogotagta atogoggato agaatgoogo ggtgaataog ttocogggto ttgtacacao
                                                                   1380
cgcccgtcac accatgggag ccgggaatgc ccgaagtctg tgaccgaacc cgtaagggga
                                                                   1440
ggggcagccg aaggcaggcc cggtgactgg ggtgaagtcg taacaaggta gccgt
                                                                   1495
<210> 54
<211> 1493
<212> ADN
<213> Clostridium leptum
<220>
<221> ARNr
<222> (1)..(1493)
<223> Secuencia génica codificante de ARNr 16S de Clostridium cepa 34
agagtttgat cctggctcag gacgaacgct ggcggcgtgc ttaacacatg caagtcgaac
                                                                     60
qqaqcacccc tqaaqqaqtt ttcgqacaac ggatqqqaat gcttagtgtc ggactggtga
                                                                    120
                                                                    180
gtaacgcgtg aggaacctgc cttccagagg gggacaacag ttggaaacga ctgctaatac
equatqatqc qttqqaqccq catgactccq acqtcaaaqa tttatcqctq qaaqatqqcc
                                                                    240
tegegtetga titigttagit ggtgaggtaa eggeecacea aggegaegat eagtageegg
                                                                    300
actgagaggt tggccggcca cattgggact gagatacggc ccagactect acgggaggca
                                                                    360
gcagtgggga atattgggca atggacgcaa gtctgaccca gcaacgccgc gtgaaggaag
                                                                    420
aaggettteg ggttgtaaac ttettttaag ggggaagage agaagaeggt acceettgaa
                                                                    480
                                                                    540
taaqccacqq ctaactacqt qccaqcaqcc qcqqtaatac qtaqqtqqca aqcqttqtcc
```

5

```
600
ggatttactg ggtgtaaagg gcgtgcagcc ggagagacaa gtcagatgtg aaatccacgg
                                                                       660
gctcaacccg tgaactgcat ttgaaactgt ttcccttgag tgtcggagag gtaatcggaa
ttccttqtqt aqcqqtqaaa tqcqtaqata taaggaagaa caccagtggc gaaggcggat
                                                                       720
                                                                       780
tactggacga taactgacgg tgaggcgcga aagcgtgggg agcaaacagg attagatacc
                                                                       840
ctggtagtcc acgctgtaaa cgatcgatac taggtgtgcg gggactgacc ccctgcgtgc
                                                                       900
cqqaqttaac acaataaqta tcqcacctqq qqaqtacqat cqcaaqqttq aaactcaaaq
gaattgacgg gggcccgcac aagcggtgga ttatgtggtt taattcgaag caacgcgaag
                                                                       960
aaccttacca gggcttgaca teetgctaac gaagtagaga tacattaggt gecetteggg
                                                                      1020
qaaaqcaqaq acaqqtqqtq catqqttqtc qtcaqctcqt gtcqtqaqat gttgggttaa
                                                                      1080
qtcccgcaac gagcgcaacc cctattgtta gttgctacgc aagagcactc tagcgagact
                                                                      1140
gccgttgaca aaacggagga aggcggggac gacgtcaaat catcatgccc cttatqtcct
                                                                      1200
gggctacaca cgtaatacaa tggcggttaa caaagggatg caaagccgcg aggcagagcg
                                                                      1260
                                                                      1320
aaccccaaaa aqccqtccca gttcgqatcq caqgctqcaa cccqcctqcq tqaaqtcgqa
atogotagta atogoggato agcatgoogo ggtgaataog ttocogggoo ttgtacacac
                                                                      1380
cgcccqtcac accatqaqaq tcqqqaacac ccqaaqtccq tagcctaacc gcaagqaggg
                                                                      1440
cqcqqccqaa qqtqqqttcq ataattqqqq tqaaqtcqta acaaqqtaqc cqt
                                                                      1493
<210> 55
<211> 1498
<212> ADN
<213> Clostridium coccoides
<220>
<221> ARNr
<222> (1)..(1498)
<223> Secuencia génica codificante de ARNr 16S de Clostridium cepa 35
<400> 55
agaqtttqat cctqqctcag qatgaacqct ggcggcgtgc ctaacacatg caagtcgaac
                                                                        60
qqqtqtacaq aaqqqaaqat tacqqtcqqa aqqtctqtqc atqaqtqqcq gacqqqttqaq
                                                                       120
                                                                       180
taacgcgtgg gcaacctggc ctgtacaggg ggataacact tagaaatagg tgctaatacc
qcataacqqq qqaaqccqca tqqcttttcc ctqaaaactc cqqtqqtaca qqatqqqccc
                                                                       240
gcgtctgatt atttttttg tcagggtaac ggcctaccaa agcgacgatc agtagccggc
                                                                       300
                                                                       360
ctgagaggc ggacggccac actgggactg agacacggcc cagactccta cgggaggcag
                                                                       420
cagtggggga tattgcacaa tggggggaac cctgatgcag cgacgccgcg tgggtgaaga
agegeetegg egegtaaage eetgteagea gggaagaaaa tgaeggtaee tgaagaagaa
                                                                       480
gccccggcta actacgtgcc agcagccgcg gtaatacgta aggggcaagc gttatccgga
                                                                       540
                                                                       600
tttactgggt gtaaaggggg cgcagacggc gatgcaagcc aggagtgaaa gcccggggcc
caaccccqqq actqctcttq qqaactqcqq tqqctqqaqt qcaqqaqqqq caqqccqqaa
                                                                       660
                                                                       720
ttcctggtgt agcggtgaaa tgcgtagata tcaggaggaa caccggtggc gaaggcgcc
```

5

```
780
tgctggactg caactgacgt tgaggcccga aagcgtgggg agcaaacagg attagatacc
                                                                       840
ctggtagtca cgccgtaaac gatgattact aggtgtcggg gagcagagac tgcccggtgc
cqcaqccaac qcattaaqta atccacctqq qqaqtacqtt cqcaaqaatq aaactcaaaq
                                                                       900
gaattgacgg ggacccgcac aagcggtgga gcatgtggtt taattcgaag caacgcgaag
                                                                       960
                                                                      1020
aaccttacca qqccttqaca tccccctqqa tqqcccqtaa cqqqqtcaqc ctttcqqqgc
aggggagaca ggtggtgcat ggttgtcgtc agctcgtgtc gtgagatgtt gggttaagtc
                                                                      1080
ccqcaacqaq cqcaacccct qcccqcaqta qccaqcattt tagatgggga ctctqcgggg
                                                                      1140
                                                                      1200
actgccgggg acaacccgga ggaaggcggg gatgacgtca aatcatcatg ccccttatgg
cctqqqctac acacqtqcta caatqqcqcc gacaqaqqqa qgcqaaqcqq cqacqcqqqa
                                                                      1260
cgaaccccaa aaacggcgtc ccagttcgga ttgtagtctg caacccgact acatgaagcc
                                                                      1320
ggaatcgcta gtaatcgcgg atcagaatgc cgcggtgaat acgttcccgg gtcttgtaca
                                                                      1380
caccgcccgt cacaccatgg gagccgggaa tgcccgaagt ctgtgaccga acccgtaagg
                                                                      1440
                                                                      1498
qqaqqqcaq ccqaaqqcaq qcccqqtqac tqqqqtqaag tcgtaacaag gtagccgt
<210> 56
<211> 1491
<212> ADN
<213> Clostridium leptum
<220>
<221> ARNr
<222> (1)..(1491)
<223> Secuencia génica codificante de ARNr 16S de Clostridium cepa 36
<400> 56
                                                                        60
agagtttgat catggctcag gacgaacgct ggcggcaagc ttaacacatg caagtcgaac
ggagcgccta tgaaggagat ttcggtcaac ggaataggct gcttagtggc tgacgggtga
                                                                       120
                                                                       180
gtaacgcgtg aggaacctgc ctttcagagg gggacaacag ttggaaacga ctgctaatac
cqcataacac ataqqtqtcq catqqcattt atqtcaaaqa tttatcqctq aaaqatqqcc
                                                                       240
togogtotga ttagotagtt ggtgaggtaa oggotoacca aggogaogat cagtagoogg
                                                                       300
actgagaggt tagccggcca cattgggact gagatacggc ccagactect acgggaggca
                                                                       360
                                                                       420
gcagtgggga atattgggca atggacgcaa gtctgaccca gcaacgccgc gtgaaggaag
aaggettteg ggttgtaaac ttettttaag agggaagage agaagaeggt acetettgaa
                                                                       480
                                                                       540
taagccacgg ctaactacgt gccagcagcc gcggtaatac gtagtggcaa gcgttgtccg
gatttactqq qtqtaaaggq cqtqtaqccq gqctqacagt cagatqtgaa attccqqqqc
                                                                       600
                                                                       660
tcaaccccgg acctgcattt gaaactgttg gtcttgagta tcggagaggc aggcggaatt
cctaqtqtaq cqqtqaaatq cqtaqatatt aggaggaaca ccaqtggcga aggcggcctg
                                                                       720
ctggacgaca actgacggtg aggcgcgaaa gcgtggggag caaacaggat tagataccct
                                                                       780
ggtagtccac gctgtaaacg atggatacta ggtgtgcggg gactgacccc ctgcgtgccg
                                                                       840
```

5

```
900
cagttaacac aataagtatc ccacctgggg agtacgatcg caaggttgaa actcaaagga
attgacgggg gcccgcacaa gcggtggatt atgtggttta attcgatgca acgcgaagaa
                                                                      960
                                                                     1020
ccttaccagg gcttgacatc ctgctaacga ggtagagata cgtcaggtgc ccttcgggga
aagcagagac aggtggtgca tggttgtcgt cagctcgtgt cgtgagatgt tgggttaagt
                                                                     1080
cccgcaacga gcgcaaccct tattgttagt tgctacgcaa gagcactcta gcgagactgc
                                                                     1140
cqttqacaaa acggaggaag gtggggacga cgtcaaatca tcatgcccct tatgtcctgg
                                                                     1200
gctacacacg taatacaatg gcggtaaaca gagggatgca atactgcgaa gtggagcgaa
                                                                    1260
cccctaaaag ccgtcccagt tcagattgca gtctgcaact cgactgcatg aagtcggaat
                                                                    1320
cgctagtaat cgcggatcag catgccgcgg tgaatacgtt cccgggcctt gtacacaccg
                                                                     1380
cccgtcacac catgagagtc gggaacaccc gaagtccgta gcctaaccgc aaggagggcg
                                                                    1440
                                                                     1491
cggccgaagg tgggttcgat aattggggtg aagtcgtaac aaggtagccg t
```

<210> 57

<211> 1493

5 <212> ADN

<213> Clostridium coccoides

<220>

<221> ARNr

<222> (1)..(1493)

10 <223> Secuencia génica codificante de ARNr 16S de *Clostridium* cepa 37

<400> 57

agagtttgat cctggctcag gatgaacgct ggcggcgtgc ctaacacatg caagtcgaac 60 120 gggtgtacgg ggaggaaggc ttcggccgga aaacctgtgc atgagtggcg gacgggtgag taacgcgtgg gcaacctggc ctgtacaggg ggataacact tagaaatagg tgctaatacc 180 gcataacggg ggaagccgca tggcttttcc ctgaaaactc cggtggtaca ggatggccc 240 gegtetgatt agecagttgg cagggtaacg geetaccaaa gegaegatea gtageeggee 300 tgagagggeg gaeggeeaca etgggaetga gaeaeggeee agaeteetae gggaggeage 360 aqtqqqqqat attqcacaat qqqqqqaaac cctqatqcaq cqacqccqcq tqaqtqaaqa 420 agtatttcgg tatgtaaagc tctatcagca gggaagaaaa tgacggtacc tgactaagaa 480 540 geeceggeta actaegtgee ageageegeg gtaataegta gggggeaage gttateegga 600 tttactgggt gtaaagggag cgtagacggc agcgcaagtc tgaagtgaaa tcccatggct taaccatqqa actqctttgg aaactgtgca gctggagtgc aggagaggta agcggaattc 660 720 ctaqtqtaqc qqtqaaatqc qtaqatatta qqaqqaacac caqtqqcqaa qqcqqcttac tqqactqtac tqacqttqaq qctcqaaaqc qtqqqqqaqca aacaqqatta qataccctqq 780 tagtccacgc cgtaaacgat gattactagg tgttggggga ccaaggtctt cggtgccggc 840 qcaaacqcat taaqtaatcc acctggggag tacgttcgca agaatgaaac tcaaaggaat 900 tgacggggac ccgcacaagc ggtggagcat gtggtttaat tcgaagcaac gcgaagaacc 960 ttacctggtc ttgacatccc gatgacgagt gagcaaagtc actttccctt cggggcattg 1020

```
1080
  qaqacaqqtq qtqcatqqtt qtcqtcaqct cqtqtcqtqa qatqttqqqt taaqtcccqc
  aacgagcgca acccctattt ccagtagcca gcaggtagag ctgggcactc tggagagact
                                                                       1140
                                                                       1200
  gcccgggata accgggagga aggcggggat gacgtcaaat catcatgccc cttatgatca
  gggctacaca cgtgctacaa tggcgtaaac aaagggaagc gagacggtga cgttgagcaa
                                                                       1260
  atcccaaaaa taacgtccca qttcqqattq tagtctqcaa ctcqactaca tqaaqctqqa
                                                                       1320
                                                                       1380
  atogotagta atogogaato agaatgtogo ggtgaataog ttocogggto ttgtacacao
  cgcccgtcac accatgggag tcggaaatgc ccgaagtcag tgacctaacc gaaaggaagg
                                                                       1440
  agctgccgaa ggtggagccg gtaactgggg tgaagtcgta acaaggtagc cgt
                                                                       1493
<210> 58
<213> Clostridium leptum
```

<211> 1493

5 <212> ADN

<220>

<221> ARNr

<222> (1)..(1493)

10 <223> Secuencia génica codificante de ARNr 16S de Clostridium cepa 38 <400> 58

aaagtttgat cctggctcag gacgaacgct ggcggcgtgc ttaacacatg caagtcgaac 60 ggagcacccc tgaaggagtt ttcggacaac ggatgggaat gcttagtggc ggactggtga 120 gtaacgcgtg aggaacctgc cttccagagg gggacaacag ttggaaacga ctgctaatac 180 cgcatgatgc gttggagccg catgactccg acgtcaaaga tttatcgctg gaagatggcc 240 300 togogtotga ttagotagtt ggtgaggtaa oggoccacca aggogacgat cagtagoogg actgagaggt tggccggcca cattgggact gagatacggc ccagactcct acgggaggca 360 gcagtgggga atattgggca atggacgcaa gtctgaccca gcaacgccgc gtgaaggaag 420 aaggettteg ggttgtaaae ttettttaag ggggaagage agaagaeggt acceettgaa 480 taagccacgg ctaactacgt gccagcagcc gcggtaatac gtagtggcaa gcgttgtccg 540 gatttactgg gtgtaaaggg cgtgcagccg gagagacaag tcagatgtga aatccacggg 600 ctcaacccgt gaactgcatt tgaaactgtt tcccttgagt gtcggagagg taatcggaat 660 720 tccttgtgta gcggtgaaat gcgtagatat aaggaagaac accagtggcg aaggcggatt actggacgat aaactgacgg tgaggcgcga aagcgtgggg agcaaacagg attagatacc 780 ctgqtagtcc acgctgtaaa cgatcgatac taggtgtgcg gggactgacc ccctgcgtgc 840 900 cggagttaac acaataagta tcgcacctgg ggagtacgat cgcaaggttg aaactcaaag gaattgacgg gggcccgcac aagcggtgga ttatgtggtt taattcgaag caacgcqaag 960 aaccttacca gggcttgaca tcctgctaac gaagtagaga tacattaggt gcccttcggg 1020 gaaagtagag acaggtggtg catggttgtc gtcagctcgt gtcgtgagat gttgggttaa 1080 gtcccgcaac gagcgcaacc cctattgtta gttgctacgc aagagcactc tagcgagact 1140

qccgttgaca aaacggagga aggcqgggac gacgtcaaat catcatgccc cttatgtcct 1200 gggctacaca cgtaatacaa tggcggttaa caaagggatg caaagccgcg aggcagagcg 1260 aaccccaaaa agccgtccca gttcggatcg caggctgcaa cccgcctgcg tgaagtcgga 1320 atogotagta atogoggato agcatgoogo ggtgaatacg ttocogggoo ttgtacacac 1380 cgcccgtcac accatgagag tcgggaacac ccgaagtccg tagcctaacc gcaaggaggg 1440 cgcggccgaa ggtgggttcg ataattgggg tgaagtcgta acaaggtagc cgt 1493 <210> 59 <211> 1511 <212> ADN <213> Clostridium leptum <220> <221> ARNr <222> (1)..(1511)

5

10 <223> Secuencia génica codificante de ARNr 16S de Clostridium cepa 39 <400> 59

agagtttgat cctggctcag gacgaacgct ggcggcgtgc ttaacacatg caagtcgaac 60 ggagcacccc tgaaggagtt ttcggacaac ggatgggaat gcttagtggc ggactggtga 120 gtaacgcgtg aggaacctgc cttccagagg gggacaacag ttggaaacga ctgctaatac 180 cgcatgatgc gttggagccg catgactccg acgtcaaaga tttatcgctg gaagatggcc 240 tcgcgtctga ttagctagtt ggtgaggtaa cggcccacca aggcgacgat cagtagccgg 300 actgagaggt tggccggcca cattgggact gagatacggc ccagactcct acgggaggca 360 qcaqtqqqqa atattqqqca atqqacqcaa qtctqaccca qcaacqccqc qtqaaqqaaq 420 aaggettteg ggttgtaaae ttettttaag ggggaagage agaagaeggt acceettgaa 480 taagccacgg ctaactacgt gccagcagcc gcggtaatac gtaggtggca agcgttgtcc 540 ggatttactg ggtgtaaagg gcgtgcagcc ggagagacaa gtcagatgtg aaatccacgg 600 gctcaacccg tgaactgcat ttgaaactgt ttcccttgag tgtcggagag gtaatcggaa 660 720 ttoottgtgt agoggtgaaa tgogtagata taaggaagao accagtggog aagoggatta 780 ctggacgata actgacggtg aggcgcgaaa gcgtggggag caaacaggat tagatacctg ggtagtcaac gctgtaaacg atcgatacta ggtggtgcgg gggacttgac cccctgccgt 840 tgccggagtt aacaccaata aagtattegg caccetgggg agtacgateg caaaggttga 900 aaactcaaaa gaaatggacg gggggccccg ccccaagcgg gtgggattat gttggtttat 960 ttogaaagoa aogogaagaa oootaacagg gottgacato otgotaacga agtagagata 1020 cattaggtgc ccttcgggga aagtagagac aggtggtgca tggttgtcgt cagctcgtgt 1080 cgtgagatgt tgggttaagt cccgcaacga gcgcaacccc tattgttagt tgctacgcaa 1140 gagcactota gogagactgo ogttgacaaa acggaggaag goggggacga ogtcaaatca 1200 teatgeeet tatgteetgg getacaeacg taatacaatg geggttaaca aagggatgea 1260 aagccgcgag gcagagcgaa ccccaaaaaag ccgtcccagt tcggatcgca ggctgcaacc 1320

1380

```
cgcctgcgtg aagtcggaat cgctagtaat cgcggatcag catgccgcgg tgaatacgtt
       cccgggcctt gtacacaccg cccgtcacac catgagagtc gggaacaccc gaagtccgta
                                                                           1440
       gcctaaccgc aaggagggcg cggccgaagg tgggttcgat aattggggtg aagtcgtaac
                                                                           1500
                                                                           1511
       aaggtagccg t
     <210> 60
     <211> 1499
 5
     <212> ADN
     <213> Clostridium leptum
     <220>
     <221> ARNr
     <222> (1)..(1499)
     <223> Secuencia génica codificante de ARNr 16S de Clostridium cepa 40
10
     <400> 60
     agagtttgat cctggctcag gataaacgct ggcggcatgc ctaacacatg caagtcgaac
                                                                           60
     ggagcgcctt ggaaggagac ttcggtcaac ggaagaggag gcttagtggc ggacgggtga
                                                                          120
     gtaacgcgtg aggaacctgc ctcagagagg gggataacac accgaaaggt gtgctaatac
                                                                          180
     cqcataacat atqaqaqqqq catccctttc atatcaaaqa tttattqctt tqaqatqqcc
                                                                          240
     tegegteeaa ttagetagtt ggtgaggtaa eggeecacea aggegaegat tggtageegg
                                                                          300
                                                                          360
     actgagaggt tgaacggcca cattgggact gagacacggc ccagactect acgggaggca
     qcaqtqqqqa atattqcaca atqqqqqqaa ccctqatqca qcaatqccqc qtqaaqqatq
                                                                          420
     aaggttttcg gattgtaaac ttcttttgta cgggacgaag aaagtgacgg taccgtaaga
                                                                          480
     ataagccacg gctaactacg tgccagcagc cgcggtaata cgtaggtggc aagcgttatc
                                                                          540
                                                                          600
     cggatttact gggtgtaaag ggcgagtagg cgggattgca agtcagatgt gaaaactatg
     ggctcaaccg atagagtgca tttgaaactg cagttcttga gtgatggaga ggcaggcgga
                                                                          660
                                                                          720
     attcccggtg tagcggtgga atgcgtagat atcgggaggg aacaccagtg gcgaaggcgg
                                                                          780
     cctgctggac attaactgac gctgatgcgc gaaagcgtgg ggagcaaaca ggattagata
     ccctggtagt cacgctgtaa acgatgatta ctaggtgtgg ggggtactga ccccttccc
                                                                          840
     gtgccggagt taacacaata agtaatccac ctggggagta cggccgcaag gttgaaactc
                                                                          900
     aaaggaattg acgggggccc gcacaagcag tggagtatgt ggttttaatt cgaagcaacg
                                                                          960
     cqaaqaacct taccaqqqct tqacatqqqq atqaccqctt taqaqataqa qctttctctt
                                                                         1020
     1080
      ttaaqtcccq caacqaqcqc aaccettatt gttagttget acqcaaqaqc actetaqcqa
                                                                         1140
      gactgccgtt gacaaaacgg aggaaggtgg ggacgacgtc aaatcatcat gccctttatg
                                                                         1200
      tectgggeta cacaegtaet acaatggegg acatacagag ggaagcaaga cagegatgtg
                                                                         1260
      gageaaatee etaaaageeg teteagttea gattgeagge tgeaaceege etgeatgaag
                                                                         1320
      teqqaattge tagtaatege ggateageat geegeggtga ataegtteee gggeettgta
                                                                         1380
      cacaccqccc qtcacaccat qaqaqtcqqa aacacccqaa qcctqtaqcc caaccqcaaq
                                                                         1440
                                                                         1499
      gggggcgcag tcgaaggtgg gtctgataat tggggtgaag tcgtaacaaa ggtagccgt
15
     <210> 61
     <211> 1512
```

<212> ADN

5

10

15

```
<213> Clostridium coccoides
<220>
<221> ARNr
<222> (1)..(1512)
<223> Secuencia génica codificante de ARNr 16S de Clostridium cepa 41
<400> 61
agagtttgat cctggctcag gatgaacgct ggcggcgtgc ttaacacatg caagtcgaac
                                                                         60
                                                                        120
ggagatatca ttttcgaagc gattagttta ctaagagcgg agatgttgct atcttagtgg
cggacgggtg agtaacgcgt gggtaacctg ccttgcactg ggggataaca cttagaaata
                                                                        180
ggtgctaata ccgcataaca gtaggagacg catgtctttt acttgaaaac tccggtggtg
                                                                        240
                                                                        300
taagatggac ccgcgtctga ttagcttgtt ggcggggtaa cggcccacca aggcaacgat
                                                                        360
cagtagccgg cctgagaggg tgaacggcca cattgggact gagacacggc ccaaactcct
                                                                        420
acgggaggca gcagtgggga atattggaca atggggggaa ccctgatcca gcgacgccgc
                                                                        480
qtqaqtqaaq aaqtatttcq qtatqtaaaq ctctatcaqc agggaaqaaa gaaatgacqq
tacctgacta agaagccccg gctaactacg tgccagcagc cgcggtaata cgtagggggc
                                                                        540
                                                                        600
aagcgttatc cggatttact gggtgtaaag ggagcgtaga cggcgatgca agtctgaagt
qaaaqqcqqq qqcccaaccc ccqqactqct ttqqaaactq tatgqctgqa qtqcaggaga
                                                                        660
                                                                        720
ggtaagtgga attcctagtg tagcggtgaa atgcgtagat attaggagga acaccagtgg
cqaaagcggc ttactggact gtaactgacg ttgaggctcg aaagcgtggg gagcaaacaa
                                                                        780
                                                                        840
qattaqatac ctqqtaqtca cqccqtaaac qatqatcacc qqtttcggtg ggttatggac
ccatcggttg cgcagcaaac gcagtagtga tccacctggg gagtaacgtt cgcaagaatg
                                                                        900
aaacttcaaa ggaaatgacg ggggacccgg cacaagcggt ggaggcatgt gtttaattcg
                                                                        960
aagcaacgcg aagaacctta cccaagtctt gacatcccgt gacgagtgag taacgtcact
                                                                       1020
                                                                       1080
ttcccttcgg ggcagcggag acaggtggtg catggttgtc gtcagctcgt gtcgtgagat
gttgggttaa gtcccgcaac gagcgcaacc cctatcctta gtagccagcg agttaggtcg
                                                                       1140
ggcactctag ggagactgcc ggggacaacc cggaggaagg tggggatgac gtcaaatcat
                                                                       1200
catgcccctt atgatttggg ctacacacgt gctacaatgg cgtaaacaaa gggaagcgag
                                                                       1.260
cctqtqaaqq taaqcqaatc ccaqaaataa cgtctcagtt cggattgtag tctgcaactc
                                                                       1320
qactacatga agctggaatc gctagtaatc gcggatcaga atgccgcggt gaatacgttc
                                                                       1380
ccgggtcttg tacacaccgc ccgtcacacc atgggagtcg gaaatgcccg aagtctgtga
                                                                       1440
cccaacctga gaaggagga gcagccgaag gcaggtcgga tgactggggt gaagtcgtaa
                                                                       1500
caaggtagcc gt
                                                                       1512
                                    . _ - - - -
<210> 62
<211> 17
<212> ADN
<213> Artificial
<220>
<223> Secuencia cebadora sintetizada de forma artificial
<400> 62
ggtgaatacg ttcccgg
                                                           17
<210> 63
<211> 22
<212> ADN
<213> Artificial
<220>
```

	<223> Secuencia cebadora sintetizada de forma artificial <400> 63 tacggctacc ttgttacgac tt	22
5	<210> 64 <211> 20 <212> ADN <213> Artificial <220>	
10	<223> Secuencia cebadora sintetizada de forma artificial <400> 64 aaatgacggt acctgactaa	20
15	<210> 65 <211> 22 <212> ADN <213> Artificial <220>	
20	<223> Secuencia cebadora sintetizada de forma artificial <400> 65 ctttgagttt cattcttgcg aa	22
25	<210> 66 <211> 16 <212> ADN <213> Artificial <220>	
30	<223> Secuencia cebadora sintetizada de forma artificial <400> 66 gcacaagcag tggagt	16
35	<210> 67 <211> 18 <212> ADN <213> Artificial <220> <223> Secuencia cebadora sintetizada de forma artificial <400> 67 cttcctccgt tttgtcaa	18
40 45	<210> 68 <211> 18 <212> ADN <213> Artificial <220> <223> Secuencia cebadora sintetizada de forma artificial <400> 68 gagaggaagg tcccccac	18
50	<210> 69 <211> 19 <212> ADN <213> Artificial <220>	
55	<223> Secuencia cebadora sintetizada de forma artificial <400> 69 cgctacttgg ctggttcag	19

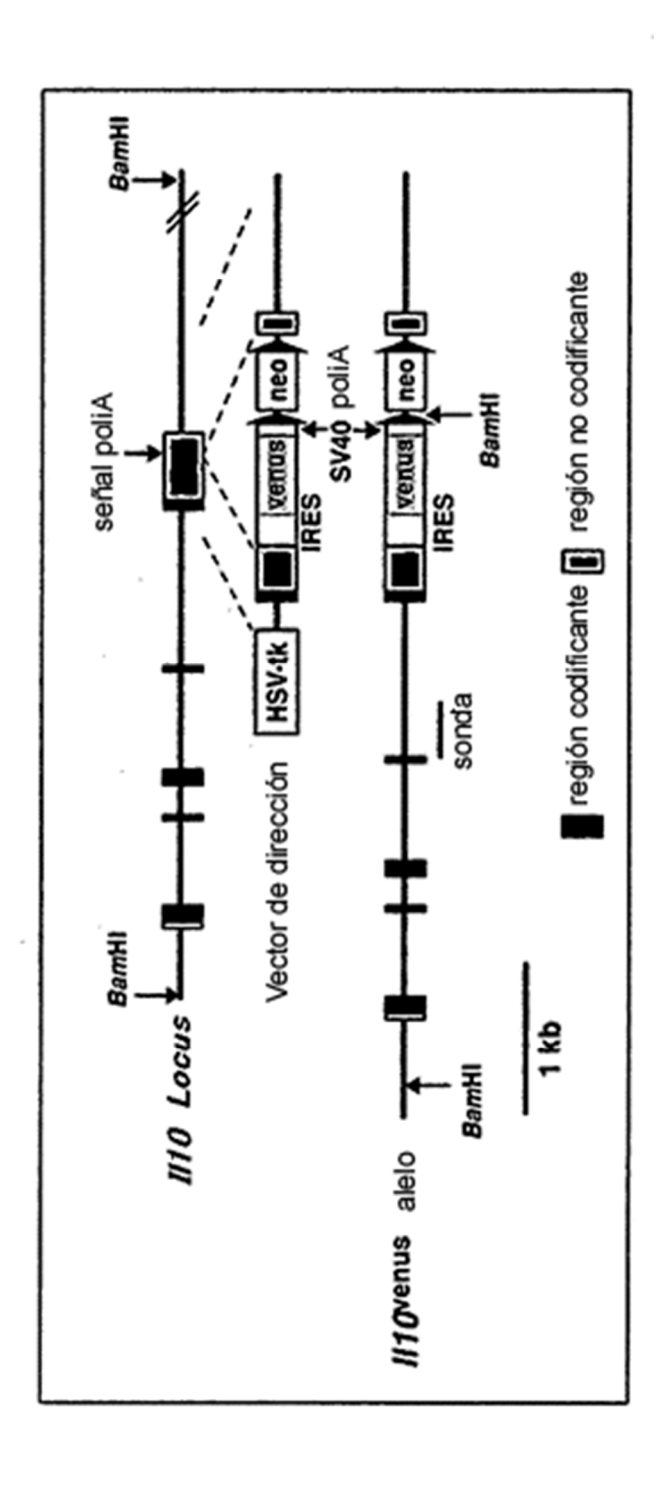
#### REIVINDICACIONES

- 1. Una composición para su uso en un método para tratar o prevenir una enfermedad seleccionada de enfermedad infecciosa, enfermedad autoinmunitaria o enfermedad alérgica en un individuo, comprendiendo la composición, como ingrediente activo, bacterias que comprenden bacterias que forman esporas pertenecientes a los grupos IV y XIVa de *Clostridium* en combinación, que es una combinación que induce la proliferación o acumulación de células T reguladoras factor de transcripción Foxp3-positivas en dicho individuo.
- 2. La composición para su uso de acuerdo con la reivindicación 1, en la que dicha enfermedad autoinmunitaria se selecciona de: rechazo de trasplante de órganos, enfermedad inflamatoria del intestino (IBD), colitis ulcerosa, enfermedad de Crohn, esprue, artritis reumatoide, diabetes de tipo I, enfermedad de injerto contra hospedador y esclerosis múltiple.
- 3. La composición para su uso de acuerdo con una cualquiera de las reivindicaciones precedentes, en la que las bacterias pertenecientes a los grupos IV y XIVa de *Clostridium* en combinación comprenden múltiples cepas de bacterias pertenecientes al grupo XIVa o grupo IV de *Clostridium* en combinación como un ingrediente activo.
  - 4. La composición para su uso de acuerdo con una cualquiera de las reivindicaciones precedentes, en la que la composición comprende adicionalmente, como ingrediente activo, una o más cepas de bacterias pertenecientes a un grupo de *Clostridium* diferente del grupo XIVa o grupo IV de *Clostridium*.
  - 5. La composición para su uso de acuerdo con una cualquiera de las reivindicaciones precedentes, en la que la composición es una composición farmacéutica.
- 6. La composición para su uso de acuerdo con la reivindicación 1, en la que dicha composición se usa en combinación con una composición terapéutica adicional seleccionada de: corticosteroides, mesalazina, mesalamina, sulfasalazina, derivados de sulfasalazina, fármacos inmunosupresores, ciclosporina A, mercaptopurina, azatiopurina, prednisona, metotrexato, antihistaminas, glucocorticoides, epinefrina, teofilina, cromolina de sodio, anti-leucotrienos, fármacos anti-colinérgicos para la rinitis, descongestivos anti-colinérgicos, estabilizantes de mastocitos, anticuerpos monoclonales anti-lgE y combinaciones de los mismos.
  - 7. La composición para su uso de acuerdo con una cualquiera de las reivindicaciones precedentes, en la que dichas bacterias pertenecientes a los grupos IV y XIVa de *Clostridium* están en forma de esporas.
- 35 8. La composición para su uso de acuerdo con una cualquiera de las reivindicaciones precedentes, en la que dichas bacterias se obtienen de una fracción que forma esporas de una muestra fecal obtenida de un ser humano.
  - 9. La composición para su uso de acuerdo con la reivindicación 8, en la que dicha fracción que forma esporas es una fracción resistente a cloroformo de dicha muestra fecal.

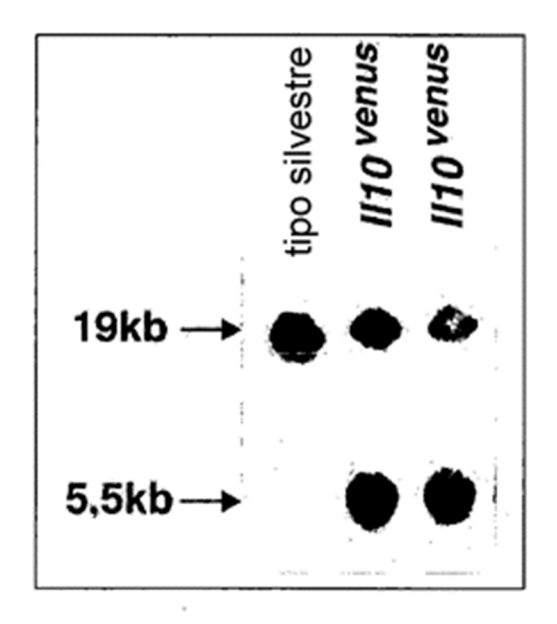
40

5

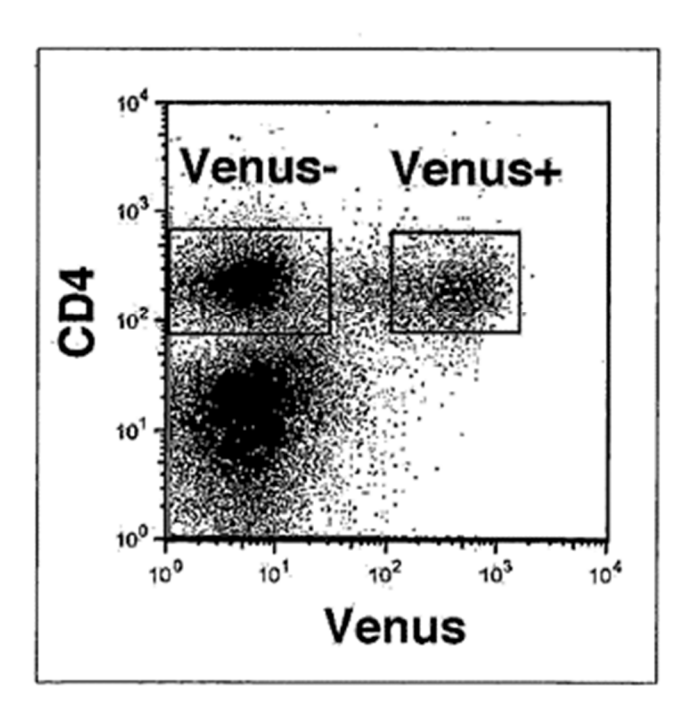
[Fig. 1]



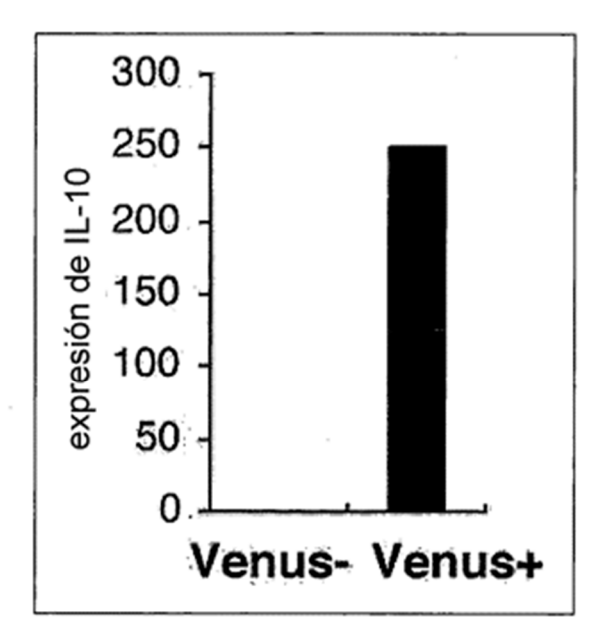
[Fig. 2]



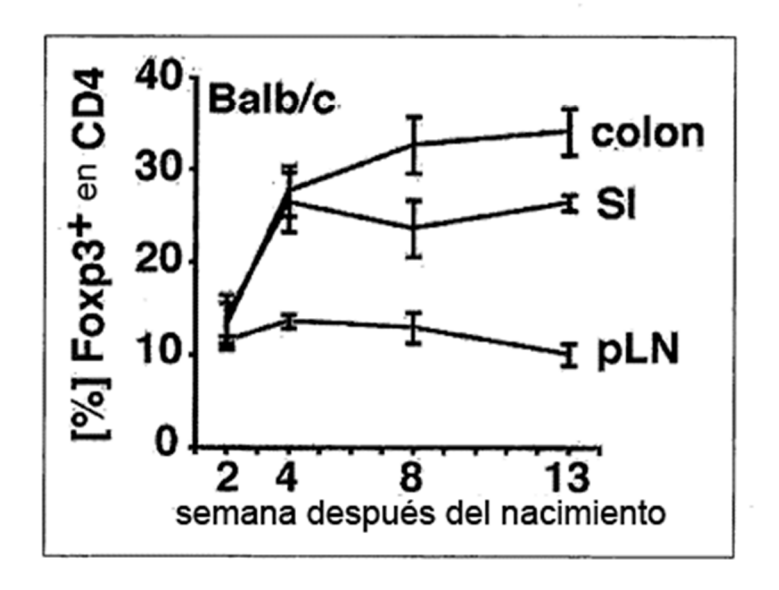
[Fig. 3]



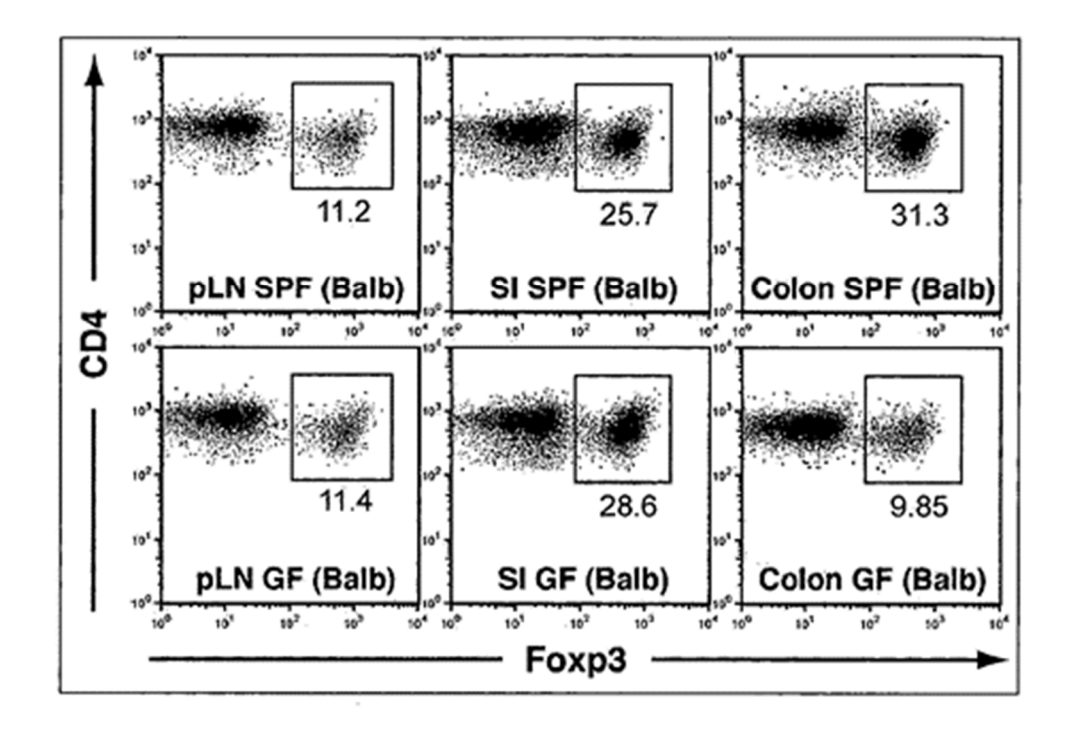
[Fig. 4]



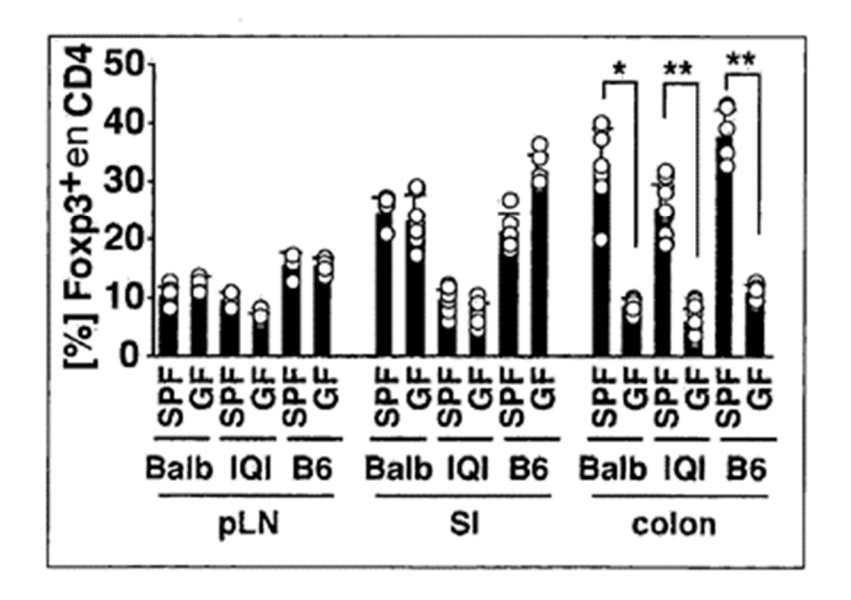
[Fig. 5]



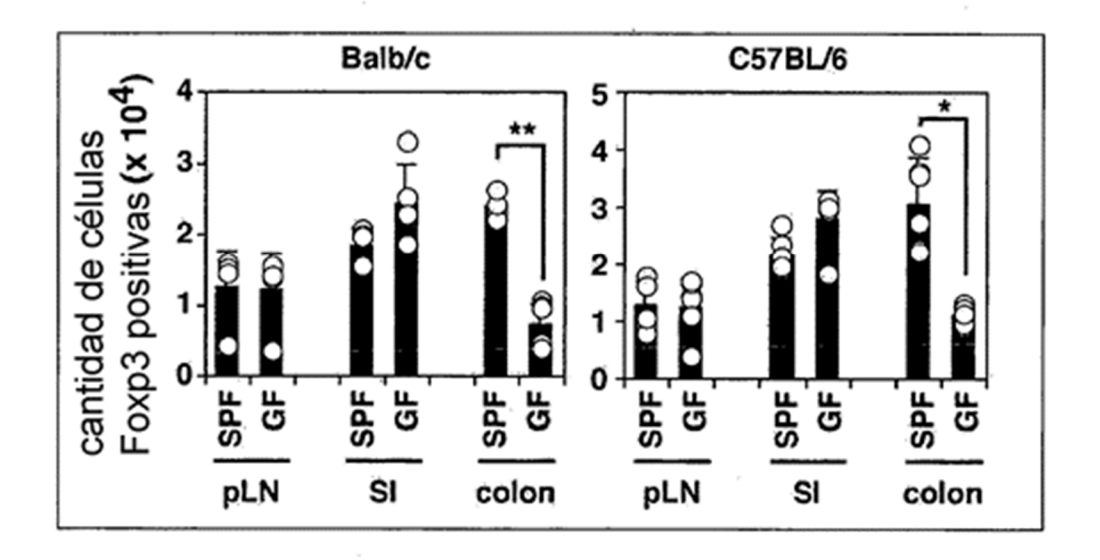
[Fig. 6]



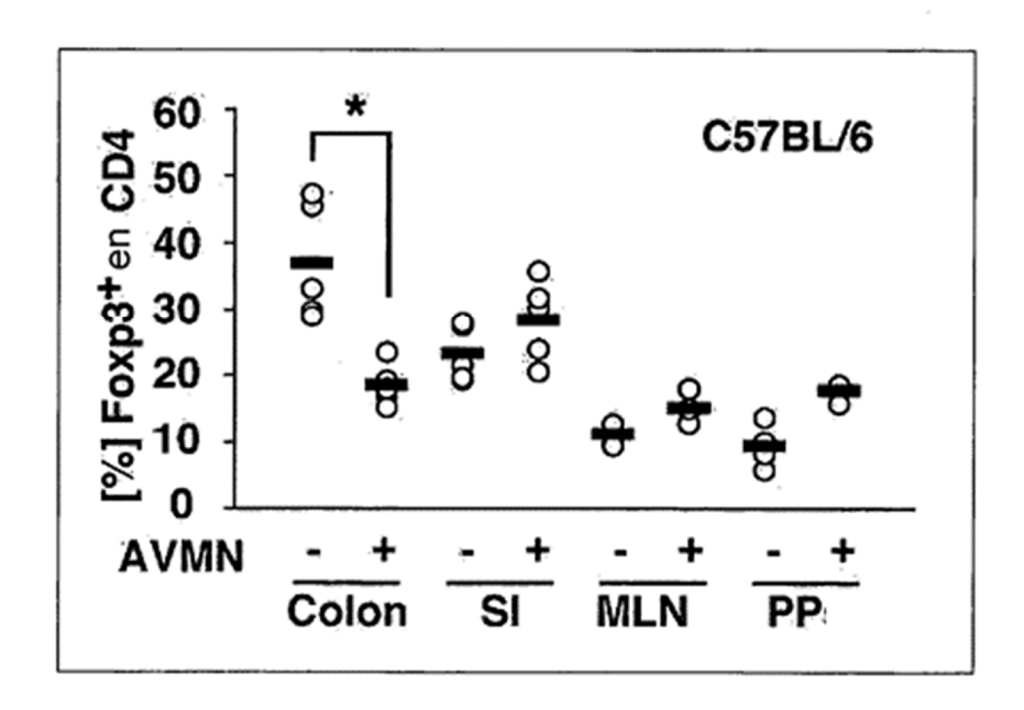
[Fig. 7]



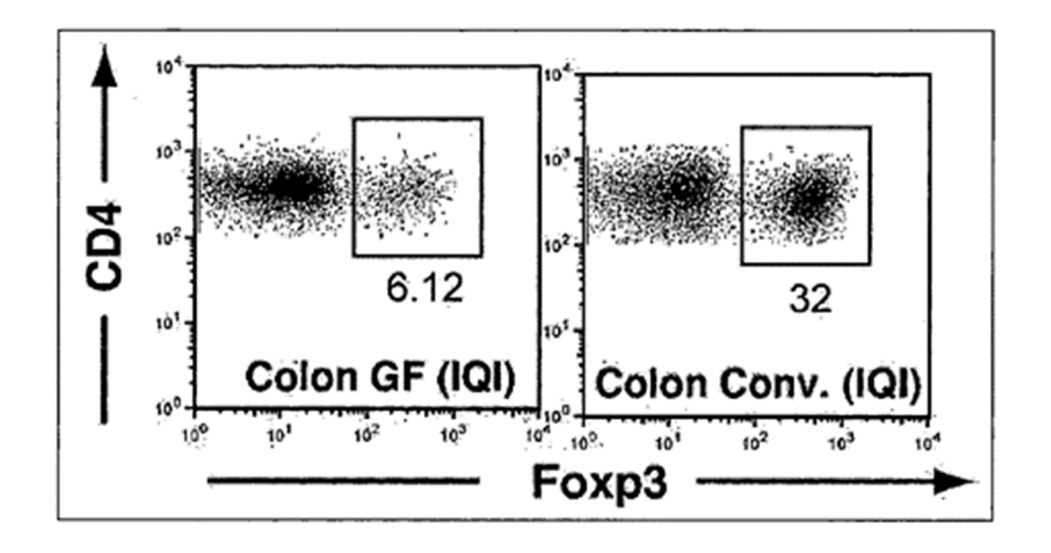
[Fig. 8]



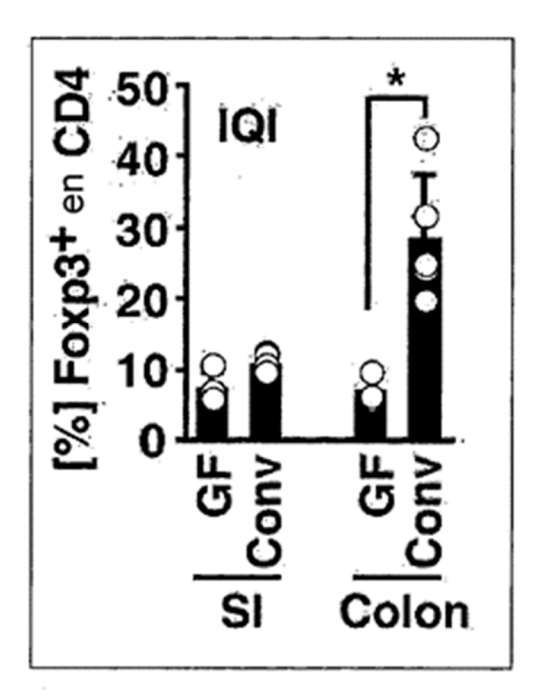
[Fig. 9]



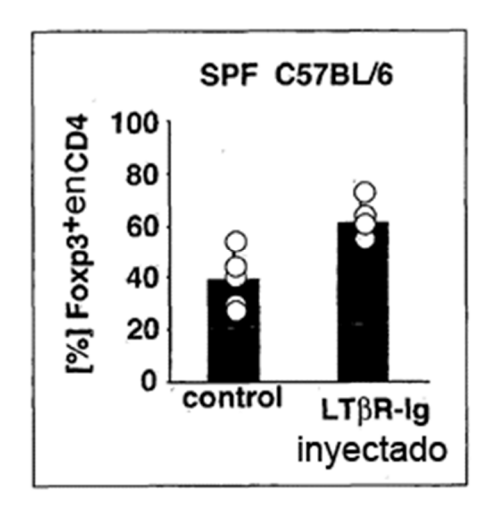
[Fig. 10]



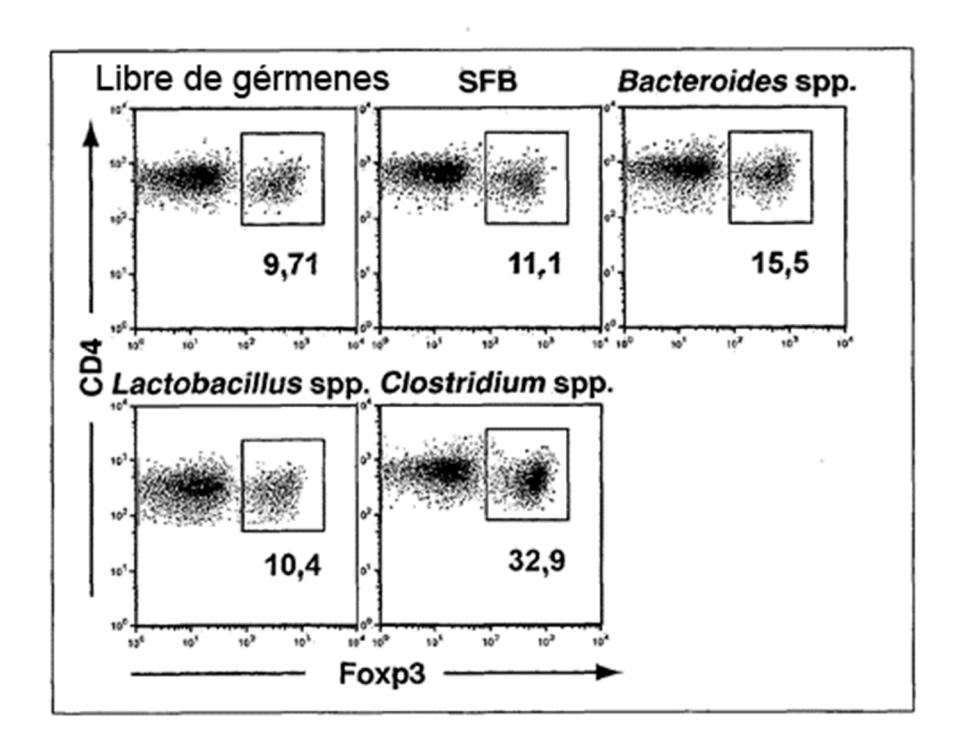
[Fig. 11]



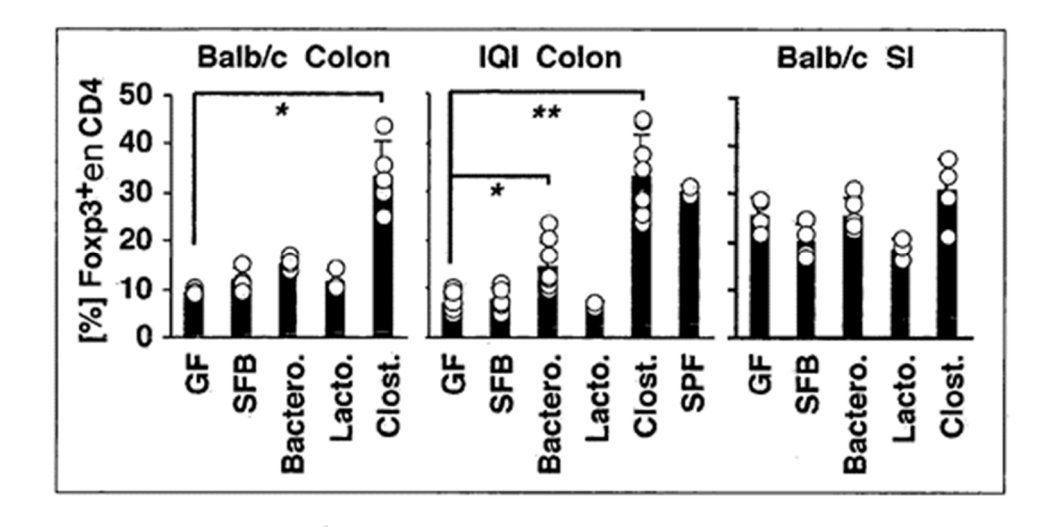
[Fig. 12]



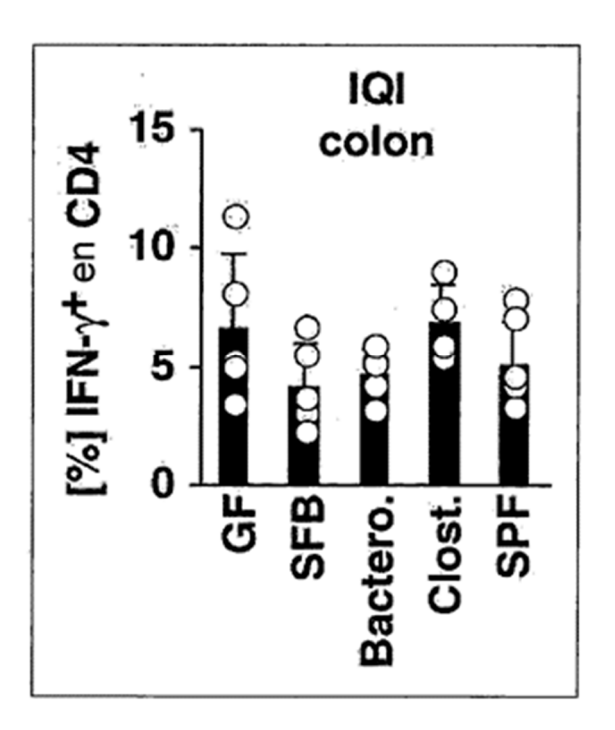
[Fig. 13]



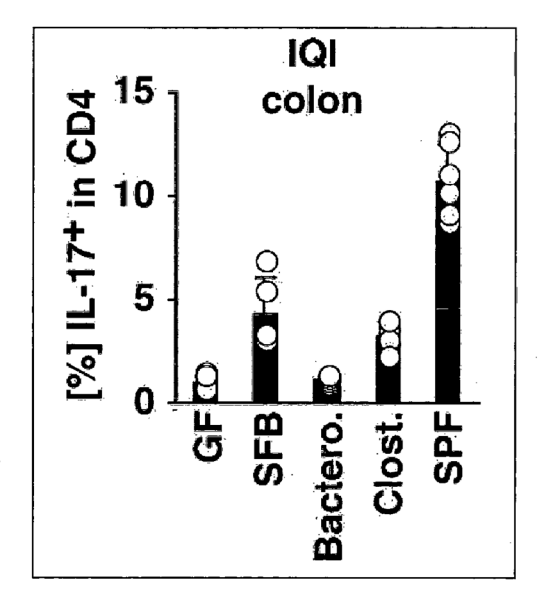
[Fig. 14]



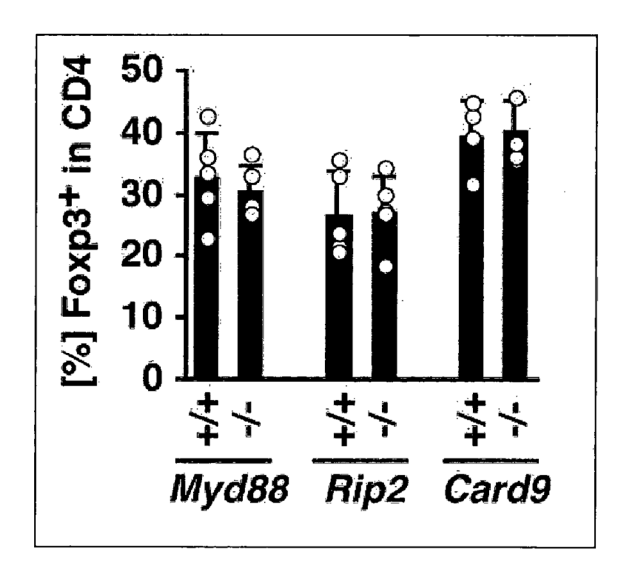
[Fig. 15]



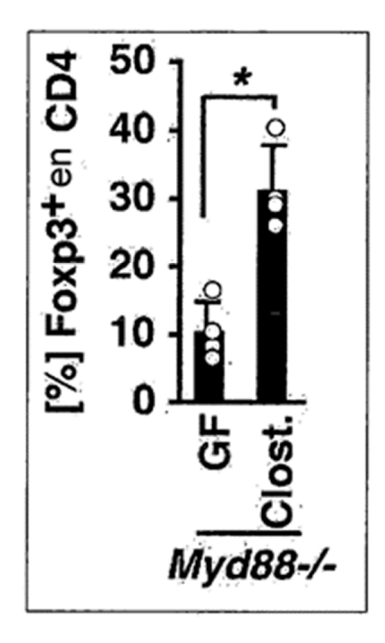
[Fig. 16]



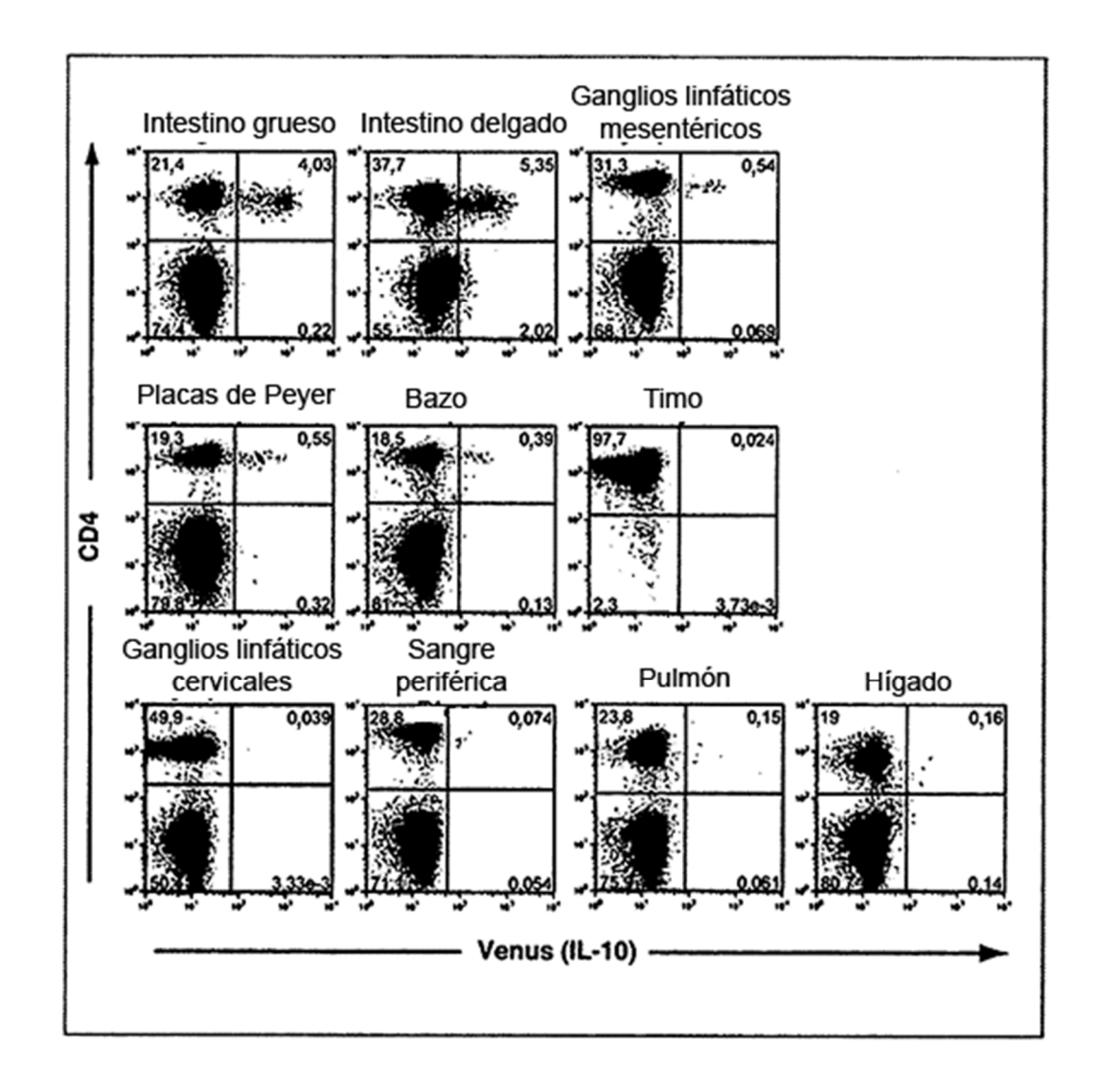
[Fig. 17]



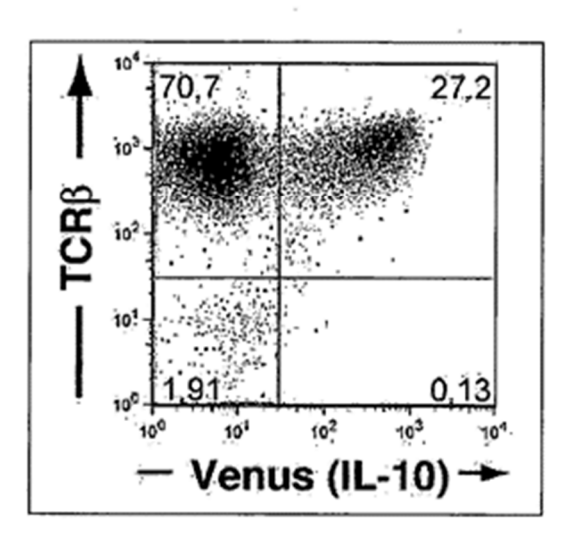
[Fig. 18]



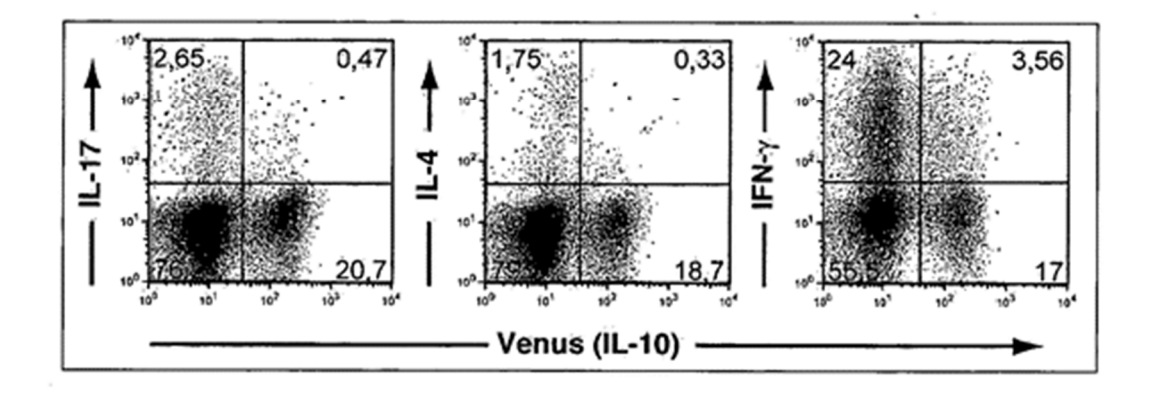
[Fig. 19]



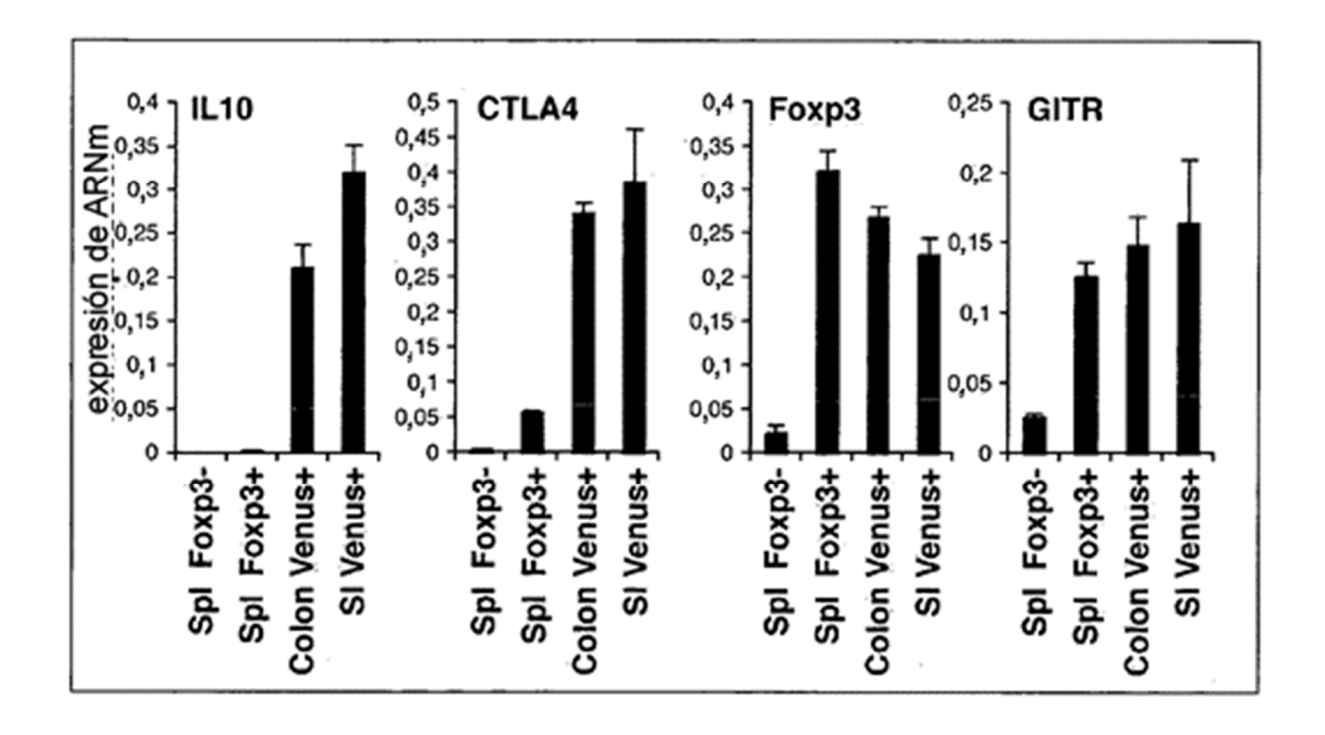
[Fig. 20]



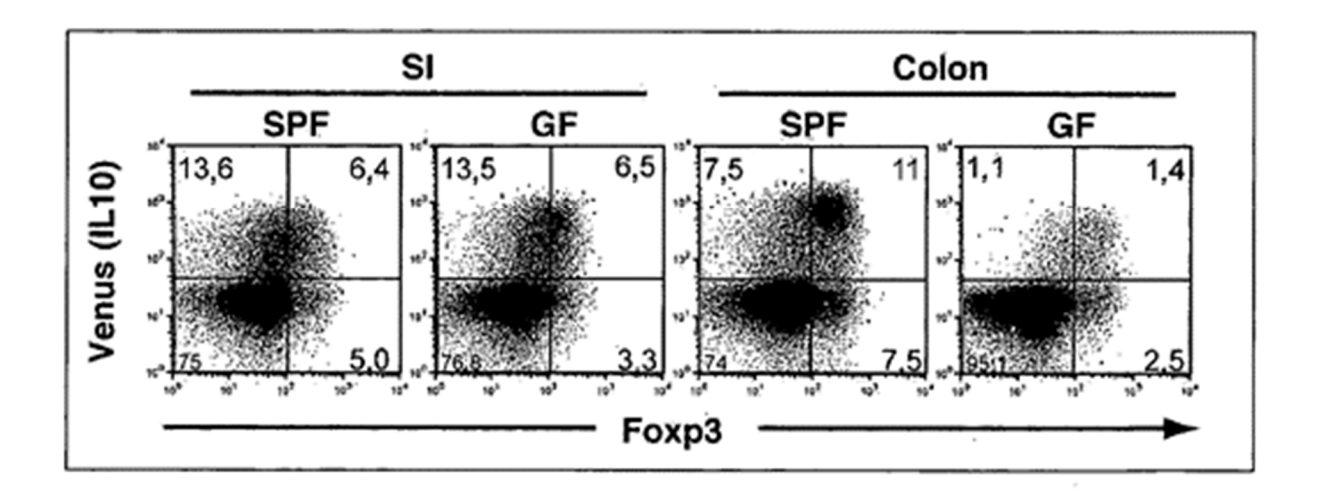
[Fig. 21]



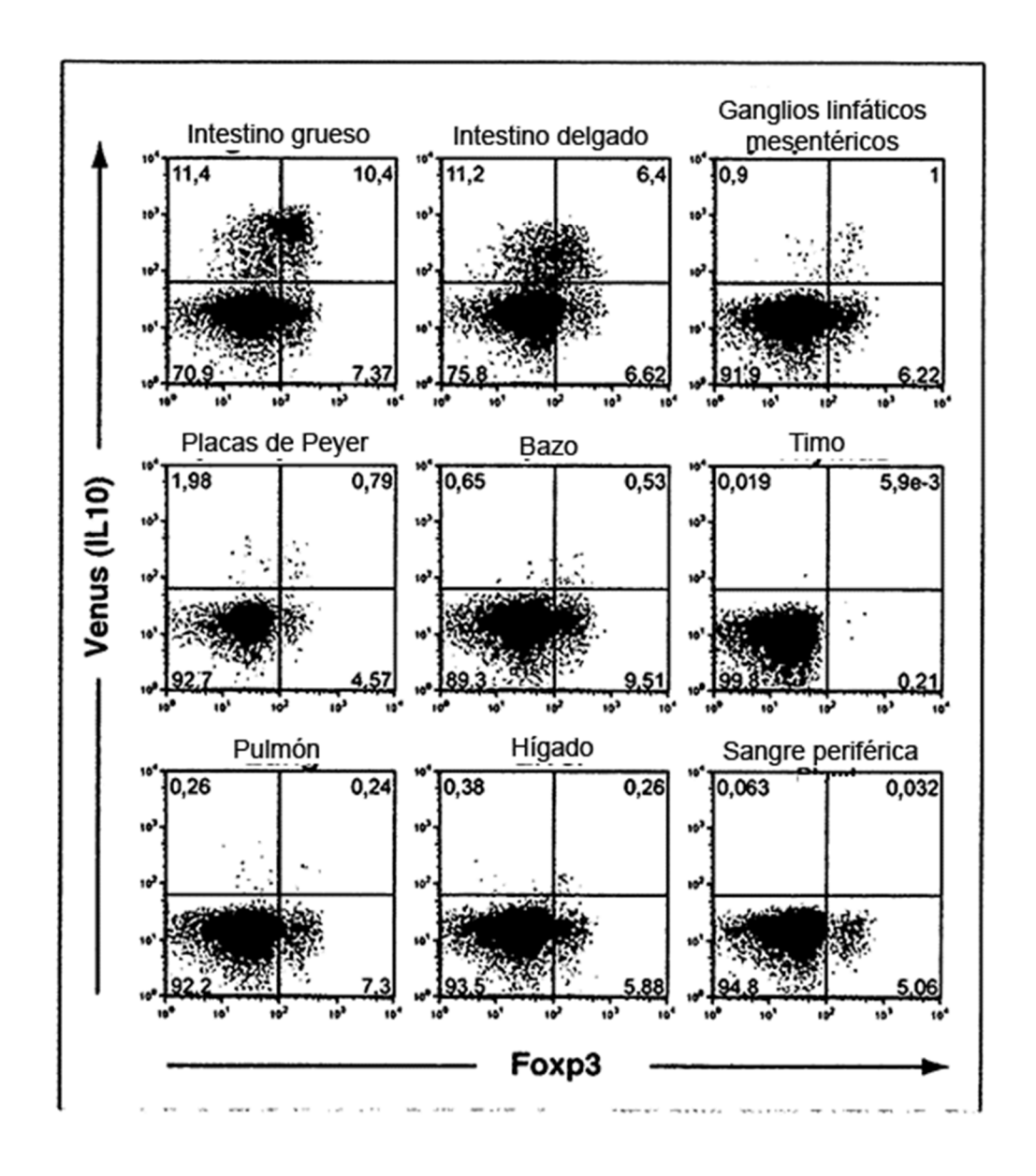
[Fig. 22]



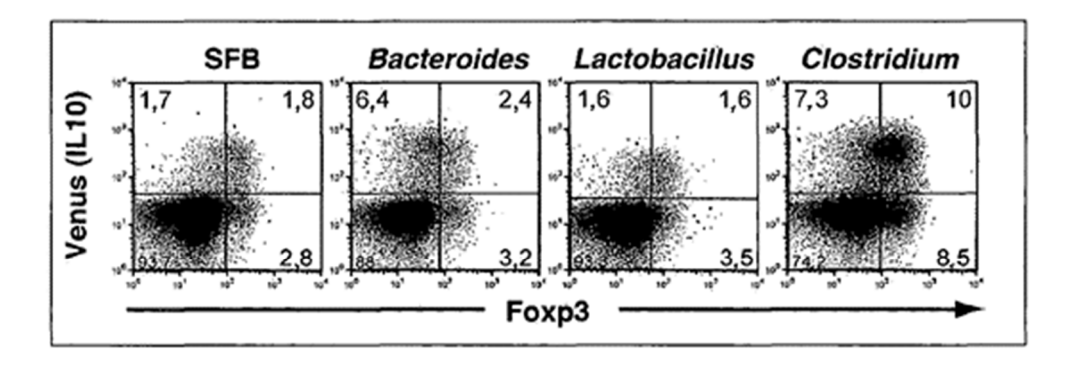
[Fig. 23]



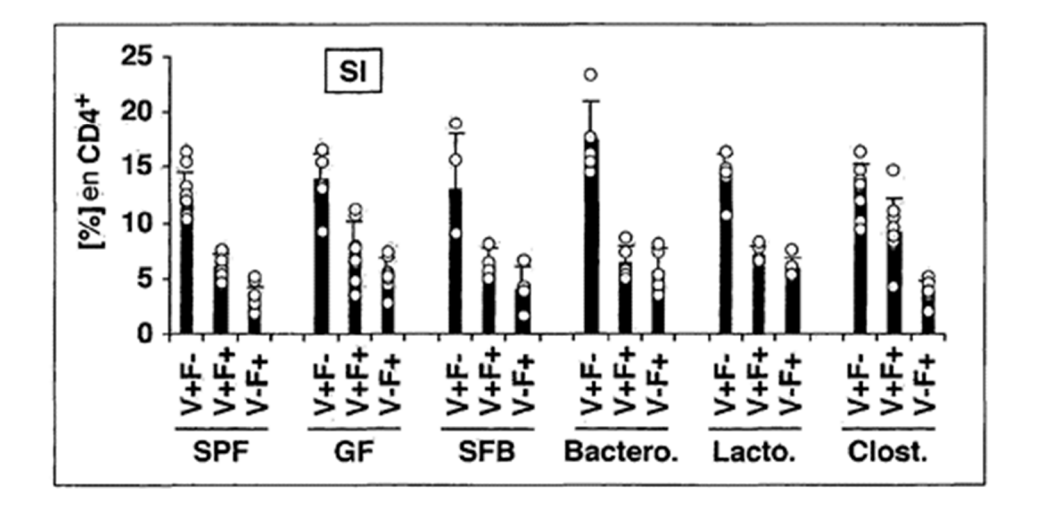
[Fig. 24]



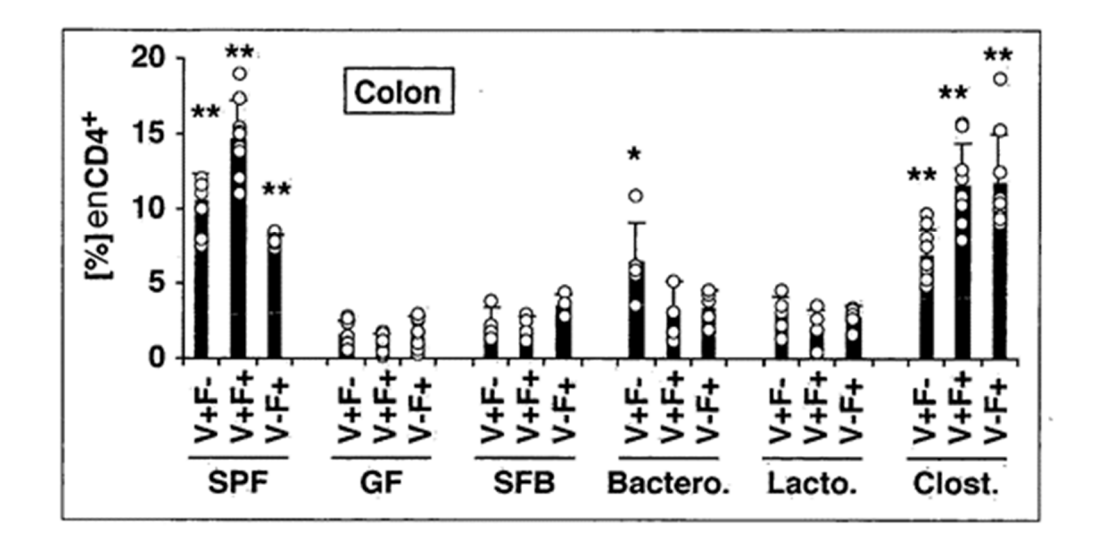
[Fig. 25]



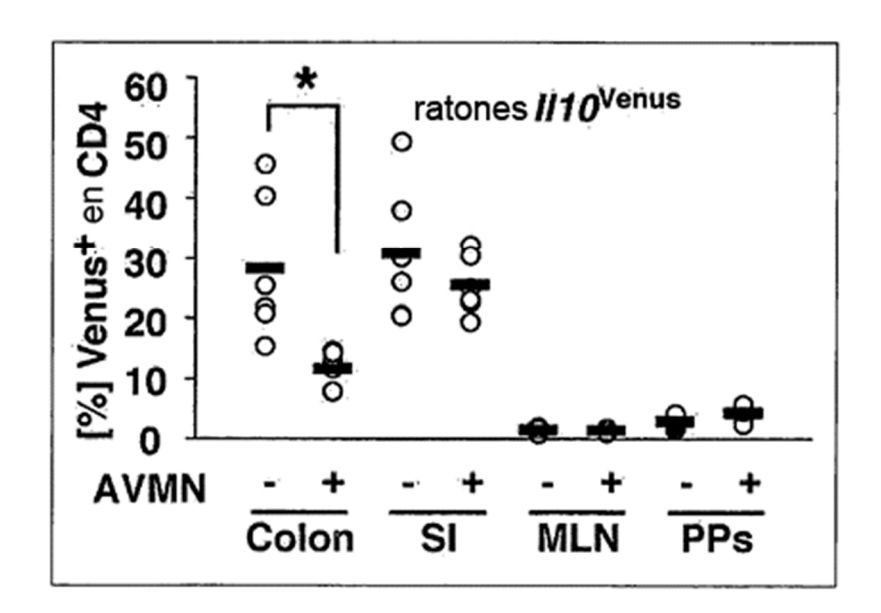
[Fig. 26]



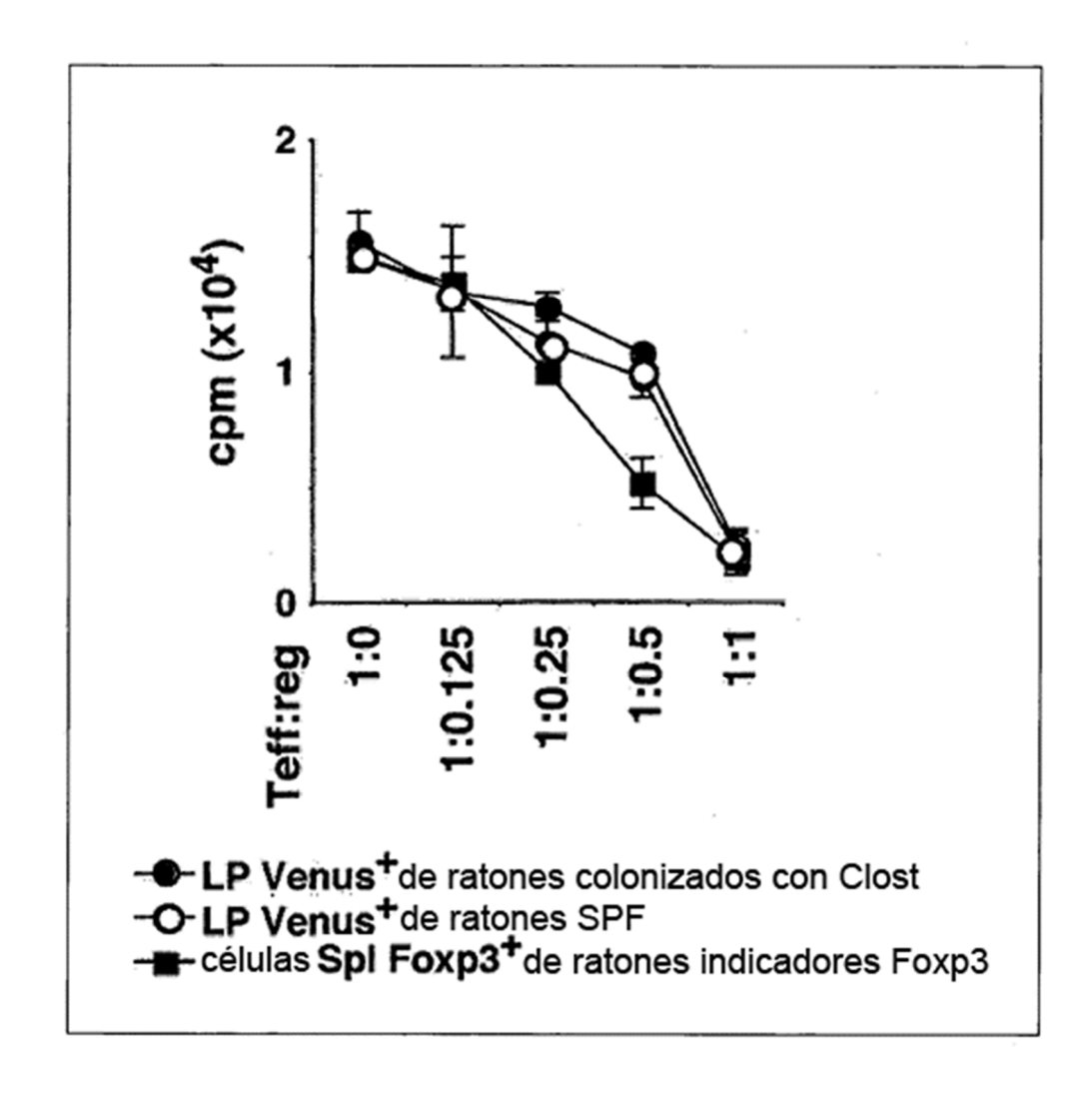
[Fig. 27]



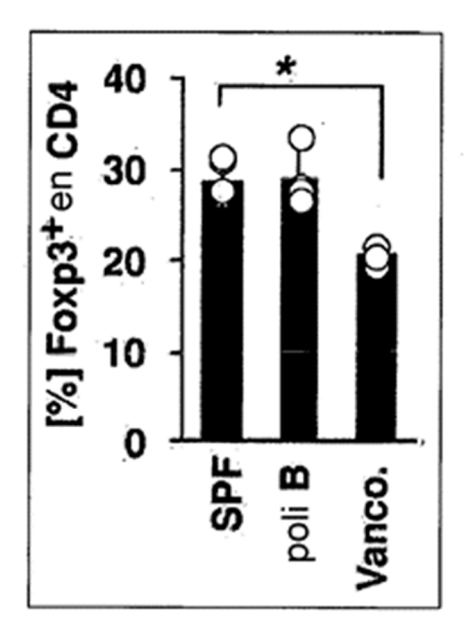
[Fig. 28]



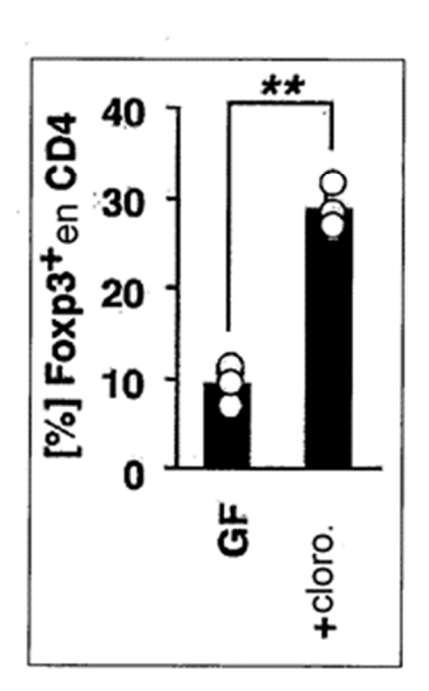
[Fig. 29]



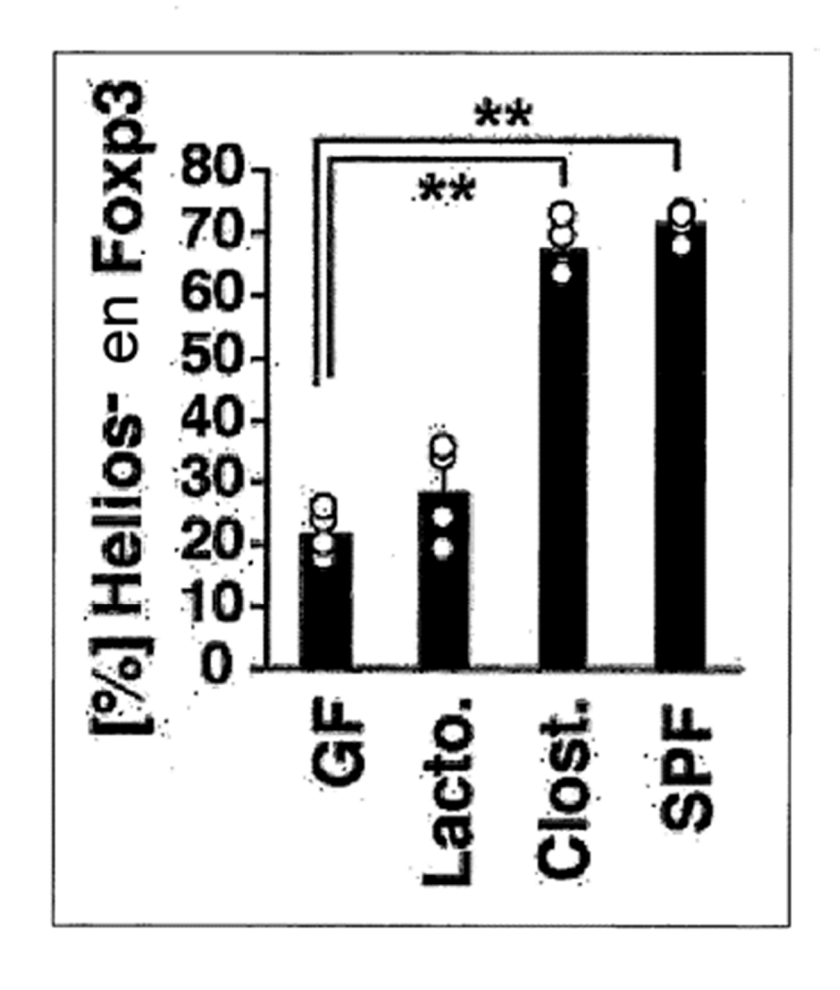
[Fig. 30]



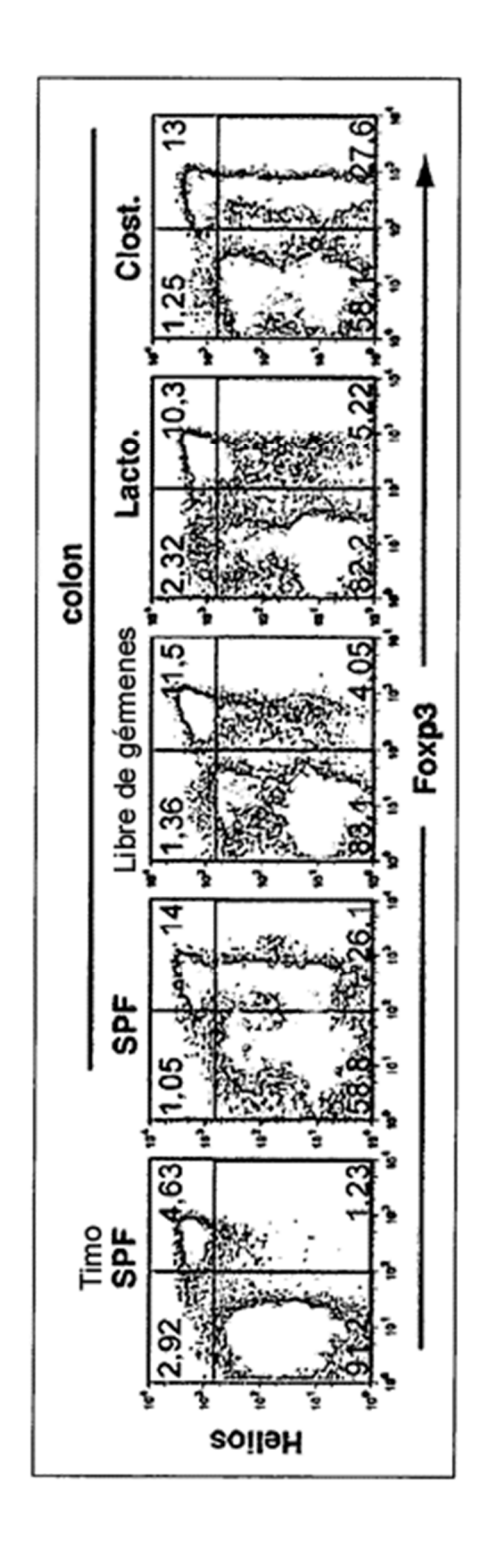
[Fig. 31]



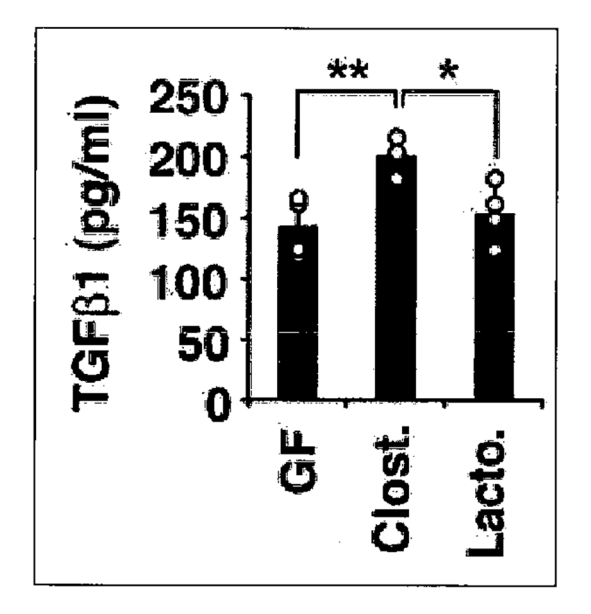
[Fig. 32].



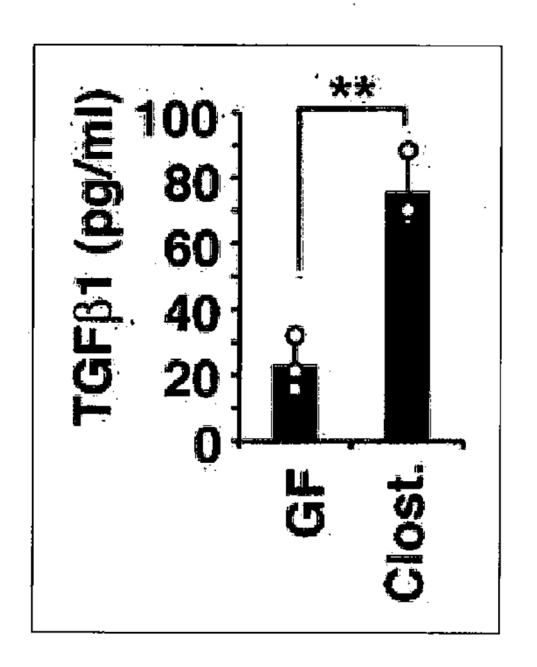
[Fig. 33]



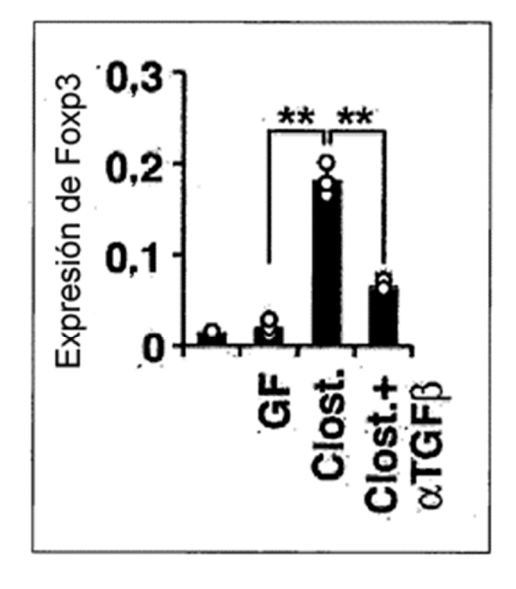
[Fig. 34]



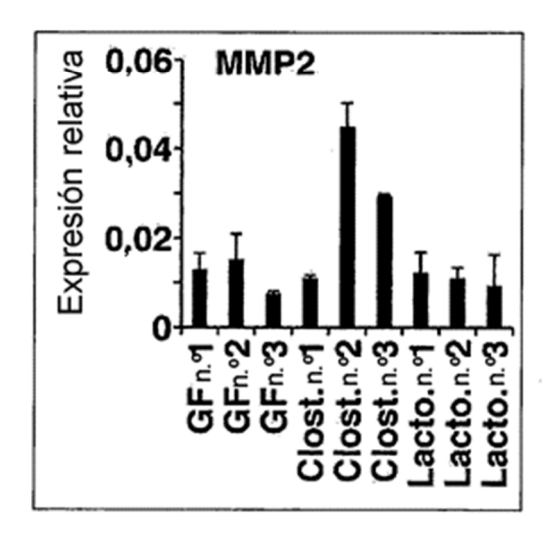
[Fig. 35]



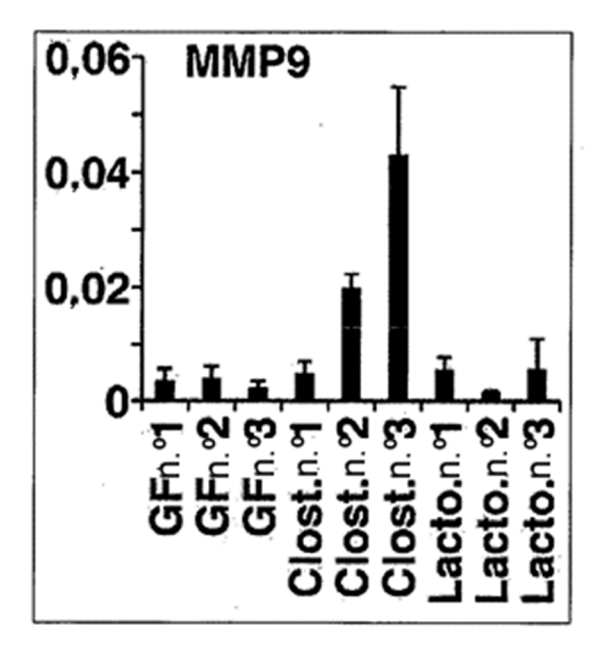
[Fig. 36]



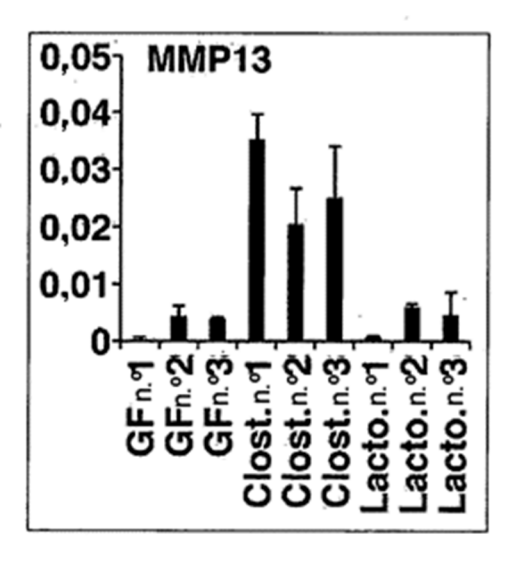
[Fig. 37]



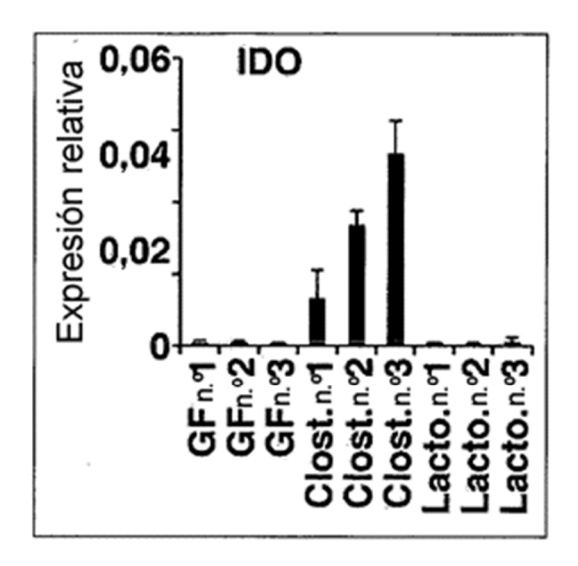
[Fig. 38]



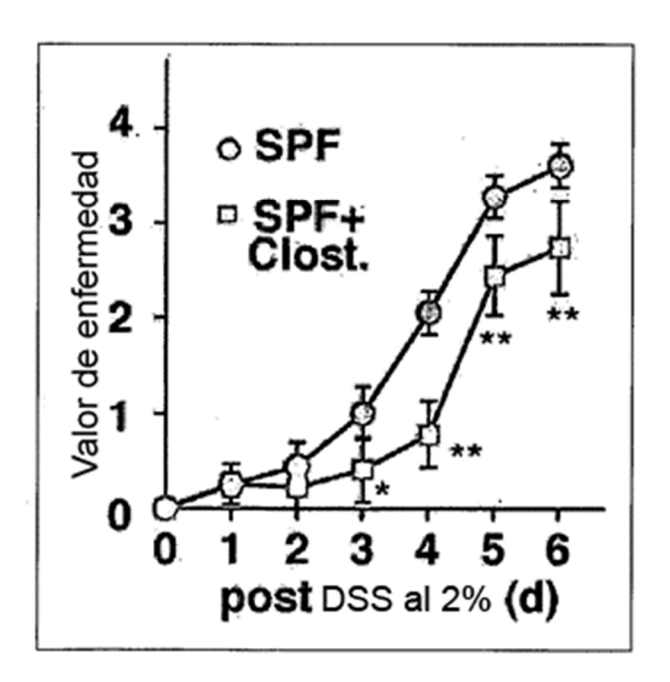
[Fig. 39]



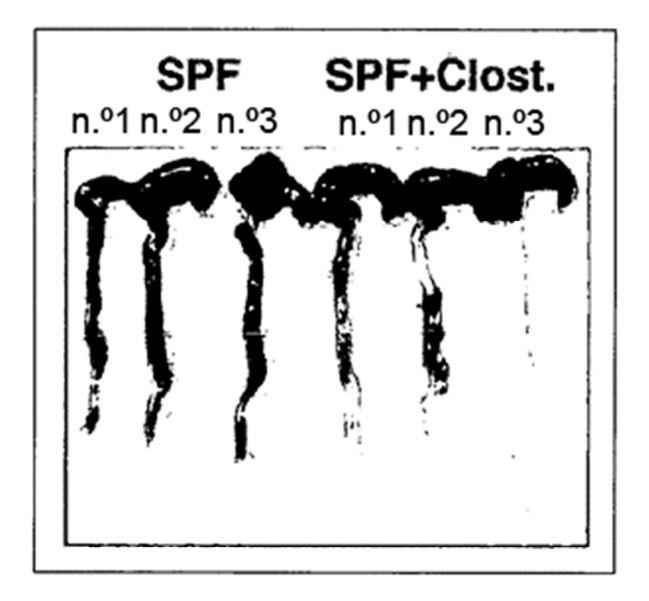
[Fig. 40]



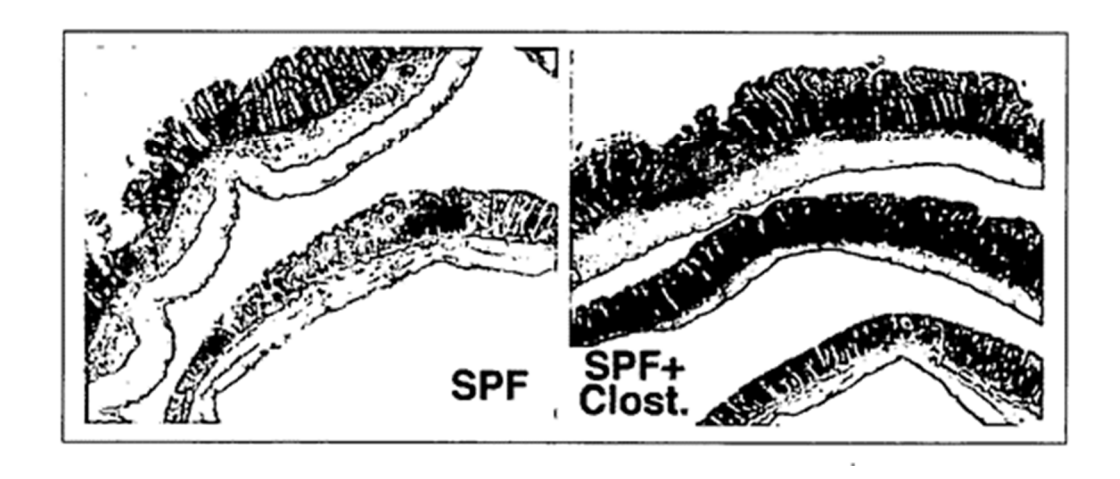
[Fig. 41]



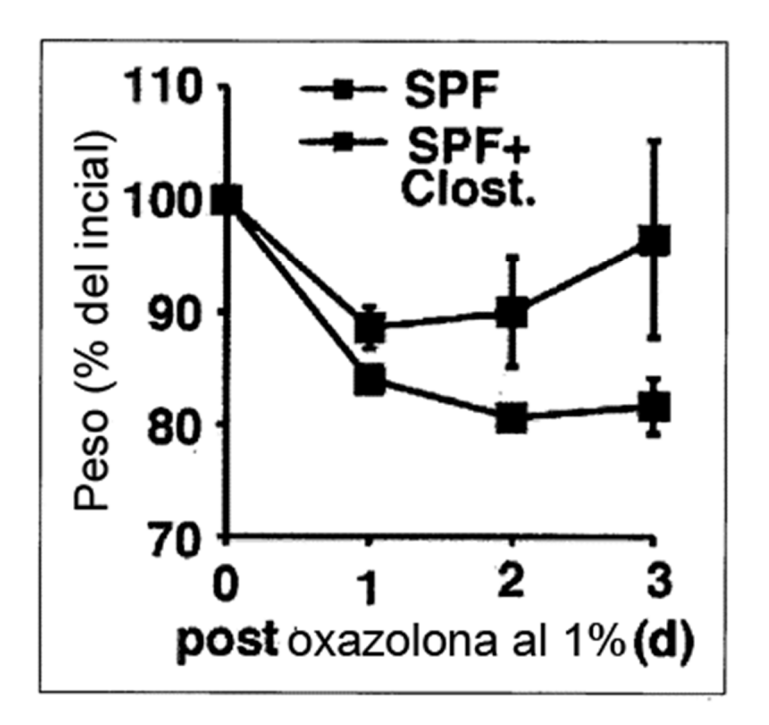
[Fig. 42]



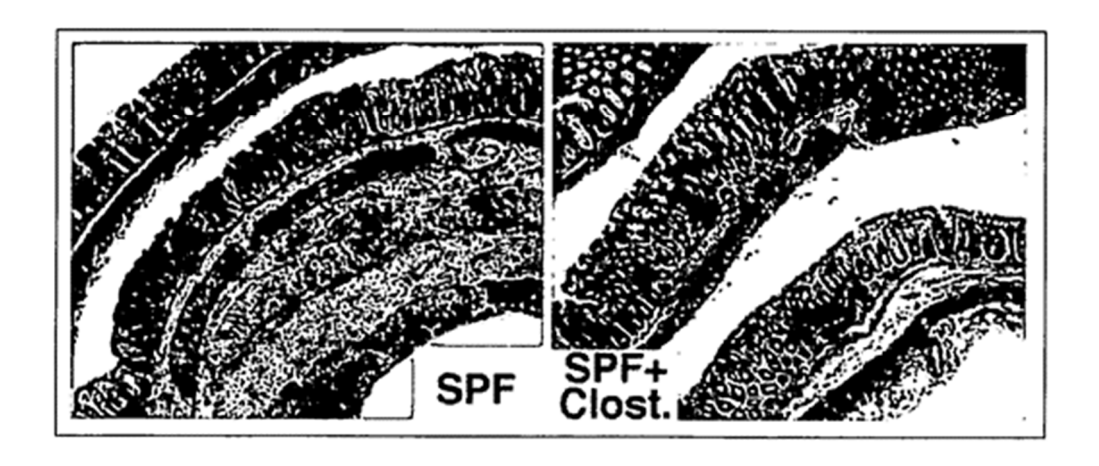
[Fig. 43]



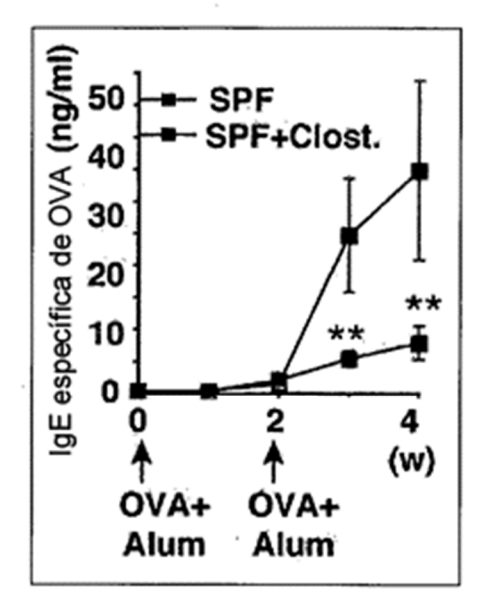
[Fig. 44]



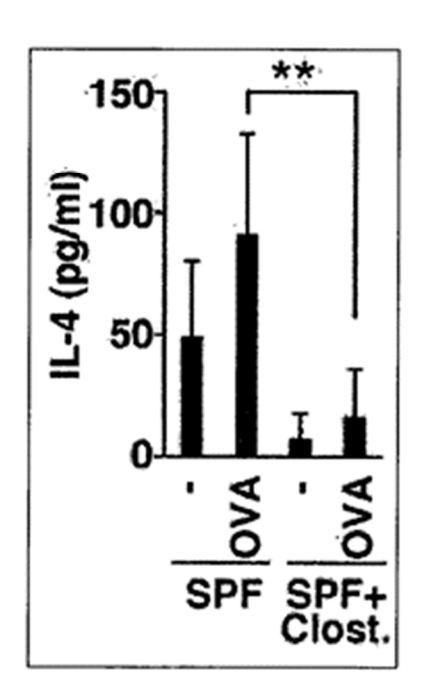
[Fig. 45]



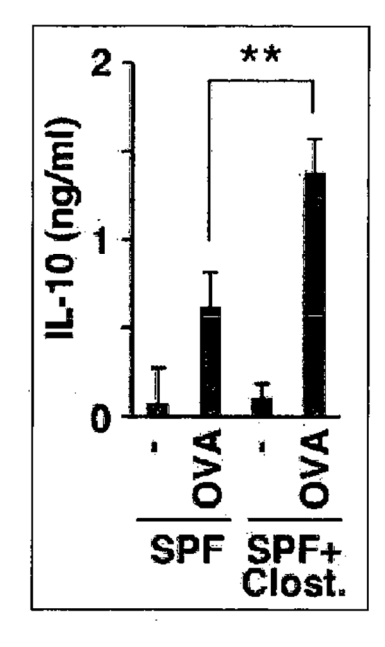
[Fig. 46]



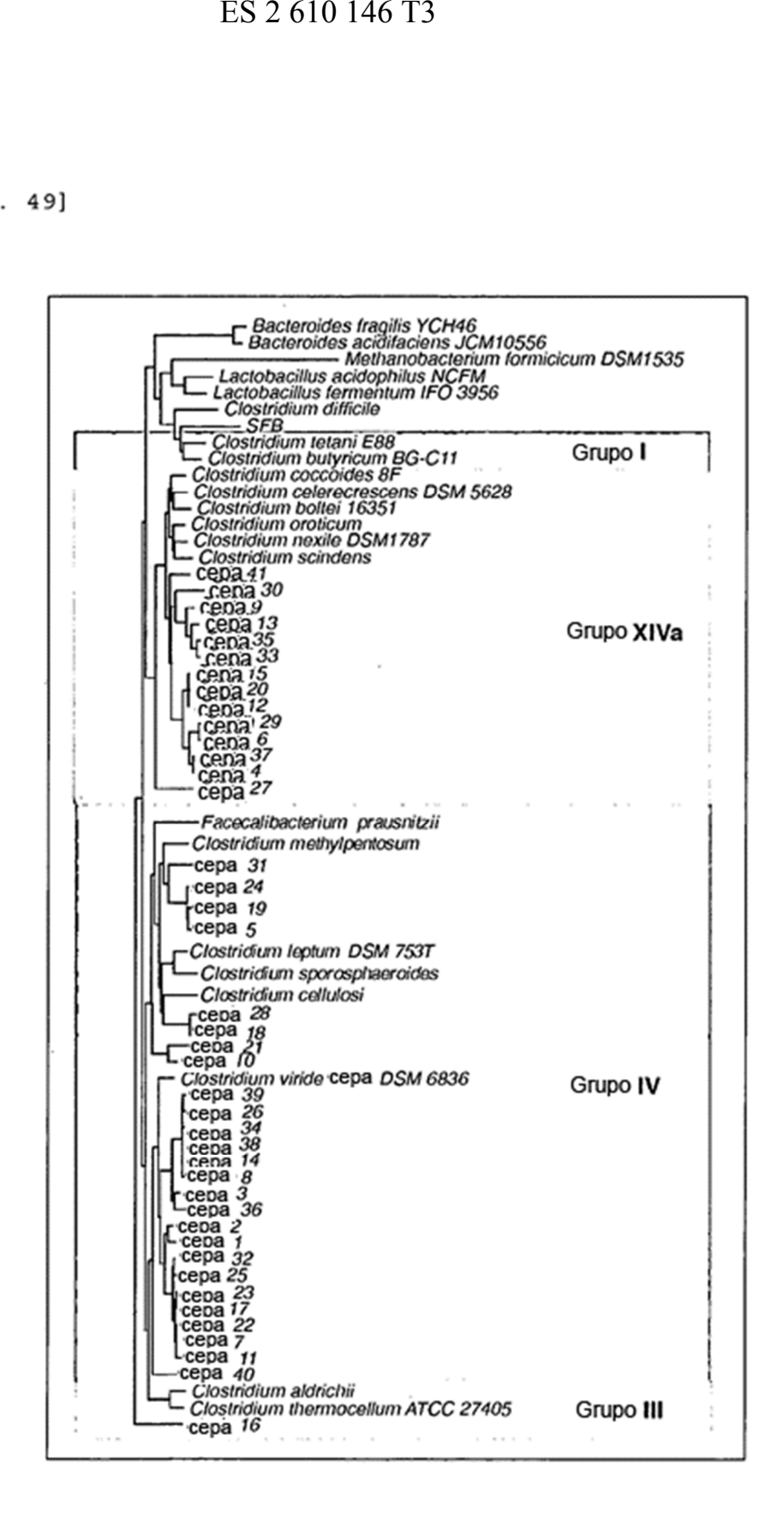
[Fig. 47]



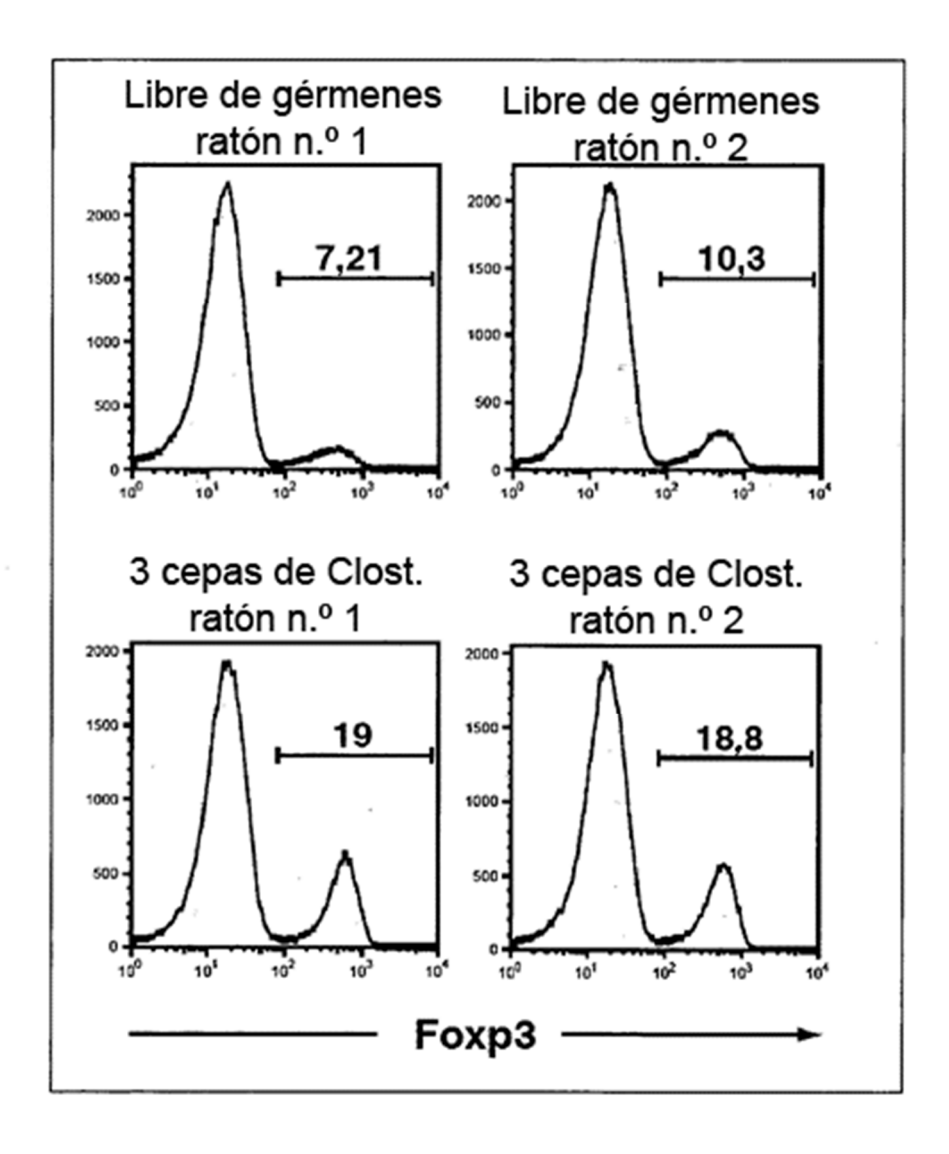
[Fig. 48]



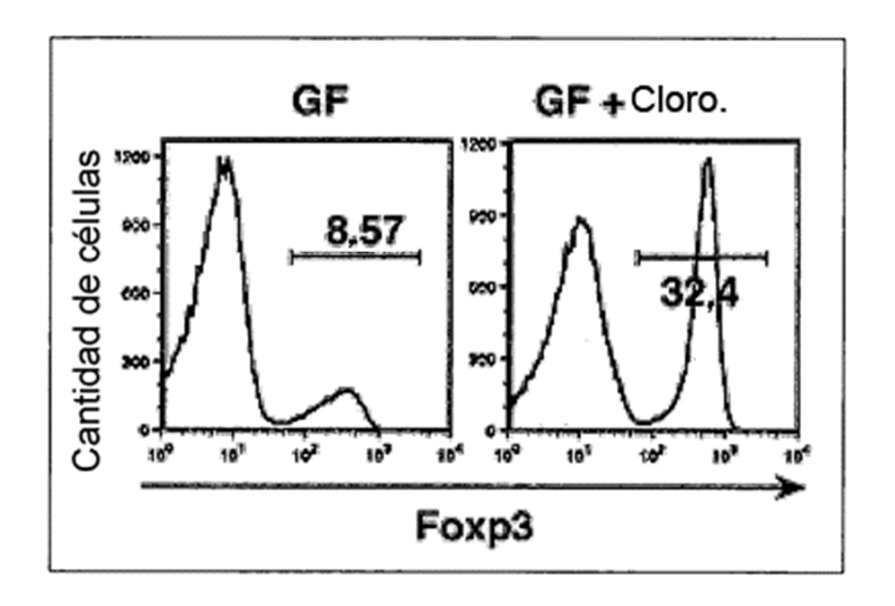
[Fig. 49]



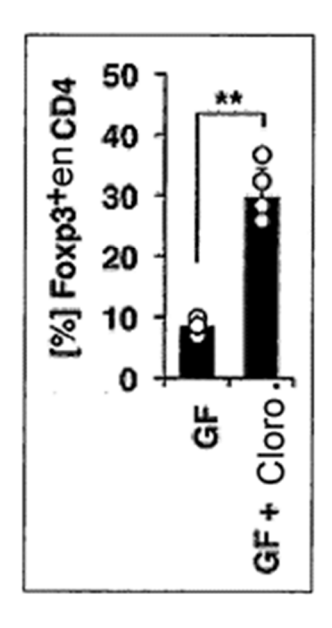
[Fig. 50]



[Fig. 51]



[Fig. 52]



[Fig. 53]

